

การประมวลผลภาพและหุ่นยนต์สำหรับหุ่นยนต์เตะฟุตบอล

Image Processing and Robot for RoboCup Small Size



โดย  
นายสุรัชย์ อุตัยสมย์รัตน์  
นายอริกิต สุภาพ

เลขหมู่.....  
เลขทะเบียน..... 61441  
วัน,เดือน,ปี..... 17 ก.ค. 2549

b..... 115 40155  
i.....

ปริญญานิพนธ์นี้เป็นส่วนหนึ่งของการศึกษาตามหลักสูตรปริญญาวิศวกรรมศาสตรบัณฑิต

ภาควิชาวิศวกรรมสารสนเทศ

คณะวิศวกรรมศาสตร์

สถาบันเทคโนโลยีพระจอมเกล้าเจ้าคุณทหารลาดกระบัง

ปีการศึกษา 2547

เอกสารนี้เป็นเอกสารที่สงวนไว้สำหรับการใช้งานเพื่อการศึกษาเท่านั้น ไม่อนุญาตให้นำไปใช้ประโยชน์ด้านการค้า  
ไม่ว่ากรณีใดๆ ทั้งสิ้น อีกทั้งห้ามมิให้ดัดแปลงเนื้อหา และต้องอ้างอิงถึงเจ้าของเอกสารทุกครั้งที่มีการนำไปใช้

# **Image Processing and Robot for Robocup small size**



By

**MR.SURACHAI UTHAISAMAIRAT**

**MR.ATHIKIT SUPAB**

**A THESIS SUBMITTED IN PARTIAL FULLFILMENT OF**

**THE REQUIREMENT FOR THE DEGREE OF**

**BACHELOR IN DEPARTMENT ENGINEERING**

**KING MONGKUT'S INSTITUTE OF TECHNOLOGY LADKRABANG**

**2004**

เอกสารนี้เป็นเอกสารที่สงวนไว้สำหรับการใช้งานเพื่อการศึกษาเท่านั้น ไม่อนุญาตให้นำไปใช้ประโยชน์ด้านการค้า  
ไม่ว่ากรณีใดๆ ทั้งสิ้น อีกทั้งห้ามมิให้ดัดแปลงเนื้อหา และต้องอ้างอิงถึงเจ้าของเอกสารทุกครั้งที่มีการนำไปใช้

หัวข้อปริญญานิพนธ์      การประมวลผลภาพและหุ่นยนต์เตะฟุตบอล  
ชื่อนักศึกษา      นายสุรัชย์      อุทัยสมัยรัตน์      รหัสนักศึกษา 44010554  
                                 นายอริกิต      สุภาพ      รหัสนักศึกษา 44010577  
อาจารย์ที่ปรึกษา      รศ.ดร.ปิติเขต      ผู้รักษา  
                                 อ.บุญยัชชนะ      ภูระหงษ์  
ระดับการศึกษา      ปริญญาตรีวิศวกรรมศาสตรบัณฑิต  
                                 สาขาวิศวกรรมสารสนเทศ  
ภาควิชา      วิศวกรรมสารสนเทศ  
ปีการศึกษา      2547

ปริญญานิพนธ์ฉบับนี้ได้รับความเห็นชอบจากอาจารย์ที่ปรึกษาเป็นที่เรียบร้อยแล้ว

(รศ.ดร.ปิติเขต ผู้รักษา)

(อ.บุญยัชชนะ ภูระหงษ์)

อาจารย์ผู้ควบคุมปริญญานิพนธ์

ก

เอกสารนี้เป็นเอกสารที่สงวนไว้สำหรับการใช้งานเพื่อการศึกษาเท่านั้น ไม่อนุญาตให้นำไปใช้ประโยชน์ด้านการค้า  
ไม่ว่ากรณีใดๆ ทั้งสิ้น อีกทั้งห้ามมิให้ตัดแปลงเนื้อหา และต้องอ้างอิงถึงเจ้าของเอกสารทุกครั้งที่มีการนำไปใช้

หัวข้อโครงการ	การประมวลผลภาพและหุ่นยนต์สำหรับหุ่นยนต์เตะฟุตบอล
จัดทำโดย	นายสุรัชย์ อุทัยสมัยรัตน์ นายอชกิต สุภาพ
อาจารย์ที่ปรึกษา	รศ.ดร.ปิติเจต สุรักษา อ.บุญยัชชนะ ภูระหงษ์
ระดับการศึกษา	วิศวกรรมศาสตรบัณฑิต
ภาควิชา	วิศวกรรมสารสนเทศ
ปีการศึกษา	2547

### บทคัดย่อ

ในปัจจุบันการจัดการแข่งขันหุ่นยนต์ต่างๆ นั้นเริ่มเป็นที่จับตามองของผู้คนเพิ่มมากขึ้น ซึ่งการแข่งขันหุ่นยนต์เตะฟุตบอล(RoboCup) ก็เป็นอีกการแข่งขันหนึ่งที่ได้รับคามนิยมทั้งในและนอกประเทศ และโครงการนี้ก็ได้รับแรงบันดาลใจจากการแข่งขันนี้เช่นกันซึ่งการทำหุ่นยนต์เตะฟุตบอลนี้ ต้องมีกระบวนการต่างๆ ทางวิศวกรรมมากมาย ที่ต้องนำมาใช้ร่วมกัน ไม่ว่าจะเป็นกระบวนการประมวลผลภาพ(Image Processing) หลักการด้านการต่อวงจรไฟฟ้า

สำหรับโครงการนี้จะทำเกี่ยวกับการประมวลผล และการออกแบบหุ่นยนต์ โดยที่การประมวลผลภาพ จำนำไปใช้ในการตัดสินใจในโปรแกรมปัญญาประดิษฐ์อีกทีหนึ่ง และปัญญาประดิษฐ์จะทำการสั่งงานอีกครั้งหนึ่ง

**Thesis Title** Image Processing and Robot for Robocup small size  
**Student** Mr.SURACHAI UTHAISAMAI RAT ID.44010554  
Mr.ATHIKIT SUPAB ID.44010577  
**Advisor** Assoc.Prof.Dr.PITIKHATE SOORAKSA  
Mr.BOONCHANA PHURAHONG  
**Graduate level** Bachelor Degree of Information Engineering  
**Department** Information Engineering  
**Academic** 2004

### Abstract

At present, many people keep an eye on robot contest and the Soccer Robot is the favourite robot contest in Thailand and foreign country. This project has an idea from this contest too. The way for making Soccer Robot must have join several engineering process i.e. Image processing, circuit

This project using Artificial Intelligence and designing robot. We use Image processing in order that decide AI problem and use AI in order that command robot activities

## กิตติกรรมประกาศ

ปริญญาบัตรฉบับนี้คงไม่อาจสำเร็จไปได้ หากไม่ได้รับความช่วยเหลือและความร่วมมือจากหลายๆฝ่ายด้วยกัน เริ่มจากอาจารย์ที่ปรึกษาปริญญาบัตรซึ่งได้แก่ รศ.ดร.ปิติเขต สุรักษา และอาจารย์บุญยชนะ ภูระหงษ์ ที่คอยให้ความช่วยเหลือในด้านต่างๆอย่างค้ำคูณมาโดยตลอด ระยะเวลาที่ทำปริญญาบัตรนี้ จนกระทั่งโครงการนี้ผ่านไปได้ด้วยดี

ขอขอบคุณ พี่ๆในห้อง INFO-DYNAMICS Laboratory ที่ให้คำแนะนำต่างๆและให้ความช่วยเหลือเป็นอย่างดี และขอขอบคุณคณาจารย์และเพื่อนๆในภาควิชาวิศวกรรมสารสนเทศทุกคนที่ให้คำติชม และคอยช่วยเหลือเสมอมา

สุดท้ายนี้คณะผู้จัดทำต้องขอกราบขอบพระคุณ บิดา มารดา บุคคลที่มีความสำคัญที่สุดในชีวิตที่ทำให้มีทุกวันนี้ คอยให้กำลังใจ ช่วยเหลือ และสนับสนุนในทุกๆด้าน จึงขอขอบพระคุณมา ณ ที่นี้ด้วย

คณะผู้จัดทำ

# สารบัญ

เรื่อง	หน้า
สารบัญ	จ
สารบัญรูปภาพ	
สารบัญตาราง	
บทที่ 1 บทนำ	1
1.1 แนวคิดและที่มาของปัญหา	1
1.2 วัตถุประสงค์ของโครงการ	1
1.3 ขอบเขตของโครงการ	1
บทที่ 2 ทฤษฎีและหลักการที่ใช้ในโครงการ	2
2.1 Image Processing	2
2.2.1 RGB Color model	2
2.1.2 HSI color model	6
2.2 ทฤษฎีไมโครคอนโทรลเลอร์ MCS-51	14
2.2.1 แนะนำไมโครคอนโทรลเลอร์	14
2.2.2 คุณสมบัติของ MCS-51	15
2.2.3 ลักษณะการจัดขาภายนอกของ MCS-51	15
2.2.4 ขาที่สำคัญของไมโครคอนโทรลเลอร์ MCS-51	16
2.2.5 Machine Cycle	19
2.2.6 พอร์ตอนุกรมของไมโครคอนโทรลเลอร์ MCS-51	20
2.2.7 การสื่อสารข้อมูลแบบอะซิงโครนัส	20
2.2.8 รีจิสเตอร์ที่เกี่ยวข้องกับการทำงานของ พอร์ตอนุกรมใน MCS-51	22
2.2.9 โหมดการทำงานของพอร์ตอนุกรมใน MCS-51	23
2.2.10 การทำงานในโหมด 0 ของวงจรพอร์ตอนุกรม	24
2.2.11 การทำงานในโหมด 1 ของวงจรอนุกรม	25

เอกสารนี้เป็นเอกสารที่สงวนไว้สำหรับการใช้งานเพื่อการศึกษาเท่านั้น ไม่อนุญาตให้นำไปใช้ประโยชน์ด้านการค้า  
ไม่ว่ากรณีใดๆ ทั้งสิ้น อีกทั้งห้ามมิให้ดัดแปลงเนื้อหา และต้องอ้างอิงถึงเจ้าของเอกสารทุกครั้งที่มีการนำไปใช้

## สารบัญ (ต่อ)

เรื่อง	หน้า
2.2.12 การทำงานในโหมด 2 และ 3 ของวงจรพอร์ตอนุกรม	27
2.2.13 อัตราบอดของพอร์ตอนุกรมใน microcontroller MCS-51	27
2.2.14 โหมด 2	29
2.2.15 การกำหนดค่าของ Timer เพื่อเลือกอัตราบอด	29
2.2.16 การเขียนหรือส่งข้อมูลออกจากพอร์ตอนุกรม	32
2.2.17 การเชื่อมต่อกับพอร์ตอนุกรมของคอมพิวเตอร์	32
บทที่ 3 การออกแบบโครงการ	35
3.1 หุ่นยนต์	35
3.1.1 หลักการเคลื่อนที่ของหุ่นยนต์	37
3.1.2 ลักษณะของหุ่นยนต์	38
3.1.3 Protocol	40
บทที่ 4 การทดลอง	44
4.1 Image Processing	44
4.2 การทดลองในส่วนของหุ่นยนต์	56
บทที่ 5 สรุปผลการทดลอง	60
5.1 สรุปผลการทดลอง	60
5.2 ปัญหาที่พบในการดำเนินการทดลอง	60
5.3 แนวทางในการพัฒนาโครงการ	61

## สารบัญรูปภาพ

เรื่อง	หน้า
รูปที่ 2.1 แสดงลูกบาศก์ของสีใน RGB color Model	2
รูปที่ 2.2 แสดงลูกบาศก์ของสีใน RGB color Model	3
รูปที่ 2.3 แสดง 3 hidden surface planes ของลูกบาศก์	4
รูปที่ 2.4 แสดง 216 safe color โดยได้จากค่าของ RGB	4
รูปที่ 2.5 แสดงลูกบาศก์ของ RGB safe color	5
รูปที่ 2.6 ทฤษฎีสีของ HSI Color Model	7
รูปที่ 2.7 แสดงผลภาพแบบรวมกันแสดงถึงความสัมพันธ์ ระหว่างความคลุมเครือและข้อมูลที่ได้รับ	10
รูปที่ 2.8 ผังสี CM ดังภาพที่ 3b แสดงสีที่อยู่ระหว่างระดับชั้นเดียวกัน เช่นบริเวณรอบเส้นรอบรูป	12
รูปที่ 2.9 กลุ่มขาพอร์ตแบบขนาน I/O	16
รูปที่ 2.10 คุณสมบัติต่างๆของ Microcontroller	17
รูปที่ 2.11 แสดงหน้าที่พิเศษของแต่ละขาของพอร์ต 3 ของไมโครคอนโทรลเลอร์	18
รูปที่ 2.12 รูปแบบข้อมูลอนุกรมแบบอซิงโครนัส	21
รูปที่ 2.13 Register ขนาด 8 บิต	22
รูปที่ 2.14 ไคอะแกรมการทำงานในโหมด 0 ของพอร์ตอนุกรม	26
รูปที่ 2.15 ไคอะแกรมการทำงานในโหมด 1	28
รูปที่ 2.16 ไคอะแกรมการทำงานในโหมด 2	29
รูปที่ 2.17 ไคอะแกรมการทำงานในโหมด 3	30
รูปที่ 2.18 รายละเอียดเบื้องต้น ของ ไอซีแปลงแปลงสัญญาณเพื่อเชื่อม กับพอร์ตอนุกรมของคอมพิวเตอร์	33
รูปที่ 2.19 วงจรเชื่อมต่อ MAX232 เข้ากับพอร์ตอนุกรมของคอมพิวเตอร์ และ MCS-51	33
รูปที่ 3.1 รูป สัญญาณ sampling ทั้งหมดถูกแบ่งออก 16 pulse เท่าๆกัน	35
รูปที่ 3.2 รูป การขับเคลื่อนโดยใช้ pulse 1 pulse ในการขับเคลื่อน โดยให้เป็นเกียร์ 1 36	

เอกสารนี้เป็นเอกสารที่สงวนไว้สำหรับการใช้งานเพื่อการศึกษาเท่านั้น ไม่อนุญาตให้นำไปใช้ประโยชน์ด้านการค้า  
ไม่ว่ากรณีใดๆ ทั้งสิ้น อีกทั้งห้ามมิให้ดัดแปลงเนื้อหา และต้องอ้างอิงถึงเจ้าของเอกสารทุกครั้งที่มีการนำไปใช้

## สารบัญรูปภาพ (ต่อ)

เรื่อง	หน้า
รูปที่ 3.3 รูปการใช้ pulse 5 pulse ให้เป็นเกียร์ 5	36
รูปที่ 3.4 รูปการหมุนของมอเตอร์ ในทิศทางของหุ่นยนต์ทิศต่างๆ	37
รูปที่ 3.5 ลักษณะวงจรของหุ่นยนต์	38
รูปที่ 3.6 แสดงส่วนประกอบทั้งหมดของหุ่น	39
รูปที่ 3.7 แสดงส่วนประกอบของวงจรที่ใช้	39
รูปที่ 3.8 แสดงส่วนของล้อแบบ omni-direction และตำแหน่งการวาง motor	40
รูปที่ 3.9 แสดง protocol ที่ใช้ในการติดต่อหุ่นยนต์	40
รูปที่ 3.10 Flow Chart แสดงอัลกอริทึมในกระบวนการของ robot	42
รูปที่ 3.11 Flow Chart แสดงอัลกอริทึมในกระบวนการ Image Processing	43
รูปที่ 4.1 แสดงส่วนขยาย	44
รูปที่ 4.2 การกำหนดสี	45
รูปที่ 4.3 แสดงการกำหนดค่าสีน้ำเงิน	46
รูปที่ 4.4 แสดงการกำหนดสีเหลือง	46
รูปที่ 4.5 ภาพแสดงการกำหนดค่าสีฟ้า โดยมีค่า Hue = 25 ถึง 119, Saturation = 32 ถึง 90, Intensity = 147 ถึง 265	47
รูปที่ 4.6 ภาพแสดงการกำหนดค่าสีม่วง โดยมีค่า Hue = 277 ถึง 345, Saturation = 29 ถึง 91, Intensity = 81 ถึง 227	48
รูปที่ 4.7 แสดงส่วนที่ใช้ในการคำนวณพิกัดของภาพที่รับมา	49
รูปที่ 4.8 การจัดกลุ่มสี	50
รูปที่ 4.9 การจัดกลุ่มสี	50
รูปที่ 4.10 แสดงหมายเลขของหุ่นยนต์	51
รูปที่ 4.11 แสดงหมายเลขต่างๆของหุ่นยนต์	52
รูปที่ 4.12 ตัวอย่างโปรแกรม	52
รูปที่ 4.13 ตัวอย่างโปรแกรม	53
รูปที่ 4.14 ตัวอย่างโปรแกรม	55
รูปที่ 4.15 ตัวอย่างโปรแกรม	57

เอกสารนี้เป็นเอกสารที่สงวนไว้สำหรับการใช้งานเพื่อการศึกษาเท่านั้น ไม่อนุญาตให้นำไปใช้ประโยชน์ด้านการค้า  
ไม่ว่ากรณีใดๆ ทั้งสิ้น อีกทั้งห้ามมิให้ดัดแปลงเนื้อหา และต้องอ้างอิงถึงเจ้าของเอกสารทุกครั้งที่มีการนำไปใช้

## สารบัญรูปร่าง (ต่อ)

เรื่อง

หน้า

รูปที่ 4.16 ตัวอย่างโปรแกรม

58

รูปที่ 4.17 ตัวอย่างโปรแกรม

59



เอกสารนี้เป็นเอกสารที่สงวนไว้สำหรับการใช้งานเพื่อการศึกษาเท่านั้น ไม่อนุญาตให้นำไปใช้ประโยชน์ด้านการค้า  
ไม่ว่ากรณีใดๆ ทั้งสิ้น อีกทั้งห้ามมิให้ดัดแปลงเนื้อหา และต้องอ้างอิงถึงเจ้าของเอกสารทุกครั้งที่มีการนำไปใช้

## สารบัญตาราง

เรื่อง

หน้า

ตารางที่ 2.17 ตารางการเลือกอัตรายอดของวงจรรอนุกรม

31



เอกสารนี้เป็นเอกสารที่สงวนไว้สำหรับการใช้งานเพื่อการศึกษาเท่านั้น ไม่อนุญาตให้นำไปใช้ประโยชน์ด้านการค้า  
ไม่ว่ากรณีใดๆ ทั้งสิ้น อีกทั้งห้ามมิให้ดัดแปลงเนื้อหา และต้องอ้างอิงถึงเจ้าของเอกสารทุกครั้งที่มีการนำไปใช้

# บทที่ 1

## บทนำ

### 1.1 แนวคิดและที่มา

ปัจจุบัน มนุษย์เราต้องการความสะดวกสบายเพิ่มมากขึ้น ดังนั้นจึงมีหลายๆความคิดที่จะหาสิ่งที่จะมาอำนวยความสะดวกให้แก่คนเรา หนึ่งในนั้นก็คือหุ่นยนต์ ซึ่งเราได้มีการนำหุ่นยนต์มาใช้ประโยชน์ต่างต่างๆมากมาย ทั้งในด้านอุตสาหกรรม และในชีวิตประจำวันของคนเรา โดยหุ่นยนต์เหล่านี้จะทำงานตามโปรแกรมที่มนุษย์ได้เขียนขึ้น ดังนั้น การที่เราต้องการควบคุมให้หุ่นยนต์ทำตามคำสั่งนั้นเราจำเป็นต้องเข้าใจถึงโปรแกรมที่ใช้ในการควบคุมหุ่นยนต์นั้นๆ

หลักการทั่วไปของหุ่นยนต์ การที่หุ่นยนต์จะทำงานได้นั้น หุ่นยนต์จะต้องได้รับข้อมูลหรือคำสั่ง (input) เมื่อหุ่นยนต์ได้รับข้อมูลมาแล้วจะทำการประมวลผลต่อไปตามที่โปรแกรมที่เราได้เขียนขึ้นเพื่อวัตถุประสงค์ต่างๆ ซึ่ง หุ่นยนต์ภายในโรงงานนี้ ก็มีหลักการเดียวกัน คือนำข้อมูลที่ได้นั้นคือ ภาพในมุมมอง 2 มิติ มาทำการประมวลผล เพื่อให้ได้ผลลัพธ์ ตามที่โปรแกรมต้องการ

โดยในโรงงานชิ้นนี้ แบ่งส่วนใหญ่ออกเป็น 2 ส่วนนั่นคือ การประมวลผลภาพ(image processing) และส่วนของหุ่นยนต์ โดยที่ การประมวลผลภาพ คือ เป็นการประยุกต์ใช้งาน การประมวลผลสัญญาณ บนสัญญาณ 2 มิติ เช่น ภาพนิ่ง (ภาพถ่าย) หรือภาพเคลื่อนไหว (วิดีโอ) และยักรวมถึง สัญญาณ 2 มิติ อื่นๆ ที่ไม่ใช่ภาพด้วย โดย กระบวนการนี้จะทำการแปลงข้อมูลที่เป็นรูปภาพให้มาอยู่ในรูปของสัญญาณไฟฟ้า เพื่อที่จะนำสัญญาณไฟนั้นไปใช้ประโยชน์ ตามวัตถุประสงค์ของเราต่อไป

### 1.2 วัตถุประสงค์ของโรงงาน

เพื่อทำการศึกษาหลักการประมวลผลภาพ และ นำความรู้ที่ได้ไปใช้ประโยชน์กับหุ่นยนต์ โดยในโรงงานนี้จะใช้ภาษา C++ และภาษา C ของ ไมโครคอนโทรลเลอร์ (MCS-51)

### 1.3 ขอบเขตของโรงงาน

โรงงานชิ้นนี้ ได้ทำการศึกษาหลักการทำงานของหุ่นยนต์ หลักการประมวลผลภาพ เพื่อนำมาใช้ในการทำงานของตัวหุ่นให้สามารถเคลื่อนไหวได้ตามวัตถุประสงค์ที่เรากำหนด นั่นคือ หุ่นยนต์สามารถเคลื่อนที่เข้าหาลูกบอล และสามารถยิงโดยใช้การประมวลผลจากภาพ ได้อย่างมีประสิทธิภาพ ในบทต่อไปจะกล่าวถึงทฤษฎีที่เกี่ยวข้องกับโรงงานนั้นคือ กระบวนการประมวลผลภาพ

## บทที่ 2

### ทฤษฎีและหลักการที่ใช้ในโครงการ

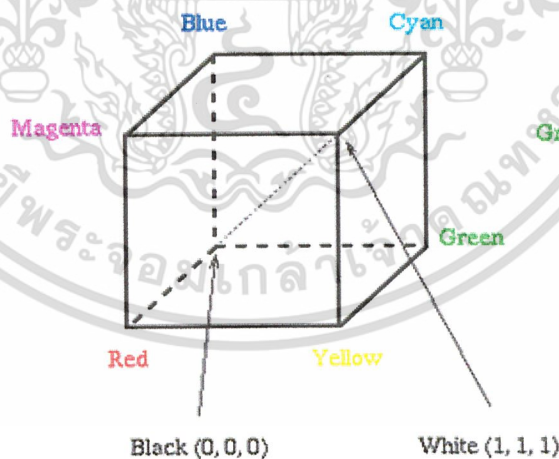
#### 2.1 Image Processing

Image Processing แบ่งทฤษฎีออกได้เป็น 2 ส่วนคือ

- RGB color model
- HSI color model

##### 2.1.1 RGB Color model

ใน RGB model นั้น จะประกอบด้วยแม่สีต่างๆที่แยกออกเป็นหลักๆคือ สีแดง สีเขียว และสีน้ำเงิน Model นี้เป็นพื้นฐานของ Cartesian coordinate system สีที่แยกย่อยออกมาดังที่แสดงในรูปที่ 1 ในรูปจะเห็นมุมของลูกบาศก์ 3 มุม ที่ประกอบด้วยสีน้ำเงินเขียว(cyan),สีม่วงแดง(magenta)และสีเหลือง(yellow) ซึ่งอยู่แต่ละมุมของลูกบาศก์ สี ดำอยู่ที่จุดกำเนิด และสีขาวจะอยู่ตรงข้ามสีดำ และ b scale จะเป็นเส้นที่เชื่อมระหว่างจุดสีดำและสีขาว



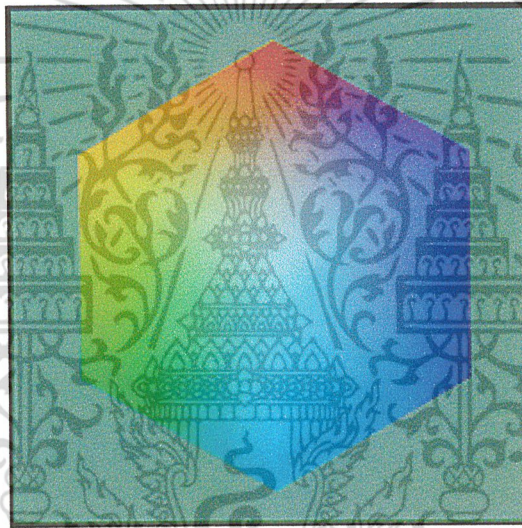
**The RGB Cube**

รูปที่ 2.1 แสดงลูกบาศก์ของสีใน RGB color Model

สมมติว่า ค่าของสีถูก normalize ดังรูปที่ 1 ในลูกบาศก์ มันคือค่าทั้งหมดของ RGB ที่ถูกกำหนดให้อยู่ใน rank  $[0,1]$

ภาพถูกแสดงใน RGB color model ประกอบด้วย ภาพ 3 ส่วน ซึ่งเป็นส่วนของแม่สีแต่ละสี เมื่อนำมาจัดเพื่อแสดงใน RGB monitor ภาพทั้ง 3 จะรวมกัน บนจอที่เคลือบด้วยสารเรืองแสง จะทำให้เกิดรูปที่สมบูรณ์ขึ้นมา จำนวนของ bit ที่ใช้ในการแสดงแต่ละ pixel ใน RGB เรียกว่า pixel depth พิจารณาภาพ RGB แต่ละแม่สี แดง,เขียวและน้ำเงิน ซึ่งมีค่า 8 bit ต่อ 1 สี ดังนั้นภาพ RGB จึงมีความละเอียดเท่ากับ 24 bit ในโหมดของ full color ภาพจะใช้ความละเอียดที่ 24 bit สีทั้งหมดในโหมด 24 bit นี้มีทั้งหมด 16,777,216 สี รูปที่ 2 แสดง ลูกบาศก์ของ 24 bit RGB color ที่ตรงกับรูปที่

1



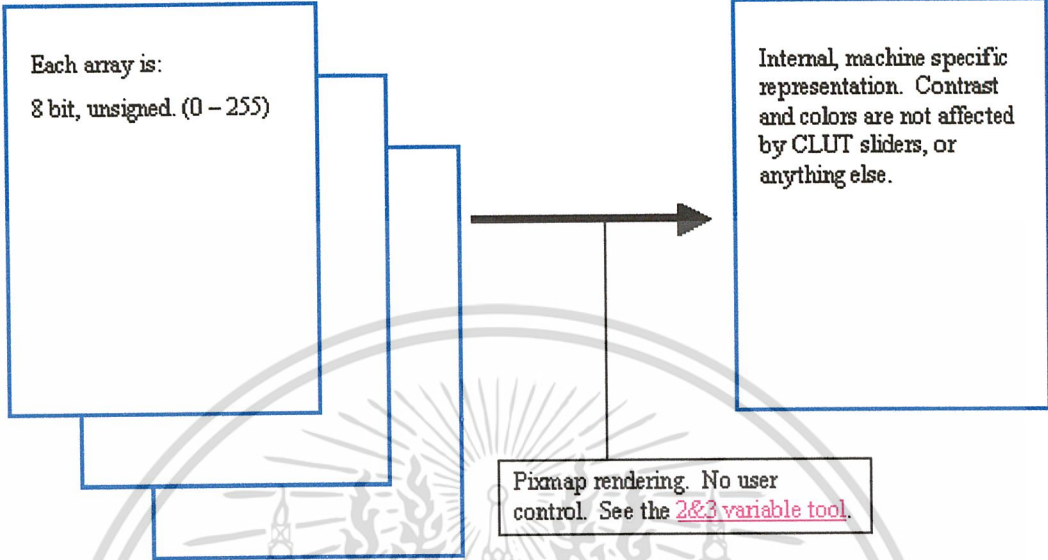
รูปที่ 2.2 แสดงลูกบาศก์ของสีใน RGB color Model

ลูกบาศก์ที่แสดงดังรูป 2.2 เป็นรูปของแข็ง ทางสะดวกที่สุดที่ก่อให้เกิด color plane (พื้นผิวของลูกบาศก์) นี่เป็นทางที่ง่ายและได้ผลคือการกำหนดค่าตายตัวให้กับสีใดสีหนึ่งแล้ว ทำการเปลี่ยนค่าของอีกสองสี ตอนนี้เรากำลังใช้ค่าที่แท้จริงกว่าค่าที่แสดงจากค่าทางคณิตศาสตร์ ซึ่ง normalize ในรูป rank [0,1] เพราะ ค่าแรกถูกใช้ใน computer เพื่อ generate สี รูปที่ 2.3 แสดง รูปของสีแต่ละสี ซึ่งจะเอาแต่ละสีมารวมกันใน color monitor ในส่วนของภาพค่า 0 จะเท่ากับสีดำ และ 255 คือสีขาว (นี่เป็นโหมด gray scale) รูปที่ 2.3 แสดง 3 hidden surface planes ของลูกบาศก์ ในรูปที่ 2.2

มันเป็นที่น่าสนใจในเรื่องการได้มาของภาพ ในรูปที่ 2.3 รูปจะได้อาจมาจากการรวมกันของ 3 filter ที่ sensitive ต่อ สีแดง,เขียว และน้ำเงิน ตามลำดับ

Original red, green and blue component images.

Pixmap



รูปที่ 2.3 แสดง 3 hidden surface planes ของลูกบาศก์

FFFFFF	FFCCFF	FF99FF	FF66FF	FF33FF	FF00FF
FFFFCC	FFCCCC	FF99CC	FF66CC	FF33CC	FF00CC
FFFF99	FFCC99	FF9999	FF6699	FF3399	FF0099
FFFF66	FFCC66	FF9966	FF6666	FF3366	FF0066
FFFF33	FFCC33	FF9933	FF6633	FF3333	FF0033
FFFF00	FFCC00	FF9900	FF6600	FF3300	FF0000
FFCCFF	FFCCFF	FF99FF	FF66FF	FF33FF	FF00FF
FFCCFF	FFCCFF	FF99FF	FF66FF	FF33FF	FF00FF
FF99FF	FF99FF	FF99FF	FF66FF	FF33FF	FF00FF
FF99FF	FF99FF	FF99FF	FF66FF	FF33FF	FF00FF
FF66FF	FF66FF	FF66FF	FF66FF	FF33FF	FF00FF
FF66FF	FF66FF	FF66FF	FF66FF	FF33FF	FF00FF
FF33FF	FF33FF	FF33FF	FF33FF	FF33FF	FF00FF
FF33FF	FF33FF	FF33FF	FF33FF	FF33FF	FF00FF
FF00FF	FF00FF	FF00FF	FF00FF	FF00FF	FF00FF
FF00FF	FF00FF	FF00FF	FF00FF	FF00FF	FF00FF
FFCCFF	FFCCFF	FF99FF	FF66FF	FF33FF	FF00FF
FFCCFF	FFCCFF	FF99FF	FF66FF	FF33FF	FF00FF
FF99FF	FF99FF	FF99FF	FF66FF	FF33FF	FF00FF
FF99FF	FF99FF	FF99FF	FF66FF	FF33FF	FF00FF
FF66FF	FF66FF	FF66FF	FF66FF	FF33FF	FF00FF
FF66FF	FF66FF	FF66FF	FF66FF	FF33FF	FF00FF
FF33FF	FF33FF	FF33FF	FF33FF	FF33FF	FF00FF
FF33FF	FF33FF	FF33FF	FF33FF	FF33FF	FF00FF
FF00FF	FF00FF	FF00FF	FF00FF	FF00FF	FF00FF
FF00FF	FF00FF	FF00FF	FF00FF	FF00FF	FF00FF
FFCCFF	FFCCFF	FF99FF	FF66FF	FF33FF	FF00FF
FFCCFF	FFCCFF	FF99FF	FF66FF	FF33FF	FF00FF
FF99FF	FF99FF	FF99FF	FF66FF	FF33FF	FF00FF
FF99FF	FF99FF	FF99FF	FF66FF	FF33FF	FF00FF
FF66FF	FF66FF	FF66FF	FF66FF	FF33FF	FF00FF
FF66FF	FF66FF	FF66FF	FF66FF	FF33FF	FF00FF
FF33FF	FF33FF	FF33FF	FF33FF	FF33FF	FF00FF
FF33FF	FF33FF	FF33FF	FF33FF	FF33FF	FF00FF
FF00FF	FF00FF	FF00FF	FF00FF	FF00FF	FF00FF
FF00FF	FF00FF	FF00FF	FF00FF	FF00FF	FF00FF
FFCCFF	FFCCFF	FF99FF	FF66FF	FF33FF	FF00FF
FFCCFF	FFCCFF	FF99FF	FF66FF	FF33FF	FF00FF
FF99FF	FF99FF	FF99FF	FF66FF	FF33FF	FF00FF
FF99FF	FF99FF	FF99FF	FF66FF	FF33FF	FF00FF
FF66FF	FF66FF	FF66FF	FF66FF	FF33FF	FF00FF
FF66FF	FF66FF	FF66FF	FF66FF	FF33FF	FF00FF
FF33FF	FF33FF	FF33FF	FF33FF	FF33FF	FF00FF
FF33FF	FF33FF	FF33FF	FF33FF	FF33FF	FF00FF
FF00FF	FF00FF	FF00FF	FF00FF	FF00FF	FF00FF
FF00FF	FF00FF	FF00FF	FF00FF	FF00FF	FF00FF
FFCCFF	FFCCFF	FF99FF	FF66FF	FF33FF	FF00FF
FFCCFF	FFCCFF	FF99FF	FF66FF	FF33FF	FF00FF
FF99FF	FF99FF	FF99FF	FF66FF	FF33FF	FF00FF
FF99FF	FF99FF	FF99FF	FF66FF	FF33FF	FF00FF
FF66FF	FF66FF	FF66FF	FF66FF	FF33FF	FF00FF
FF66FF	FF66FF	FF66FF	FF66FF	FF33FF	FF00FF
FF33FF	FF33FF	FF33FF	FF33FF	FF33FF	FF00FF
FF33FF	FF33FF	FF33FF	FF33FF	FF33FF	FF00FF
FF00FF	FF00FF	FF00FF	FF00FF	FF00FF	FF00FF
FF00FF	FF00FF	FF00FF	FF00FF	FF00FF	FF00FF

รูปที่ 2.4 แสดงค่าสีในเลขฐาน 16

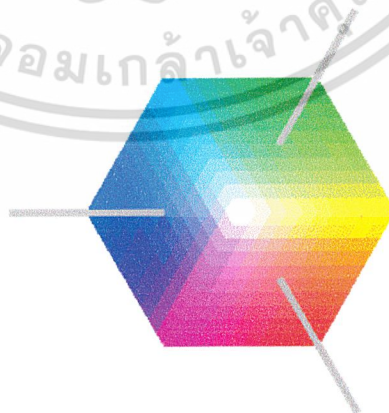
เอกสารนี้เป็นเอกสารที่สงวนไว้สำหรับการใช้งานเพื่อการศึกษาเท่านั้น ไม่อนุญาตให้นำไปใช้ประโยชน์ด้านการค้า  
ไม่ว่ากรณีใดๆ ทั้งสิ้น อีกทั้งห้ามมิให้ดัดแปลงเนื้อหา และต้องอ้างอิงถึงเจ้าของเอกสารทุกครั้งที่มีการนำไปใช้

เมื่อเราใช้ การ์ดจอที่มีคุณภาพดี และ monitor ที่สามารถแสดงภาพ RGB 24 bit ได้อย่างเหมาะสม ระบบหลายๆระบบในปัจจุบันยังแสดงผลในระดับสีเพียง 256 สี แต่ก็ยังมีอีกหลายโปรแกรมที่ต้องใช้สีที่มากกว่าสีเพียงไม่กี่ร้อยสีนั้น และบางครั้งก็น้อยกว่านั้น ตัวอย่างที่ดีของกรณีนี้ คือการแยกสีโดยใช้ Pseudocolor image processing techniques โดยการนำเอาระบบต่างๆ ที่ใช้ตอนนั้นมาพิจารณาถึง subset ของสี ที่คล้ายกันแล้วทำการคัดลอก subset นี้เรียกว่า เซตของ safe RGB color หรือ เซตของ all-system-safe color โปรแกรมใน internet เรียกว่า safe Web color or safe browser color

บนสมมุติฐาน ที่ว่าสี 256 สีนั้นเป็นจำนวนที่น้อยเกินไปที่จะใช้ในการสร้างสีใหม่โดยเครื่องครัด โดยระบบต่างๆ ที่จะใช้สีที่มีค่าใกล้เคียงกัน มันเป็นมาตรฐานที่ใช้อย่างกว้างขวางในการใช้สี สี 40 สีจาก 256 สี จะเป็นที่ยอมรับว่า จะมีกระบวนการที่แตกต่างกันในแต่ละระบบปฏิบัติการ และสีที่เหลืออีก 216 สีจะเป็นสีที่ใช้ในระบบทั่วไปได้

แต่ละสีใน 216 safe color เป็นรูปแบบจาก สีหลัก 3 สีของ RGB แต่ แต่ละค่าจะมีค่าแค่ 0,51,102,153,204 หรือ 255 RGB triplet จะมีค่า  $6^3 = 216$  ค่าที่เป็นไปได้ มันเป็นค่าที่อยู่ในเลขฐาน 16 เรียกใหม่ว่าเป็นเลข hex number 0,1,2,3,4,5,6,7,8,9,A,B,C,...,F ซึ่งเท่ากับ 1,2,3,4,5,6,7,8,9,10,11,...,15 หรือจะใช้ (FF)16 = (255)10 = (11111111)2 และเราจะเห็นว่ากลุ่มของเลขฐาน 16 จะอยู่ในรูป เลข 8 bit

รูปที่ 2.4 แสดง 216 safe color โดยได้จากค่าของ RGB สีที่เหลี่ยมบนซ้าย มีค่า FFFFFFFF (white) อันที่สอง ด้านขวา มีค่าเท่ากับ FFFFCC และอันที่สามมีค่า FFFF99 และสีเหลี่ยมด้านล่างมีค่า FFCCFF,FFCCCC,FFCC99 ตามลำดับ



รูปที่ 2.5

รูปที่ 2.5 แสดงลูกบาศก์ของ RGB safe color ซึ่งไม่เหมือนกับ ลูกบาศก์ของ full color ในรูปที่ 2 ซึ่งเป็นของแข็ง ลูกบาศก์ในรูปที่ 5 เป็นสีที่มีใน surface plane ดังที่แสดงใน รูป 5 แต่ละ plane มีทั้งหมด 36 สี แต่ในลูกบาศก์นี้จะมีทั้งหมด 216 สี ที่แตกต่างกัน

## 2.1.2 HSI color model

### 2.1.2.1 ระบบสี HSI

สิ่งที่จำเป็นสำหรับการแสดงผลความคลุมเคลืออย่างแรกคือการเลือกระบบการแสดงผลสีเชิงจิตวิทยา เช่นการให้ระบุว่าสีใดมีความขาวที่สุด หรือจางที่สุด ซึ่งได้รับการยืนยันจากตัวอย่างของ เจียง (1996) ที่ได้ทดสอบการรับสัมผัสทางสี โปรแกรมทาง GIS ได้ใช้สีที่มีค่า Saturation และ Intensity ที่คงที่ เรียกว่าสีสมมติ (pseudo-colour) เพื่อการแสดงผลการพยากรณ์ที่ถูกค้อง ในระบบ IL WIS นั่นคือ ระบบสีแบบ HSI เป็นระบบสีที่ส่วนใหญ่เลือกใช้ในการแสดงผลความคลุมเคลือ นอกจากนี้ระบบสีนี้มีส่วนสามารถนำมาเข้ามาแปลงกับระบบสี RGB ได้ ซึ่งนำมาใช้คำนวณรงควัตถุและสีประสมได้

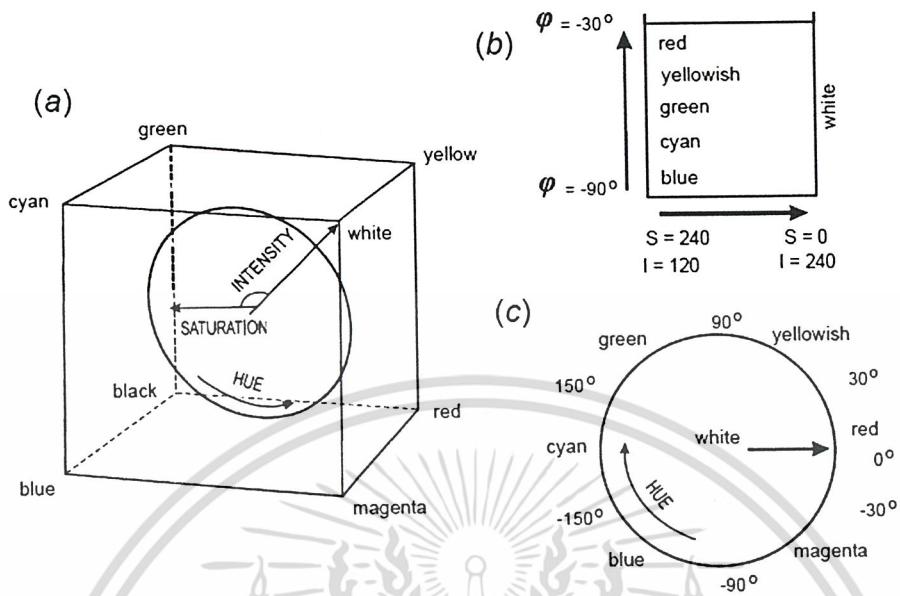
สูตรการแปลงระบบสี HSI และ RGB นั้นแตกต่างกันขึ้นอยู่กับผู้ผลิตซอฟต์แวร์แต่ละราย วิธีของ IL WIS นั้นมีรากฐานมาจากการออกแบบทางเรขาคณิตของลูกบาศก์สีระบบ RGB ดังภาพที่ 1ก

$$H = \frac{360}{2\pi} \cdot \arctan\left(\frac{\sqrt{3}}{2} \cdot [G - B], R - \frac{[G + B]}{2}\right) \cdot \frac{240}{360} \quad (1)$$

$$S = \sqrt{R^2 + G^2 + B^2 - R \cdot G - R \cdot B - G \cdot B} \cdot \frac{240}{255} \quad (2)$$

$$I = \frac{R + G + B}{3} \cdot \frac{240}{255} \quad (3)$$

การรับค่าแดง (R) เขียว (G) และน้ำเงิน (B) นั้นไล่ระดับจาก 0 ถึง 255 ในขณะที่ H S I นั้นไล่ระดับจาก 0 ถึง 240 เพื่อให้สอดคล้องกับฟังก์ชันที่ใช้ในระบบปฏิบัติการ ไมโครซอฟท์วินโดวส์



รูปที่ 2.6 ทฤษฎีสีของ HSI Color Model

### 2.1.2.2 การออกแบบตัวแสดง

สิ่งที่สำคัญในการแสดงผลความคลุมเครือต่อมาคือการออกแบบตัวแสดงที่เหมาะสมและสอดคล้องกับระบบสี CM ในครั้งนี้ได้มีการออกแบบตัวแสดงที่อยู่สองประเภท ได้แก่

1. ตัวแสดงแบบสองมิติ (Two-dimensional legend) ตัวแสดงนี้ใช้กับตัวแปรต่อเนื่อง ในที่นี้แกนตั้งแสดงค่าที่ทำนายและแกนนอน (ความขาว) ใช้แสดงการพยากรณ์ความคาดเคลื่อน ในแกนตั้ง ได้ระดับสี (hue) ระดับต่ำสุดที่สีน้ำเงิน (-90°) ไปจนถึงระดับสูงสุดที่สีแดง (-30°) ซึ่งสอดคล้องกับสเกลสีสมมติที่ใช้กันแพร่หลายในชุด GIS สำหรับการแสดงผลค่าตัวแปรต่อเนื่อง (Unit Geo Software Development, 2001) ในแกนนอน การเปลี่ยน saturation-intensity เป็นเชิงเส้น จากความขาวต่ำสุด ไปยังความขาวสูงสุด ดังภาพที่ 1b ในกรณีนี้สีเต็มหมายถึงความคลุมเครือต่ำสุด และความขาวสูงสุดหมายถึงความคลุมเครือสูงสุด เพื่อไม่ให้เกิดความสับสนระหว่างค่าสูงและต่ำจึงได้ส่วนของวงกลมสีที่แสดงสีบานเย็น (magenta -30° ถึง -90°) ออกไป

2. วงล้อสี (Colourwheel) ตัวแสดงนี้ใช้เพื่อให้สอดคล้องกับผลของการจำแนกความต่อเนื่อง โดยใช้ตัวแสดงแบบวงกลม (HSI Colourwheel) (Niblack 1986, pp. 61) เส้นรอบวงของสี (hue) แสดงถึงพื้นที่จำแนก ระยะทางของรัศมีแสดงค่าความสับสน ดังภาพที่ 1c ในกรณีนี้ระดับที่ใกล้เคียงกับวงล้อสีนั้นคล้ายคลึงกับการจำแนก ส่วนที่จุดศูนย์กลางของวงกลมจะเริ่มขาวขึ้น นั่นคือสี (hue) เริ่มไม่เด่นชัด แสดงถึงสถานะที่มีความคลุมเครือขององค์ประกอบสีทั้งหมด (Hengl et al., in press-a)

ตัวแสดงที่ได้ออกแบบดังกล่าวนี้ สามารถนำไปใช้ในการแบ่งช่วงต่างๆและการแบ่งระดับที่ต่างๆกันได้

### 2.1.2.3 ตัวแปรต่อเนื่อง

ในกรณีของตัวแปรต่อเนื่อง เราสนใจการแสดงผลทั้งการทำนายผลและความคลาดเคลื่อนของการทำนายพร้อมๆกัน ความคลุมเครือแสดงด้วยค่าความเบี่ยงเบนมาตรฐานจากความคลาดเคลื่อนของการทำนาย (prediction error) ซึ่งนำไปจับเทียบกับสิ่งที่กำลังศึกษาอยู่ การหาผลเฉลี่ยทั่วไปนั้นกระทำโดยแบ่งการพยากรณ์ของตัวแปรที่แปลงค่าโดย total variance ของตัวอย่างที่สำรวจ ซึ่งเป็นการความคลาดเคลื่อนจากการทำนายที่ normalize หรือ มีความสัมพันธ์กัน โดยแสดงผลเป็นค่าร้อยละ (Hengl et al., in press-b)

$$\sigma_{E,r}(s_o) = \frac{\sigma_E(s_o)}{s_z} \quad (4)$$

โดยที่  $\sigma_E(s_o)$  เป็นค่าความคลาดเคลื่อนจากการทำนาย และ  $s$  เป็นค่าเบี่ยงเบนมาตรฐานของการสำรวจตัวอย่าง การทำนายได้ค่าพึงพอใจเมื่อแบบจำลองแสดงให้เห็น total variation มากกว่าร้อยละ 85 จาก rule of thumb เราสามารถพิจารณาค่า  $\sigma_{E,r}(s_o)$  ให้เข้าใกล้ร้อยละ 40 ซึ่งเป็นค่าที่ถูกต้องพึงพอใจในการทำนาย ในกรณีอื่นๆ ถ้ามีค่าเกินร้อยละ 80 แบบจำลองจะมีความหลากหลายน้อยกว่าร้อยละ 50 ที่จุดบ่งชี้ ซึ่งการทำนายจะไม่ใช่ที่พึงพอใจ

ผังการทำนายและความคลาดเคลื่อนจากการทำนายสามารถแสดงผลได้พร้อมๆกัน โดยแสดงค่าการทำนายด้วยสี (hue) และความคลุมเครือด้วยความขาว (whiteness) ในขั้นแรกการทำนายถูกแปลงเป็นสีดังสมการ

$$\varphi_1 = -90 + z_r \cdot 300 \quad (5)$$

$$\varphi_2 = \begin{cases} \varphi_1 + 360 & \text{if } \varphi_1 \leq -360 \\ \varphi_1 & \text{if } \varphi_1 > -360 \end{cases} \quad (6)$$

เมื่อ  $f_1$  เป็นมุมสีหน่วยเป็นองศาตามเข็มนาฬิกา  $f_2$  เป็นค่าที่แปลงไปยังช่วง -360 ถึง 360 และ  $z_r$  เป็นค่าทำนาย ( $z_r \in [0,1]$ ) ภาพในระบบ HSI แปลงได้จากสมการ

$$H = (\varphi_2 + 360) \cdot \frac{240}{360} \quad (7)$$

$$S = (1 - u_r) \cdot 240 \quad (8)$$

$$I = (1 + u_r) \cdot 120 \quad (9)$$

โดย  $u_r$  เป็นค่าการทำนายความคลุมเครือ ( $u_r \in [0,1]$ ) ซึ่งค่าสำหรับการทำนายและความคลาดเคลื่อนจากการทำนายต้องแผ่กระจายก่อนคำนวณโดยสมการ

$$z_r = \frac{\hat{z} - z_1}{z_2 - z_1}; \quad u_r = \frac{\sigma_{E,r} - u_1}{u_2 - u_1} \quad (10)$$

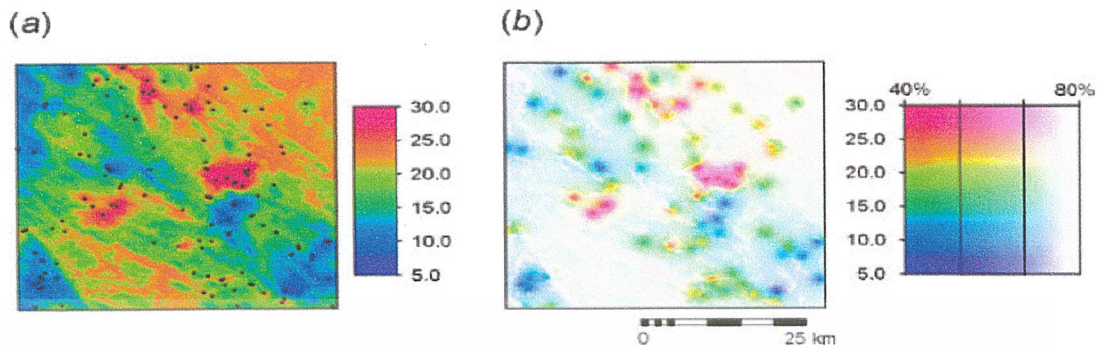
โดย  $z$  เป็นฟังก์การทำนาย  $\sigma_{E,r}$  เป็นฟังก์ความคลาดเคลื่อนการทำนายสัมพันธ์ ทำให้เป็นมาตรฐานเดียวกันโดยใช้สมการที่ 4 ค่า  $z_1$  และ  $z_2$ ,  $u_1$  และ  $u_2$  เป็นขอบเขตบนและขอบเขตล่างของการ

ตรวจสอบค่าทำนายและความคลาดเคลื่อนการทำนายสัมพันธ์ จากค่าตัวแปรที่ทำนายขอบเขตนั้นจำกัดอยู่ที่ค่าต่ำสุดและค่าสูงสุด สำหรับความคลุมเครือ ค่าแบ่งช่วงที่นำมาใช้อยู่ที่ร้อยละ 40 ถึง 80

จากภาพระบบ HSI สามารถแปลงเป็นภาพระบบ RGB โดยใช้คำสั่งใน IL WIS

$$z_{RGB} = colorhsi[H, S, I] \quad (11)$$

จากสมการที่ 5 ถึง 7 ค่าที่ต่ำกว่าอันได้แก่ค่า H ตั้งแต่  $-90^\circ$  ถึง  $-150^\circ$  นั้นแปลงเป็นสีโทนน้ำเงิน ส่วนค่าที่สูงสุดอันได้แก่ค่า H ตั้งแต่  $-330^\circ$  ถึง  $-30^\circ$  นั้นแปลงเป็นสีโทนแดง ค่ากลางนั้นแปลงเป็นสีโทนน้ำทะเล เขียว และเหลือง



รูปที่ 2.7 แสดงผลภาพแบบรวมกันแสดงถึงความสัมพันธ์ระหว่างความคลุมเครือและข้อมูลที่ได้รับ

การแสดงผลภาพแบบรวมกันแสดงถึงความสัมพันธ์ระหว่างความคลุมเครือและข้อมูลที่ได้รับมาทั้งหมดเพื่อใช้ในการแบ่งช่วง ในตัวอย่างดังภาพที่ 2b การเปรียบเทียบอัตราส่วนของภาพความหนาแน่นคิวตินนั้นทำให้เป็นค่าเชิงปริมาณด้วยความขาว ค่าความสว่างที่ปรับปรุงให้ถูกต้องได้แก่ 1. มีค่าเท่ากับค่า RGB ต้นแบบสำหรับความคลุมเครือสัมพันธ์ที่น้อยกว่าหรือเท่ากับร้อยละ 40 และ 2. สีขาวบริสุทธิ์สำหรับความคลุมเครือสัมพันธ์ที่มีค่ามากกว่าหรือเท่ากับร้อยละ 80 การแสดงผลส่วนใหญ่ที่ห่างจากจุดภาพหลักจะเป็นซีซีดจางลง ซึ่งพื้นที่เหล่านี้อาจจะต้องการข้อมูลเพิ่มเติมเพื่อให้เหมาะแก่การพยากรณ์ ซึ่งสามารถเปิดดูข้อมูลเพิ่มเติมได้ที่ <http://www.itc.nl/personal/heng/GRK/>

#### 2.1.2.4 แผนที่แบบแบ่งจำแนก (Categorical maps)

แผนที่แบบแบ่งจำแนกนั้นมีพื้นฐานมาจากการสังสมข้อมูลประกอบการคำนวณและจำแนกข้อมูลบนแผนที่ เช่นแผนที่ของพื้นที่ปกคลุมสามารถหาได้โดยการสังสมข้อมูลประกอบการคำนวณและจำแนกภาพถ่ายทางดาวเทียมแบบหลายสเปกตรัม ซึ่งปัจจุบันนี้ มีการใช้ระบบการจำแนกแบบต่อเนื่องและสร้างการพยากรณ์เชิงปริมาณกันมาก แผนที่ที่มีค่าสมาชิกมักได้มาจากการใช้การจำแนกแบบ fuzzy k-means (Burrough et al., 1977) ค่าสมาชิกนั้นคำนวณจากระยะทางมาตรฐานในสมบัติของพื้นที่

$$\mu_c(i) = \frac{[d_c^2(i)]^{\frac{1}{(q-1)}}}{\sum_{c=1}^k [d_c^2(i)]^{\frac{1}{(q-1)}}}; \quad c = 1, 2, K \quad k; \quad i = 1, 2, K \quad n \quad (12)$$

$$\mu_i(c) \in [0,1] \quad (13)$$

โดย  $\mu_c(i)$  เป็นค่าสมาชิกของฟัซซี่ ตั้งแต่วัตถุลำดับที่  $i$  ในคลัสเตอร์ลำดับที่  $c$ ,  $d$  เป็นระยะทาง,  $k$  เป็นจำนวนของคลัสเตอร์ และ  $q$  เป็น fuzzy exponent ที่ใช้พิจารณาจำนวนความฟัซซี่ ในกรณีนี้ มีเป้าหมายเพื่อแสดงผลสมาชิกหลายตัวและความสัมพันธ์ระหว่างกัน ซึ่งกระทำได้โดยการผสมสีลงไปในแต่ละจุดภาพ (i) เช่นเดียวกันกับการ average ระดับเทาของระบบสี RGB การได้ผังสี  $R_i, G_i, B_i$  ใหม่ ณ จุด  $i$  แต่ละจุดนั้นทำการคำนวณแยกเป็นอิสระต่อกันในแต่ละแบนด์ของภาพ

$$R_i = \frac{\sum_{c=1}^k (\mu_{i,c} \cdot R_c)}{\sum_{i=1}^n \mu_{i,c}} \quad (14)$$

$$G_i = \frac{\sum_{c=1}^k (\mu_{i,c} \cdot G_c)}{\sum_{i=1}^n \mu_{i,c}} \quad (15)$$

$$B_i = \frac{\sum_{c=1}^k (\mu_{i,c} \cdot B_c)}{\sum_{i=1}^n \mu_{i,c}} \quad (16)$$

โดยค่า  $R_i, G_i, B_i$  เป็นค่าสีที่ได้ใหม่ ค่า  $R_c, G_c, B_c$  ค่าอยู่ในช่วง 0 ถึง 255 สำหรับแต่ละระดับสี และค่า  $k$  เป็นจำนวนของระดับ ระบบสี RGB นั้นสามารถแสดงผลเช่นเดียวกับการรวมสี

ก่อนที่จะทำการคำนวณสีประสม จำเป็นที่จะต้องเลือกประเภทสีที่จะแสดงถึงการจำแนกของแต่ละระดับ ปัญหาคือคุณสมบัติเป็นจำนวนมาก ดังนั้นการวางตำแหน่งของระดับกึ่งกลางที่วงล้อสีนั้นจึงเป็นสิ่งที่ลำบาก วิธีการหาค่าวิธีหนึ่งคือการใช้การถ่วงค่าแรกและค่าที่สองของการวิเคราะห์ส่วนประกอบหลักเช่นเดียวกับแกนของพื้นที่ที่ลดทอนสมบัติลง ไป เรียกว่า biplot display (Gabriel, 1971) ค่าสี H ของแต่ละระดับขั้นนั้นเป็นค่าระยะมุมรอบจุดศูนย์กลาง วง ในกรณีของค่าถ่วงคือจุดศูนย์กลางของพิกัด

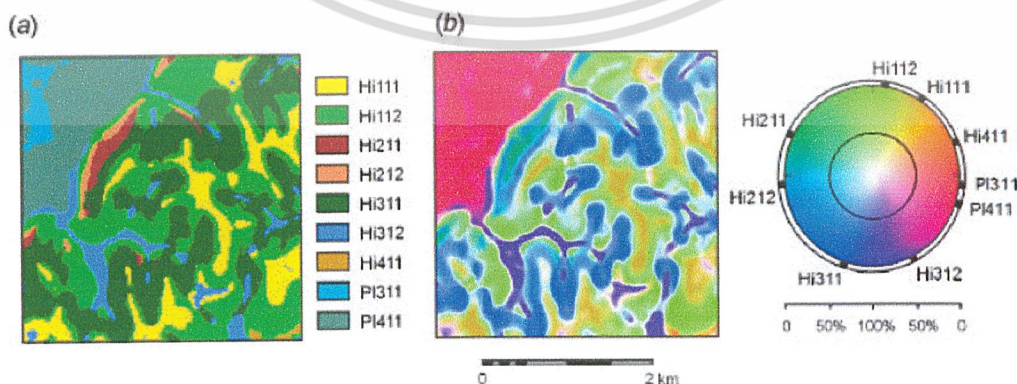
$$H_c = \frac{360}{2\pi} \cdot \arctan(F_{1c}, F_{2c}) \cdot \frac{240}{360} \quad (17)$$

โดย  $H_c$  เป็นค่า  $H$  ระดับใหม่ที่ได้อมา และ  $F_{1c}$  และ  $F_{2c}$  เป็นปัจจัยถ่วงในระดับชั้นที่  $c$  ในการแสดงระดับชั้นสีในระบบสารสนเทศทางภูมิศาสตร์ ค่า  $H_c, S_c, I_c$  (ที่  $S_c=240$  และ  $I_c=120$ ) ต้องแปลงค่าเป็นระบบสี RGB ก่อนจากนั้นจึงจะสามารถคำนวณค่าการประสมสี (CM) ด้วยสมการที่ 14 ถึงสมการที่ 16 ความสัมพันธ์ระหว่างระดับชั้นนั้นแก้ไขโดยใช้ความขาว นั่นคืองานนวนจุดภาพสีขาวโดยการแทนด้วยค่าความสว่างคงที่ด้วยค่า Saturation  $S$

$$R_{i*}, G_{i*}, B_{i*} = \text{colorhsi}[H_i, S_i, (120 + 0.5 \cdot S_i)] \quad (18)$$

โดยที่ค่า  $H_i, S_i$  เป็นค่า Hue และ Saturation ที่ได้มาจากจากผังสี CM และ ค่า  $R_{i*}, G_{i*}, B_{i*}$  เป็นค่าจากผัง RGB ที่ได้รับการปรับปรุงแล้ว ทั้งค่า Saturation และความสว่างเป็นอย่างเป็นมูร์ซี เช่นความสว่างเปลี่ยนจาก 120 (เส้นรอบรูป) ไปยังความสว่างสูงสุด (255 หรือจุดศูนย์กลางของวงล้อสี) วิธีในการออกแบบนั้นได้กล่าวไว้ใน (Hengl et al., in press-a)

ตัวอย่างในภาพที่ 3 แสดงการแสดงผลการจำแนกผิวน้ำรูปทรงพื้นดินโดยใช้การจำแนกแบบ fuzzy k-means ค่าของสีนั้นพิจารณาเพื่อแสดงความสัมพันธ์ในการจำแนกระหว่างระดับชั้นพิคคของระดับชั้นกลางทั้ง 9 ระดับ (ผิวน้ำรูปทรงพื้นดิน) ได้แปลงค่าจากหลายตัวแปรไปสู่ปริภูมิสองมิติ และได้เทียบเคียงไปบนวงล้อ HSI (Hengl et al., in press-a) ระดับชั้นที่อยู่ใกล้กับปริภูมิจะนำไปรวมกับสีต่างๆไป เทคนิคการรวมสีจำกัดการหาค่าผังสี CM ไปสู่ จำนวนระดับชั้นสี Hue ทั้งหมด 7 สีแยกกันอย่างอิสระซึ่งเป็นรากฐานสำหรับการตีความอัตโนมัติต่อไป



รูปที่ 2.8 ผังสี CM ดังภาพที่ 3b แสดงสีที่อยู่ระหว่างระดับชั้นเดียวกัน เช่นบริเวณรอบเส้นรอบรูป

แสดงถึงการคาบเกี่ยวในการจำแนกแล้วจำแนกสีให้ ในทางกลับกัน สีที่อยู่ระหว่างชั้นที่ตัดกันอย่างเห็นได้ชัดมีสีไปถึงที่จุดศูนย์กลางของวงกลมนั้นคือเป็นสีโทนขาว เช่นจุดภาพระหว่างเนินกลว้างและชั้น (Hi211) และระดับที่ราบทั้งสองจุด (P1311 และ P1411) มีลักษณะเป็นสีโทนขาว ซึ่งเป็นการมองทางจิตวิทยา สีขาวบริสุทธิ์แสดงถึงการประสมการตัดกันอย่างเห็นได้ชัดหรือระดับชั้นที่ไม่สามารถนิยามได้ ขณะที่ระดับชั้นที่มีการประสมที่เหมือนกันอยู่ในระดับที่ลดหลั่นกันไป

เมื่อเปรียบเทียบกับผังสี CM ที่มีทางลาดขึ้นสองจุด ขณะที่การเลือกสีเป็นแบบตามความรู้สึก ทำให้บางครั้งเกิดความคิดที่ผิดไปเกี่ยวกับความเหมือนกันระหว่างระดับ ดังภาพที่ 3a ในทางกลับกัน ในกรณีของผังสี ระดับชั้นจำแนกนั้นไม่ได้เรียงลำดับลดหลั่นเป็นสัดส่วนกันไปตามแนวคิดทั่วไป เนื่องจากวงกลมไม่มีจุดเริ่มต้นดังนั้นการบ่งชี้ระดับชั้นจึงไม่เป็นลำดับ เช่นเดียวกันกับบางระดับชั้นสามารถวางจุดให้ใกล้ชิดหรือห่างออกจากกันในเส้นรอบรูปได้

Saturation ที่ได้มาจากผังสี CM สามารถแยกแยะอาณาเขตการเปลี่ยนแปลงชั้นปฐมภูมิระหว่างระดับชั้นที่แตกต่างกันพอประมาณ ยิ่งไปกว่านั้น ยังสามารถวางตำแหน่งพื้นที่ที่มีความสับสนในการจำแนก เช่นการออกแบบเพิ่มเติมหรือการเก็บข้อมูลเพิ่มเติมให้ละเอียดขึ้นบนพื้นที่

## 2.2 ทฤษฎีไมโครคอนโทรลเลอร์ MCS-51

### 2.2.1 แนะนำไมโครคอนโทรลเลอร์

ก่อนที่จะทำความรู้จักกับไมโครคอนโทรลเลอร์ เราควรทำความรู้จักกับที่มาที่ไปของชิปตัวนี้ เพื่อความเข้าใจที่ดีในการกล่าวถึงเกี่ยวกับไมโครคอนโทรลเลอร์กันซะก่อนเดิมทีเดิวนั้นในงานควบคุมระบบต่างๆ ได้นำไมโครโปรเซสเซอร์หรือไมโครคอมพิวเตอร์เข้ามาใช้งานควบคุม โดยในการใช้งานนั้นจะต้องมีการต่อร่วมกับอุปกรณ์ภายนอก จำพวกพอร์ต I/O หน่วยความจำข้อมูล (RAM) หน่วยความจำโปรแกรม (ROM) ทั้งยังมีชิปจำพวก UART (Universal Asynchronous Receiver Transmitter) เพื่อให้ในการรับส่งข้อมูลแบบอนุกรม โดยมีหน้าที่เปลี่ยนข้อมูลจากรูปแบบขนาน (Parallel) ไปเป็นข้อมูลในรูปแบบอนุกรม (Series) สำหรับทำการส่งชุดข้อมูล และแปลงข้อมูลจากรูปแบบอนุกรมกลับเป็นรูปแบบขนานในขั้นตอนการรับข้อมูล ซึ่งจะเห็นว่าจะจะนำไมโครโปรเซสเซอร์ หรือไมโครคอมพิวเตอร์ดังกล่าวมาใช้ในระบบควบคุม โดยเฉพาะนั้น จะค่อนข้างยุ่งยากสิ้นเปลืองอุปกรณ์ร่วมต่างๆ เพื่อที่จะให้ครอบคลุมการใช้งานควบคุมที่มีประสิทธิภาพ ฉะนั้นจากปัญหาต่างๆ ที่ผ่านมา จึงทำให้มีบริษัทผู้ผลิตชิปไมโครโปรเซสเซอร์หรือไมโครคอมพิวเตอร์ดังกล่าว ได้ทำการพัฒนา และผลิตชิปที่มีการรวมคุณสมบัติต่างๆ เอาไว้ครบเพื่องานควบคุมโดยเฉพาะ

โดยในชิปจะประกอบไปด้วย ไมโครโปรเซสเซอร์, พอร์ต, I/O, หน่วยความจำข้อมูลขนาดเล็ก ตลอดจนอาจจะมีพอร์ตใช้งานในการรับส่งข้อมูล (UART) และหน่วยความจำโปรแกรม (ROM) เข้าไปด้วยภายในชิปเพื่อใช้ในระบบควบคุมอย่างเต็มประสิทธิภาพสามารถประยุกต์ใช้งานง่ายและประหยัดค่าใช้จ่ายเกี่ยวกับอุปกรณ์เสริมต่างๆ ชิปที่รวมคุณสมบัติต่างๆ ดังที่กล่าวมาข้างต้นจึงถูกเรียกว่าไมโครคอนโทรลเลอร์ชิปเดี่ยว (Microcontroller Unit; MCU) นั้นเอง โดยบริษัทผู้ผลิตก็ได้ผลิต MCU ออกมาหลายรูปแบบ ซึ่งจะมีคุณสมบัติและความสามารถที่แตกต่างกันเพื่อให้เหมาะสมกับงานในรูปแบบต่างๆ จึงทำให้มีการแยกประเภทของ MCU ออกเป็นตระกูลๆ หรือเบอร์ต่างๆ โดยขึ้นอยู่กับคุณสมบัติของ MCU นั้นและบริษัทผู้ผลิตเอง

โดยตระกูลที่ได้รับความนิยมและเป็นที่รู้จักกันดีในหมู่นิสิตนักศึกษา ตลอดจนทั้งนักอิเล็กทรอนิกส์สมัครเล่นและมีอาชีพก็คือ ไมโครคอนโทรลเลอร์ MCS-51 เนื่องจากมีข้อมูลหรือหนังสือที่เกี่ยวกับ MCU ตระกูลนี้อยู่พอสมควร

โดยนำเสนอข้อมูลการประยุกต์ใช้งาน MCU ตระกูลนี้เช่นกัน โดยเนื้อหาจะกล่าวถึงการใช้งานทางด้านฮาร์ดแวร์เป็นหลัก ต่อไปจะเป็นการกล่าวถึง สถาปัตยกรรมและคุณสมบัติของ MCS-51 เพื่อเป็นพื้นฐานในการทำความรู้จักและเข้าใจในระดับต้นดังนี้

### 2.2.2 คุณสมบัติของ MCS-51

1. ใช้เทคโนโลยีขั้นสูงในการสร้าง โดยมีทั้งประเภท HMOS, CMOS และ CHMOS ทำงานด้วยแหล่งจ่ายไฟ +5 Vdc เพียงแหล่งเดียว
  2. มีหน่วยประมวลผลขนาด 8 บิต
  3. สามารถติดต่อกับหน่วยความจำภายนอกทั้งหน่วยความจำโปรแกรม และหน่วยความจำข้อมูลได้สูงสุด 64 Kbyte
  4. มีพอร์ต I/O แบบขนานสองทิศทางจำนวน 4 พอร์ต พอร์ตละ 8 บิต รวมทั้งหมดเป็น 32 บิต จะใช้ในการเข้าถึงแอดเดรสและข้อมูลสำหรับติดต่อกับหน่วยความจำภายนอก
  5. พอร์ตใช้งานทุกพอร์ตและมีลักษณะเป็นพอร์ตแล็ช (Latch) คงสถานะ
  6. มีขาพอร์ตที่ใช้สำหรับการรับส่งข้อมูลแบบอนุกรม
  7. หนึ่ง Machine Cycle จะใช้เวลา 1 ไมโครวินาที โดยใช้ X-TAL 12 MHz
  8. สามารถกำหนดการใช้งานพอร์ต อนุกรม I/O ได้ในระดับไบต์หรือบิตได้โดยตรง
  9. ตัวเลขทางคณิตศาสตร์ใช้ได้ทั้งระบบฐานสอง และฐานสิบหก
- ตระกูลของ MCS-51 จะมีทั้งแบบมี EPROM ในตัวหรือไม่มี EPROM ภายใน (ในการกล่าวถึงหน่วยความจำโปรแกรมต่อไปนั้นผู้เขียนจะกล่าวถึง EPROM เป็นหลัก เนื่องจากเป็นชนิดประเภทของหน่วยความจำโปรแกรมที่สามารถนำมาประยุกต์ใช้งาน และเป็นที่ยูจิกกันดี โดยขอให้ผู้อ่านเข้าใจว่าหน่วยความจำโปรแกรม EEPROM ได้เช่นกัน ข้อแตกต่างหรือรายละเอียดนั้นจะกล่าวไว้ในบทที่ 2) ซึ่งก็จะมีตำแหน่งขาที่เหมือนกัน ตารางที่ 1-1 แสดงถึงรายละเอียดของไมโครคอนโทรลเลอร์ตระกูล MCS-51 เบอร์ 89XX ของบริษัท ATMEL และเบอร์ 80C31, 80C32 ของบริษัท INTEL

### 2.2.3 ลักษณะการจัดขาภายนอกของ MCS-51

รูปที่ 1-1 แสดงการจัดขาตามลักษณะภายนอกของชิป MCS-51 ซึ่งจะมีการแบ่งกลุ่ม จัดขาของ MCS-51 มีอยู่ 4 กลุ่ม คือ 1. กลุ่มขาแหล่งจ่ายไฟเลี้ยง และสัญญาณนาฬิกา 2. กลุ่มขาสำหรับอ่านแอดเดรสและรับส่งข้อมูล 3. กลุ่มขาที่ใช้ในการควบคุม 4. กลุ่มขาพอร์ตใช้งานแบบขนานและอนุกรมพอร์ตใช้งานบางพอร์ตจะทำหน้าที่ได้

P1.0	1	40	VCC
P1.1	2	39	PO.0 (AD0)
P1.2	3	38	PO.1 (AD1)
P1.3	4	37	PO.2 (AD2)
P1.4	5	36	PO.3 (AD3)
P1.5	6	35	PO.4 (AD4)
P1.6	7	34	PO.5 (AD5)
P1.7	8	33	PO.6 (AD6)
HST	9	32	PO.7 (AD7)
(RXD) P3.0	10	31	EA/VPP
(TXD) P3.1	11	30	ALE/P $\overline$ PROG
(INT0) P3.2	12	29	PSEN
(INT1) P3.3	13	28	P2.7 (A15)
(T0) P3.4	14	27	P2.6 (A14)
(T1) P3.5	15	26	P2.5 (A13)
(WR) P3.6	16	25	P2.4 (A12)
(RD) P3.7	17	24	P2.3 (A11)
XTAL2	18	23	P2.2 (A10)
XTAL1	19	22	P2.1 (A9)
GND	20	21	P2.0 (A8)

รูปที่ 2.9 กลุ่มขาพอร์ตแบบขนาน I/O

รายละเอียดการทำงานตลอดจนโครงสร้างภายใน Microcontroller MCS-51 สามารถศึกษาได้จากคู่มือหรือ Data Sheet การใช้งาน Microcontroller MCS-51 โดยในที่นี่จะแนะนำรายละเอียดและคุณสมบัติเบื้องต้นสำหรับนำมาประยุกต์ใช้งานต่อไป

#### 2.2.4 ขาที่สำคัญของไมโครคอนโทรลเลอร์ MCS-51

1. ขา VCC เป็นขารับแรงดันไฟกระแสตรง +5 Vdc
2. ขา GND เป็นขากาวด์
3. พอร์ต 0 (Port 0) มี 8 บิต ได้แก่บิต P0.0 – P0.7 เป็นพอร์ตอินพุตเอาต์พุตแบบ 2 ทิศทางสำหรับใช้งานทั่วไป โดยถ้าใช้งานเป็น ตารางที่ 1-1 แสดงรายละเอียดของไมโครคอนโทรลเลอร์ตระกูล MCS-51

Features	89C1051	89C2051	80C31	80C32	89C51	89C52	89LV51	89LV52	89C55	89S8252
Flash Memore	1K	2K	-	-	4K	8K	4K	8K	20K	8K
Ram	64	128	128	256	128	256	128	256	256	256
EEPROM	-	-	-	-	-	-	-	-	-	2K
Programming	Yes	Yes	No	No	Yes	Yes	Yes	Yes	Yes	Yes
Timers/Counters	1	2	2	3	2	3	2	3	3	4
Serial UART	1	Yes	Yes	Yes	Yes	Yes	Yes	Yes	Yes	Yes
Power supply	2.7-6.0	2.7-6.0	4.0-6.0	4.0-6.0	4.0-6.0	4.0-6.0	2.7-6.0	2.7-6.0	2.7-6.0	2.7-6.0
Frequency	0-24	0-24	0-24	0-24	0-24	0-24	0-24	0-24	0-33	0-33
I/O Pins	15	15	32	32	32	32	32	32	32	32
External address/										
Data bus	No	No	Yes	Yes	Yes	Yes	Yes	Yes	Yes	Yes
Pin Count	20	20	40/44	40/44	40/44	40/44	40/44	40/44	40/44	40/44

### รูปที่ 2.10 คุณสมบัติต่างๆของ Microcontroller

อินพุตพอร์ตต้องการเช็ตค่า 1 ไปยังพอร์ตเมื่อต้องการใช้งานพอร์ตนั้นทั้งพอร์ตเป็นอินพุตในระดับบิต ก็สามารถกระทำได้โดยการเช็ตค่า 1 ไปยังแต่ละบิตที่ต้องการใช้งานเป็นพอร์ตอินพุตในระดับ เพื่อกำหนดให้ขาพอร์ตหรือแต่ละบิตเหล่านั้นอยู่ในสถานะปล่อยลอย ซึ่งในสถานะนี้เองที่นำมาใช้เป็นพอร์ตอินพุตอิมพีแดนซ์สูงได้ นอกจากพอร์ตนี้จะใช้งานเป็นพอร์ตอินพุตเอาต์พุตแล้วมันยังถูกใช้งานในการติดต่อกับหน่วยความจำภายนอก (EPROM, RAM) ได้อีกด้วย โดยทำหน้าที่ในการกำหนดตำแหน่งแอดเดรสไบต์ต่ำ (A0-A7) ซึ่งจะใช้งานเป็นแบบมัลติเพล็กซ์สำหรับการรับส่งข้อมูลขนาด 8 บิต (D0-D7)

4. พอร์ต 1 (Port 1) มี 8 บิต ได้แก่บิต P1.0-P1.7 เป็นพอร์ตอินพุตเอาต์พุตแบบ 2 ทิศทาง สำหรับใช้งานทั่วไป โดยถ้าใช้งานเป็นอินพุตพอร์ตหรืออินพุตในระดับบิต สามารถกระทำได้โดยวิธีเช่นเดียวกันกับพอร์ต 0 ข้างต้น

5. พอร์ต 2 (Port 2) มี 8 บิต ได้แก่ บิต P2.0-P2.7 เป็นพอร์ตอินพุตเอาต์พุตแบบ 2 ทิศทาง สำหรับใช้งานทั่วไป โดยถ้าใช้งานเป็นอินพุตพอร์ตหรืออินพุตในระดับบิต สามารถกระทำได้เช่นเดียวกันกับพอร์ต 0 ข้างต้น เช่นเดียวกันกับพอร์ต 0 นอกจากใช้งานเป็นพอร์ตอินพุตเอาต์พุตแล้วมันยังถูกใช้งานในการติดต่อกับหน่วยความจำภายนอก (EPROM, RAM) ได้อีกด้วย โดยทำหน้าที่ในการอ้างตำแหน่งแอดเดรสไบต์สูง (A8-A15)

6. พอร์ต (Port 3) มี 8 บิต ได้แก่บิต P3.0-P3.7 เป็นพอร์ตอินพุตเอาต์พุตแบบ 2 ทิศทาง สำหรับใช้งานทั่วไป โดยถ้าใช้งานเป็นอินพุตพอร์ตหรืออินพุตในระดับบิต สามารถกระทำได้เช่นเดียวกันกับพอร์ต 0 ข้างต้น นอกจากจะ ใช้งานเป็นพอร์ตอินพุตเอาต์พุตแล้วมันยังสามารถใช้งานในหน้าที่พิเศษต่างๆ ดังตารางที่ 1-2

7. ขารีสตาร์ท (RST) ใช้สำหรับการรีเซ็ตการทำงานของไมโครคอนโทรลเลอร์ โดยการรีเซ็ตต้องคงสถานะ high อย่างน้อยนาน 2 Machine cycle ในขณะที่ออสซิลเลเตอร์ยังทำงานอยู่

8. ขา ALE / PROG เป็นขาสัญญาณเพื่อทำหน้าที่ควบคุมการแล็ช (Latch) ค่าตำแหน่งแอดเดรสไบต์ต่ำ (Address Latch Enable) เมื่อต้องการติดต่อกับหน่วยความจำภายนอก นอกจากนี้ขานี้ยังทำหน้าที่เป็นอินพุตรับพัลส์ในการ โปรแกรม (Program Pulse Input)) ในส่วนของหน่วยความจำ EPROM สำหรับ

รูปที่ 2.11 แสดงหน้าที่พิเศษของแต่ละขาของพอร์ต 3 ของไมโครคอนโทรลเลอร์

Pin Port	Discription
P3.0	RXD (Serial Input Port)
P3.1	TXD (Serial Output Port)
P3.2	INT0 (External Interrupt 0)
P3.3	INT1 (External Interrupt 1)
P3.4	T0 (Timer 0 External Input)
P3.5	T1 (Timer 1 External Input)
P3.6	$\overline{RW}$ (External Data Memory Write Strobe)
P3.7	$\overline{RD}$ (External Data Memory Read Strobe)

ไมโครคอนโทรลเลอร์ในตระกูล MCS-51 ที่มีหน่วยความจำโปรแกรมภายในเป็น EPROM

9. ขา PSEN (Program Store Enable) ทำหน้าที่เป็นสัญญาณสโตรบเพื่ออ่านคำสั่งจากหน่วยความจำโปรแกรมภายนอก เมื่อ ไมโครคอนโทรลเลอร์ประมวลผลคำสั่งจากหน่วยความจำภายนอก เมื่อไมโครคอนโทรลเลอร์ประมวลผลคำสั่งจากหน่วยความจำภายนอก ขานี้จะส่งสัญญาณสโตรบจำนวน 2 ครั้ง ในแต่ละ Machine Cycle แต่ในขณะที่ติดต่อกับหน่วยความจำข้อมูลภายนอกจะไม่มี การส่งสัญญาณ Strobe แต่อย่างใด

10. ขา EA/Vcc (External Access Enable/Vcc) เป็นขาสำหรับการเลือกใช้หน่วยความจำโปรแกรมจากภายในหรือจากภายนอก โดยมีสถานะเป็น 0 หรือ 1 จะหมายถึงให้ไมโครคอนโทรลเลอร์ รับคำสั่งจากหน่วยความจำภายนอก และภายในตามลำดับ อย่างไรก็ตามถ้าบิตป้องกัน (Security Bit) ในหน่วยความจำ EPROM ถูกโปรแกรมไว้ ไมโครคอนโทรลเลอร์จะไม่รับคำสั่งจากหน่วยความจำภายนอกเลย นอกจากนี้ ขานี้ยังทำหน้าที่รับแรงดันไฟสำหรับการโปรแกรม (Vcc)

ขนาด 12 โวลต์ เพื่อใช้ในระหว่างการโปรแกรมหน่วยความจำโปรแกรม (EPROM) ภายในตัว MCU

11. ขา XTAL1 และขา XTAL2 เป็นขาใช้งานของวงจรอินเวอร์ตออสซิลเลเตอร์แอมพลิไฟเออร์ (Inverting Oscillator Amplifier) สำหรับใช้ต่อร่วมกับคริสตัลภายนอก

### 2.2.5 Machine Cycle

ในการทำงานของ MCU นั้นจะถูกกำหนดความเร็วในการทำงานหรือการประมวลผลต่างๆ ด้วยสัญญาณนาฬิกา (Clock) ที่ป้อนให้กับ MCU ไม่ว่าจะเป็นการต่อสัญญาณนาฬิกาโดยตรง ซึ่งวิธีการนี้จะต้องคำนึงถึงชนิดหรือประเภทของ MCU นั้นๆ ด้วยว่าเป็น CMOS, CHMOS หรือ HMOS โดยแต่ละชนิดประเภทจะมีการต่อสัญญาณนาฬิกาโดยตรงที่แตกต่างกันไป จากรูปที่ 1-2 (ก) นั้นจะเป็นตัวอย่างการต่อสัญญาณนาฬิกาโดยตรงจากภายนอกสำหรับ MCU ชนิดประเภท CMOS, CHMOS โดยวิธีการต่อสัญญาณนาฬิกาจากภายนอกวิธีนี้ออกจะยุ่งยาก และต้องระมัดระวังในการต่อใช้งาน ผู้เขียนจึงขอแนะนำให้ใช้วิธีที่ 2 ดังแสดงในรูปที่ 1-2 (ข) จะเป็นการใช้ X-TAL ในการกำเนิดสัญญาณนาฬิกาให้กับ MCU ซึ่งจะมีความแน่นอนและมีวงจรการใช้งานที่มีความซับซ้อนน้อยกว่าวิธีแรก แต่ขอให้ผู้อ่านคำนึงถึงการเลือกใช้ความถี่ของ X-TAL ให้เหมาะสมกับประเภทและชนิดของงานด้วย เพราะ X-TAL นั้นยิ่งมีความถี่มากก็จะเป็นตัวกำเนิดสัญญาณรบกวนมากเช่นกัน (การแก้ไขสัญญาณรบกวนในเบื้องต้นนั้นให้ทำการ ชีลด์ (Shield) หรือ ต่อตัวถัง X-TAL ลงกราวด์ก็จะแก้ปัญหาสัญญาณรบกวนได้บ้าง

สัญญาณนาฬิกาจะเป็นตัวควบคุมการทำงาน การประมวลผลคำสั่งต่างๆ ของ MCU โดยในการประมวลผลคำสั่งของ MCS-51 จะทำงานเป็นรอบวัฏจักรของภาาเครื่อง หรือที่เรียกว่า Machine Cycle โดย 1 Machine Cycle จะใช้ช่วงเวลาในการทำงานเท่ากับคาบเวลาของสัญญาณนาฬิกาจำนวน 12 ลูก (12 Oscillator period) จากคุณสมบัติข้างต้นเราสามารถคำนวณเวลาการทำงานใน 1 Machine Cycle ของ MCS-51 จากความถี่ของ X-TAL ที่เลือกนำมาใช้งานได้จากการ

$$1 \text{ Machine Cycle} = 12 \frac{12}{X - TAL} \text{ oscillator (Second)}$$

โดยเมื่อเรารู้ระยะเวลาในการทำงานใน 1 Machine Cycle ของ CPU แล้วจะช่วยให้สามารถประมาณช่วงเวลาในการทำงานของคำสั่งแต่ละคำสั่งในการเขียนโปรแกรมได้ ซึ่งคำสั่งแต่ละคำสั่งจะถูกกำหนดการทำงานเป็น Machine Cycle เช่นกัน โดยรายละเอียดการทำงานของคำสั่งในรูปแบบ

## 2.2.6 พอร์ตอนุกรมของไมโครคอนโทรลเลอร์ MCS-51

ไมโครคอนโทรลเลอร์ตระกูล MCS-51 มีวงจรสื่อสารอนุกรมแบบฟูลดูเพล็กซ์ 1 ชุด (วงจรสื่อสารแบบฟูลดูเพล็กซ์ หมายถึง วงจรสื่อสารที่สามารถทำการรับและส่งข้อมูลในลักษณะ 2 ทิศทางได้ในเวลาเดียวกัน) โดยใช้ขาสัญญาณของพอร์ต 3 คือขา P3.0 เป็นขารับข้อมูลเข้าหรือ RxD และขา P3.1 เป็นขาส่งข้อมูลออกหรือ TxD โดยวงจรสื่อสารข้อมูลแบบอนุกรมของ

ไมโครคอนโทรลเลอร์ตระกูล MCS-51 แบบแฟลชเป็นแบบอะซิงโครนัสปกติแล้วพอร์ตอนุกรมของไมโครคอนโทรลเลอร์ MCS-51 จะใช้ในการติดต่อสื่อสารกับพอร์ตอนุกรมของคอมพิวเตอร์ โดยใช้มาตรฐาน RS-232 แต่ในปัจจุบันสามารถติดต่อกันในมาตรฐาน RS-422 หรือ RS-485 ได้แล้วโดยใช้ไอซีพิเศษที่ทำหน้าที่ในการแปลงสัญญาณการสื่อสารดังกล่าว

## 2.2.7 การสื่อสารข้อมูลแบบอะซิงโครนัส

การสื่อสารข้อมูลแบบอะซิงโครนัสคือการรับและส่งข้อมูลโดยไม่จำเป็นต้องมีสัญญาณนาฬิกาพร้อมด้วยแต่จะใช้การกำหนดค่าอัตราเร็วในการรับและส่งข้อมูลให้มีความเท่ากัน ซึ่งเรียกอัตราเร็วนี้ว่า อัตราบอด หรือ บอดเรต(baud rate) มีหน่วยเป็น บิตต่อวินาที (bit per second : bps)

รูปแบบของข้อมูลที่ใช้ในการรับส่งแบบอะซิงโครนัสประกอบด้วย 4 ส่วนด้วยกันคือ

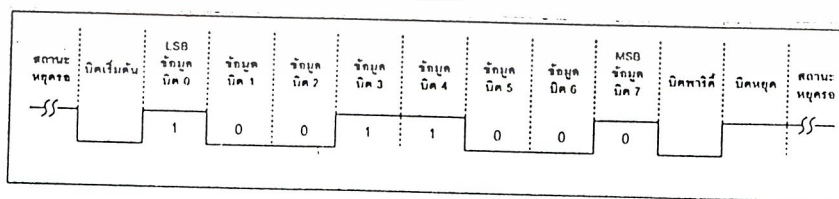
1. บิตเริ่มต้น (start bit) มีขนาด 1 บิต
2. บิตข้อมูลแบบอนุกรม มีขนาด 8 บิต
3. บิตตรวจสอบพาริตี (parity bit) มีขนาด 1 บิตหรือ ไม่มี
4. บิตปิดท้ายหรือบิตหยุด (stop bit) มีขนาด 1 บิต

รูปที่ 9-1 แสดงรูปแบบของข้อมูลอนุกรมแบบอะซิงโครนัสเมื่อไม่มีการส่งข้อมูล ขา DATA จะมีสถานะลอจิก “1” เรียกสถานะนี้ว่า สถานะหยุดรอ(waiting stage) การเริ่มส่งข้อมูลจะเริ่มจากการให้ขา DATA มีลอจิก “0” ด้วยช่วงระยะเวลา 1 บิต เรียกบิตนี้ว่า บิตเริ่มต้น (start bit) จากนั้นบิตข้อมูลจะถูกส่งออกไป โดยเริ่มจากบิตที่มีนัยสำคัญต่ำสุดหรือบิต LSB ก่อน ซึ่งข้อมูลที่ต้องการส่งมีจำนวน 8 บิต จากนั้นตามด้วย บิตพาริตี(parity bit) ซึ่งใช้ในการตรวจสอบความผิดพลาดที่เกิดขึ้นจากการส่งข้อมูล บิตสุดท้ายที่จะส่งคือ บิตปิดท้าย หรือ บิตหยุด(stop bit) โดยจะเป็นการทำให้ขา DATA มีสถานะลอจิก “1” อีกครั้งด้วยระยะเวลาอย่างน้อย 1 บิต, 1.5 บิต หรือ 2 บิต เพื่อเป็นการแสดงว่าสิ้นสุดข้อมูลแล้ว

อัตราความเร็วในการรับและส่งข้อมูลแบบอะซิงโครนัสหรืออัตราบอดหรือบอดเรตที่ใช้สำหรับพอร์ตอนุกรม RS-232 มีด้วยกันหลายค่าตั้งแต่ 110 ถึง 19,200 บิตต่อวินาที โดยมีค่าเพิ่มมากขึ้นตามเทคโนโลยีของคอมพิวเตอร์ เนื่องจากอัตราบอดคือค่าของจำนวนบิตที่สามารถส่งได้ใน 1 วินาที สมมติว่า ข้อมูลอนุกรมมีขนาด 8 บิต ไม่มีการตรวจสอบพาริตี มีบิตเริ่มต้น 1 บิต และบิตปิดท้าย 1 บิตมีความยาวของข้อมูล 1 ไบต์จะมีความยาวเท่ากับ 10 บิต ถ้าใช้บอดเรตในการส่งข้อมูลเท่ากับ 9,600 บิตต่อวินาที ก็จะสามารรับส่งข้อมูลได้ด้วยความเร็ว 960 ไบต์ต่อวินาที

การตรวจสอบพาริตีสามารถกำหนดให้เป็นแบบคี่(odd), แบบคู่(even) หรือมีการตรวจสอบพาริตีก็ได้พาริตีคี่หรือพาริตีคู่แสดงถึงจำนวนลอจิก “1” ทั้งหมดภายในข้อมูลที่ส่งไป 1 ไบต์รวมบิตพาริตีว่ามีจำนวนเป็นเลขคู่หรือเลขคี่ ยกตัวอย่าง ข้อมูลที่จะทำการส่งมีขนาด 8 บิต มีค่าเท่ากับ 99H หรือ 10011001B จะเห็นว่าข้อมูลในไบต์นี้มีจำนวนลอจิก “1” จำนวน 4 ตัวซึ่งเป็นเลขคู่ ดังนั้นถ้ากำหนดค่าพาริตีเป็นคู่ ค่าของบิตพาริตีจะต้องมีลอจิกเป็น “0” แต่ถ้ากำหนดพาริตีเป็นคี่ ค่าของบิตพาริตีจะต้องเป็น “1” เพื่อให้ข้อมูล 1 ไบต์รวมทั้งบิตพาริตีเป็นคี่

บิตพาริตีถูกสร้างขึ้นจากภาคส่งข้อมูลของ UART(Universal Asynchronous Receiver Transmitter: เป็นอุปกรณ์ที่ใช้ในการรับและส่งข้อมูลอนุกรม) ซึ่งทางภาครับต้องกำหนดการตรวจสอบพาริตีที่ตรงกันเอาไว้ว่าจะตรวจสอบพาริตีคู่หรือคี่ จากนั้นภาครับของ UART จะทำการตรวจสอบค่าพาริตีที่เกิดขึ้นว่าเป็นคู่หรือคี่ โดยการนับจำนวนลอจิก “1” ทั้งหมดรวมทั้งบิตพาริตีด้วย ถ้ากำหนดพาริตีไว้เป็นคู่แต่อ่านค่าตัวเลขในการนับออกมาได้ตัวเลขเป็นคี่ทางภาครับจะแสดงข้อผิดพลาดออกมาให้ผู้ใช้งาน กระบวนการดังกล่าวเป็นวิธีการตรวจสอบความผิดพลาดที่เกิดขึ้นในการรับส่งข้อมูลที่ง่ายที่สุด แต่มันสามารถตรวจสอบได้เมื่อมีบิตข้อมูลที่ทำการรับส่งผิดพลาดเพียงบิตเดียวเท่านั้น ถ้าข้อมูลที่ทำการส่งมีบิตผิดพลาดมากกว่า 1 บิต การตรวจสอบด้วยวิธีนี้จะไม่ได้ผลสำหรับการตั้งพาริตีเป็น NONE นั้นทั้งภาครับและส่งจะไม่มีตรวจสอบพาริตี



รูปที่ 2.12 รูปแบบข้อมูลอนุกรมแบบอะซิงโครนัส

## 2.2.8 รีจิสเตอร์ที่เกี่ยวข้องกับการทำงานของพอร์ตอนุกรมใน MCS-51

ในการทำงานของพอร์ตอนุกรมในไมโครคอนโทรลเลอร์ MCS-51 มีรีจิสเตอร์ที่เกี่ยวข้องอยู่ 2 ตัวดังนี้

### รีจิสเตอร์บัฟเฟอร์ของพอร์ตอนุกรมหรือ SBUF (Serial data buffer register)

มีแอสเซสที่อยู่ 99H ในพื้นที่ของรีจิสเตอร์ฟังก์ชันพิเศษหรือ SFR มีขนาด 8 บิต แบ่งเป็น 2 ส่วนคือรีจิสเตอร์บัฟเฟอร์สำหรับส่งข้อมูล (transmit buffer register) และรับข้อมูล (receive buffer register) เมื่อมีการเขียนข้อมูลมายังรีจิสเตอร์ SBUF ข้อมูลนั้นจะถูกส่งต่อไปยังบัฟเฟอร์สำหรับส่งข้อมูล เพื่อส่งออกจากไมโครคอนโทรลเลอร์ผ่านทางขา TxD หรือขา P3.1 ในกรณีที่มีการอ่านข้อมูลจากรีจิสเตอร์ SBUF ข้อมูลจะถูกส่งผ่านไปยังรีจิสเตอร์บัฟเฟอร์สำหรับรับข้อมูลเพื่อส่งต่อไปยังไมโครคอนโทรลเลอร์ต่อไป สำหรับการรับส่งข้อมูลอนุกรมจากภายนอกนั้นจะผ่านมาทางขา RxD หรือ P3.0 ของไมโครคอนโทรลเลอร์ MCS-51 แบบแฟลช

### รีจิสเตอร์ควบคุมการทำงานของพอร์ตอนุกรมหรือ SCON (Serial port Control Register)

เป็นรีจิสเตอร์ขนาด 8 บิตมีแอสเซสอยู่ที่ 98H ในพื้นที่ของรีจิสเตอร์ SFR สามารถเข้าถึงได้ในระดับบิตมีรายละเอียดการทำงานดังนี้

บิต 7	บิต 6	บิต 5	บิต 4	บิต 3	บิต 2	บิต 1	บิต 0
SM0	SM1	SM2	REN	TB8	RB8	TI	RI

รูปที่ 2.13 Register ขนาด 8 บิต

**SM0-SM1 (Serial port mode bit 0-1) :** ใช้ในการเลือกโหมดการทำงานของพอร์ตอนุกรมภายในไมโครคอนโทรลเลอร์ MCS-51 ดังมีรายละเอียดต่อไปนี้

**SM2 :** ใช้ในการเอ็นเอเลกาการสื่อสารในแบบมัลติโพรเซสเซอร์ (multiprocessor) ในการทำงานของ

โหมด 2 และ 3 ของพอร์ตอนุกรมในไมโครคอนโทรลเลอร์ MCS-51 ถ้าบิตนี้เป็น “1” บิต RI จะไม่แอกคิฟฟ้าบิตที่ 9 ที่รับเข้ามาเป็น “0” (ข้อมูลบิตที่ 9 เก็บไว้ที่บิต RB8) ในการทำงานโหมด 1 ถ้าบิตนี้เซต บิต RI จะไม่แอกคิฟฟ้าขงไม่ได้รับบิตหยุด ส่วนในโหมด 0 บิตนี้ไม่มีการใช้งาน

**REN(Enable serial reception) :** ใช้ในการเอนเอเบิลการรับข้อมูลของพอร์ตอนุกรม ทำการเซตและเคลียร์ด้วยการบวกรถทางซอฟต์แวร์ ถ้าต้องการให้มีการรับข้อมูลต้องเซตบิตนี้ให้เป็น “1”

**TB8 :** ใช้สำหรับเก็บข้อมูลบิตที่ 9 ที่ต้องการส่งออกไปในการทำงานโหมด 2 และ 3 ของพอร์ตอนุกรมในไมโครคอนโทรลเลอร์ MCS-51 เซตและเคลียร์ด้วยกระบวนการทางซอฟต์แวร์

**RB8 :** ใช้สำหรับรับข้อมูลบิตที่ 9 ที่เข้ามาในการทำงานโหมด 2 และ 3 ของพอร์ตอนุกรมในไมโครคอนโทรลเลอร์ MCS-51 แต่ถ้าหากพอร์ตอนุกรมทำงานอยู่ในโหมด 1 และบิต SM2 เป็น “0” ข้อมูลที่บิต RB8 คือข้อมูลของบิตหยุด (STOP bit) สำหรับในการทำงานโหมด 0 บิตนี้จะไม่ใช้งานบิต RB8 นี้สามารถเซตและเคลียร์ด้วยกระบวนการทางซอฟต์แวร์

**TI (Transmit Interrupt flag) :** ใช้ในการแสดงการเกิดอินเตอร์รัปต์เมื่อมีการส่งข้อมูลออกจากพอร์ตอนุกรมของไมโครคอนโทรลเลอร์ MCS-51 สามารถเซตได้ด้วยกระบวนการทางฮาร์ดแวร์ เมื่อทำการส่งข้อมูลบิตที่ 8 ไปเรียบร้อยแล้วในการทำงานโหมด 0 ส่วนในการทำงานโหมดอื่น บิตนี้จะเซตเมื่อการเริ่มต้นส่งบิตหยุดออกไป การเคลียร์บิตนี้ต้องใช้กระบวนการทางซอฟต์แวร์เท่านั้น

**RI (Receive Interrupt flag) :** ใช้แสดงการเกิดอินเตอร์รัปต์เมื่อมีการรับข้อมูลเข้าสู่พอร์ตอนุกรม สามารถเซตได้ด้วยกระบวนการทางฮาร์ดแวร์ เมื่อทำการรับข้อมูลบิตที่ 8 เรียบร้อยแล้วในการทำงานโหมด 0 ส่วนในการทำงานโหมดอื่น บิตนี้จะเซตเมื่อมีสามารถรับบิตหยุดของข้อมูลอนุกรมไปได้ครึ่งทางแล้ว ยกเว้นในกรณีที่บิต SM2 มีการเซตบิตนี้จะเซตได้ก็ต่อเมื่อการรับบิตหยุดหรือบิตที่ 9 เกิดขึ้นอย่างสมบูรณ์แล้ว การเคลียร์บิตนี้ต้องใช้กระบวนการทางซอฟต์แวร์เท่านั้น

### 2.2.9 โหมดการทำงานของพอร์ตอนุกรมใน MCS-51

พอร์ตอนุกรมในไมโครคอนโทรลเลอร์ MCS-51 สามารถเลือกการทำงานได้ถึง 4 โหมด คือ

1. โหมด 0 เป็นการกำหนดให้พอร์ตอนุกรมทำงานในลักษณะซีพรีจิสเตอร์
2. โหมด 1 เป็นการกำหนดให้เป็น UART ขนาด 8 บิต สามารถเลือกอัตราบอดได้
3. โหมด 2 เป็นการกำหนดให้เป็น UART ขนาด 9 บิต โดยมีอัตราบอดคงที่
4. โหมด 3 เป็นการกำหนดให้เป็น UART ขนาด 9 บิต สามารถเลือกอัตราบอดได้

การเลือกโหมดทำได้ด้วยการกำหนดข้อมูลให้แก่บิต SM0 และ SM1 ในรีจิสเตอร์ SCON

## 2.2.10 การทำงานในโหมด 0 ของวงจรถอดอนุกรม

มีไคอะแกรมการทำงานและไคอะแกรมเวลาแสดงในรูปที่ 9-2 ข้อมูลอนุกรมจะผ่านเข้าและออกทางขา RxD ส่วนขา TxD ทำหน้าที่เป็นสัญญาณนาฬิกาของการเลื่อนข้อมูล(shift clock) ในโหมดนี้มีจำนวนข้อมูล 8 บิตโดยทำการรับและส่งข้อมูลในบิต LSB ก่อนอัตราในการรับส่งข้อมูลหรืออัตราบอดถูกกำหนดไว้คงที่ที่ 1/12 ของความถี่สัญญาณนาฬิกา

เริ่มต้นการส่งข้อมูลด้วยการเขียนข้อมูลที่ต้องการส่งมายังรีจิสเตอร์ SBUF สัญญาณเขียนข้อมูล SBUF แอคทิฟเป็น “1” ที่สเตต 6 เฟส 2 (S6P2) ของแมชชีน ไซเกิล ส่งมายังวงจรถควบคุมการส่ง (TX control) ทำให้วงจรถควบคุมเริ่มต้นส่งข้อมูล สัญญาณ SEND จะแอคทิฟเป็น “1” ตลอดการส่งข้อมูล

ข้อมูลจากรีจิสเตอร์ SBUF จะถูกเลื่อนออกที่ขา P 3.0 หรือ ขา RxD ครั้งละบิต ตามจังหวะของสัญญาณนาฬิกาที่ส่งออกมาทางขา P3.1 หรือ TxD โดยสัญญาณนาฬิกาของการเลื่อนข้อมูลจะมีขอบขาลงของสัญญาณที่สเตต 3 เฟส และมีขอบขาขึ้นของสัญญาณที่สเตต 6 เฟส 1 ของแต่ละแมชชีน ไซเกิลในกระบวนการส่งข้อมูลจะกระทำเมื่อส่งข้อมูลครบ 8 บิตแล้ว บิต TI ในรีจิสเตอร์ SCON จะเกิดการเซต เป็นการแจ้งให้ทราบว่าส่งข้อมูลครบแล้ว หากการอินเตอร์รัปต์จากพอร์ตอนุกรมได้รับการเอ็นเอเบิลไว้ ก็จะมีการอินเตอร์รัปต์ขึ้นในระบบเมื่อเสร็จสิ้นกระบวนการรับข้อมูล สัญญาณ SEND จะกลายเป็น “0” จนกว่าจะเริ่มต้นกระบวนการรับข้อมูลใหม่

ในกระบวนการรับข้อมูลเริ่มต้นด้วยการเซต REN ให้เป็น “1” และเคลียร์บิต RI ในรีจิสเตอร์ SCON ก่อนที่สเตต 6 เฟส 2 ของแมชชีน ไซเกิลถัดไป วงจรถควบคุมการรับ (RX control) จะทำการเขียนข้อมูล 11111110 ไปยังรีจิสเตอร์สำหรับรับข้อมูลและทำการแอคทิฟสัญญาณ RECEIVE ให้เป็น “1” ในสัญญาณนาฬิกาถัดไป

เมื่อสัญญาณRECEIVE แอคทิฟก็จะเกิดการส่งสัญญาณนาฬิกาของการเลื่อนข้อมูล(Shift clock) ขึ้นผ่านทางขา P3.1 หรือ TxD เพื่อทำการกำหนดจังหวะการรับข้อมูลครั้งละบิต โดยสัญญาณนาฬิกาจะเกิดขึ้นในช่วงสเตต 3 เฟส 1 ถึง สเตต 6 เฟส 1 ของแต่ละแมชชีน ไซเกิล การรับข้อมูลเข้ามาทางขา P3.0 หรือ RxD จะเกิดขึ้นที่สเตต 5 เฟส 2 ในแมชชีน ไซเกิลเดียวกับสัญญาณนาฬิกาของการเลื่อนข้อมูล จนกระทั่งรับข้อมูลครบทั้ง 8 บิต บิตRI จะได้รับการเซตเพื่อแจ้งการเสร็จสิ้นกระบวนการรับข้อมูล หากการอินเตอร์รัปต์จากพอร์ตอนุกรมได้รับการเอ็นเอเบิลไว้ก็จะเกิดการอินเตอร์รัปต์ขึ้นในระบบ เมื่อเสร็จสิ้นกระบวนการรับข้อมูล สัญญาณRECEIVE จะกลายเป็น “0” จนกว่าจะเริ่มต้นกระบวนการรับข้อมูลใหม่

การทำงานในโหมดนี้ของพอร์ตอนุกรมในไมโครคอนโทรลเลอร์ MCS-51 จะใช้ในการเชื่อมต่อกับไอซีรีจิสเตอร์ภายนอกเพื่อทำการขยายจำนวนพอร์ตอินพุตหรือเอาต์พุต แต่ไม่เป็นที่นิยมใช้งานมากนัก เนื่องจากในไมโครคอนโทรลเลอร์ MCS-51 เองมีพอร์ตอยู่ค่อนข้างมากและติดต่อกับพอร์ตเหล่านั้นได้ง่ายและเร็วกว่ามาก

### 2.2.11 การทำงานในโหมด 1 ของวงจรถูกอนุกรม

มีไดอะแกรมในรูปแบบที่ 9-3 ในโหมดนี้ใช้ในการส่งข้อมูลรวม 10 บิต โดยส่งข้อมูลออกจากขา P3.1 หรือ TxD และรับข้อมูลเข้าทางขา P3.0 หรือ RxD ข้อมูลทั้ง 10 บิต ประกอบด้วย บิตเริ่มต้น (มีค่าเป็น "0") 1 บิต บิตข้อมูล 8 บิต โดยรับข้อมูลหรือส่งในบิต LSB ก่อน และบิตหยุดหรือบิตปิดท้าย (มีค่าเป็น "1") ในการรับข้อมูล บิตหยุดจะถูกเก็บในบิต RB8 ในรีจิสเตอร์ SCON อัตราบอดในโหมดนี้ได้รับการกำหนดโดยอัตราการเกิด overflow ของ timer 1 ใน AT89C51 ส่วนใน Microcontroller เบอร์ AT89C52 และในอนุกรม AT89Sxx สามารถเลือกให้อัตราการเกิด overflow ของ timer หรือ timer 2 ในการกำหนดอัตราการบอดได้

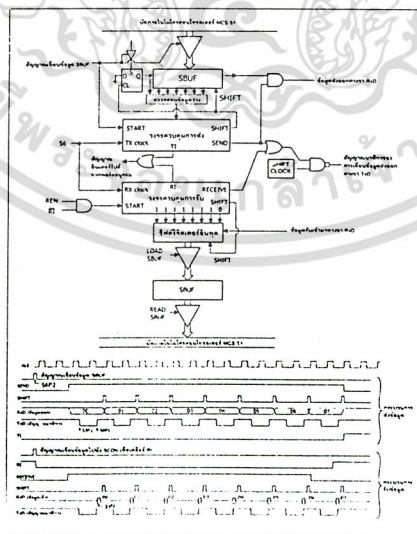
กระบวนการส่งข้อมูลเริ่มต้นด้วยการ active สัญญาณเขียนข้อมูล มายังรีจิสเตอร์ SBUF ส่งมายังวงจรถควบคุมการส่ง (TX control) จากนั้นวงจรถควบคุมจะทำการ active สัญญาณ SEND ที่สแตต 1 เฟส 1 ของ machine cycle ต่อมา โดยสัญญาณ SEND จะเป็น 0 ตลอดการส่งข้อมูล เมื่อสัญญาณ SEND active จะทำการส่งบิตเริ่มต้นก่อนเป็นบิตแรก โดยมีคาบเวลาของบิตเริ่มต้นเท่ากับ 1 machine cycle จากนั้นตามด้วยการส่งบิตข้อมูล 8 บิต เรียงลำดับจากบิต LSB โดยข้อมูลที่ทำการส่งถูกเรียกออกมาจากรีจิสเตอร์บัฟเฟอร์ สำหรับการส่งข้อมูลในทุกๆบิตข้อมูลที่ทำการส่งออกไป จะเกิดสัญญาณพัลส์ SHIFT ขึ้น เพื่อให้เรียกข้อมูลในแต่ละบิต จากรีจิสเตอร์บัฟเฟอร์ การกำหนดจังหวะในการส่งข้อมูล ใช้สัญญาณนาฬิกาการส่ง (Tx clock) เป็นตัวกำหนด โดยสัญญาณนาฬิกานี้ได้มาจากการหารสัญญาณ TCLK จาก timer 1 ด้วย 16 หลังจากการส่งบิตข้อมูล ก็จะทำการส่งบิตหยุด หรือบิตปิดท้าย 1 บิต ดังนั้นการส่งข้อมูลจะใช้สัญญาณนาฬิกาทั้งหมด 10 ลูก เมื่อทำการส่งข้อมูลครบเรียบร้อยแล้ว จะทำการเซตบิต TI ในรีจิสเตอร์ SCON หากการ Interrupt จากพอร์ตอนุกรม ได้รับการ Enable ไว้ ก็จะเกิดการ Interrupt ขึ้นในระบบ หลังจากที่ทำการบริการ Interrupt หรือส่งข้อมูลเรียบร้อยแล้ว ต้องทำการ clear บิต TI ก่อนเป็นอันดับแรก เพื่อให้การรับส่งข้อมูลทางพอร์ตอนุกรมดำเนินต่อไปได้

ด้านการรับข้อมูล จะทำการตรวจจับการเปลี่ยนแปลงระดับลอจิกจาก 1 เป็น 0 ที่ขา RxD โดยใช้อัตราการสุ่มเท่ากับ 1/16 เท่าของอัตราบอด เมื่อตรวจจับพบ timer/counter ที่ใช้ในการกำหนดอัตราบอดจะรีเซ็ตและทำการเขียนข้อมูล 1FFH ไปยังรีจิสเตอร์ ข้อมูลจะเริ่มเดิน

ทางเข้าสู่พอร์ตอนุกรมของ Microcontroller ผ่านทางขา RxD ในการตีความว่าบิตที่เข้ามาเป็น 0 หรือ 1 จะใช้ผลการสุ่มข้างมาก โดยบิตของข้อมูลที่เข้ามาได้รับการแบ่งออกเป็น 16 state การสุ่มข้อมูลจะทำการสุ่ม state ที่ 7,8 และ 9 หาก 2 ใน 3 ของการสุ่มพบว่าข้อมูลเป็นลอจิกใด จะตีความข้อมูลในบิตนั้น เป็นตามเสียงข้างมาก ยกตัวอย่าง สุ่มพบลอจิก 1 2 ใน 3 ครั้ง จะตีความว่าบิตของข้อมูลเป็น 1

ลำดับของการรับข้อมูลมีลักษณะเดียวกับการส่งคือ เริ่มด้วยบิตเริ่มต้นก่อน ตามด้วยบิตข้อมูล และบิตปิดท้าย ในทุกๆการรับข้อมูลได้ 1 บิต จะมีพัลส์ SHIFT เกิดขึ้น เพื่อทำการเลื่อนข้อมูล เข้าสู่รีจิสเตอร์บัฟเฟอร์ การรับข้อมูล การกำหนดจังหวะการรับข้อมูลใช้สัญญาณนาฬิกาการรับข้อมูล (Rx clock) หลังจากสัญญาณนาฬิกา ถูกสุ่มท้าย อันหมายถึงสามารถรับข้อมูลได้ครบแล้ว วงจรควบคุมการรับข้อมูลจะทำการส่งข้อมูลจากรีจิสเตอร์บัฟเฟอร์ ไปยังรีจิสเตอร์ SBUF และบิต RB8 ในรีจิสเตอร์ SCON โดยข้อมูลในบิต RB8 ก็คือข้อมูลของบิตหยุดนั่นเอง พร้อมกันนั้นยังทำการเซตบิต R1 ในรีจิสเตอร์ SCON ด้วย หากการ Interrupt จากพอร์ตอนุกรมได้รับการ Enable ก็ จะเกิดการ Interrupt ขึ้นในระบบ หลังจากการบริการ Interrupt หรือรับข้อมูลเรียบร้อยแล้ว ต้องทำการ clear บิต R1 ก่อน เพื่อให้การรับข้อมูลทางพอร์ตอนุกรมดำเนินต่อไป

การทำงานในโหมดนี้ได้รับความนิยมสูงสุด เนื่องจากมีกระบวนการที่ไม่ซับซ้อน และสามารถทำการรับส่ง ข้อมูลกับ computer ได้อย่างมีประสิทธิภาพ



รูปที่ 2.13 ไคอะแกรมการทำงานในโหมด 0 ของพอร์ตอนุกรม

## 2.2.12 การทำงานในโหมด 2 และ 3 ของวงจรถ่ายทอดอนุกรม

ในทั้งสองโหมดนี้จะใช้รูปแบบข้อมูลรวม 11 บิต ประกอบด้วยบิตเริ่มต้น มีค่าเป็น 0 และ 1 บิต บิตข้อมูล 8 บิต โดยทำการรับและส่งบิต LSB ก่อน บิตข้อมูลบิตที่ 9 และบิตปิดท้ายมีค่าเป็น 1 จำนวน 1 บิต ในการส่งข้อมูล ข้อมูลบิตที่ 9 จะทำการเก็บไว้ในบิต TB8 ในรีจิสเตอร์ SCON และในการรับข้อมูล ข้อมูลบิตที่ 9 จะทำการเก็บไว้ในบิต RB8 ในรีจิสเตอร์ SCON สำหรับอัตราบอดในโหมด 2 จะคงที่โดยเลือกได้สองค่า คือ 1/32 และ 1/64 ของความถี่สัญญาณนาฬิกา สำหรับในโหมด 3 อัตราบอดสามารถปรับได้เหมือนกับในโหมด 1

ในรูปที่ 9-4 และ 9-5 เป็นไคอะแกรมการทำงาน และไคอะแกรมการทำงานของโหมด 2 และ 3 ของพอร์ตอนุกรม การทำงานโดยรวมจะทำงานคล้ายกับในโหมด 1 ส่วนที่แตกต่างกันคือจำนวนบิตของข้อมูลที่อยู่ในโหมด 2 และ 3 จะมีเพิ่มมาอีก 1 บิต โดยส่วนใหญ่จะเป็นบิตตรวจสอบพาริตี

## 2.2.13 อัตราบอดของพอร์ตอนุกรมใน microcontroller MCS-51

โหมด 0

อัตราบอดของโหมดนี้มีค่าคงที่ โดยสามารถคำนวณได้จากสูตร

อัตราบอดของโหมด 0 = ความถี่ของสัญญาณนาฬิกา/12 หน่วยเป็น bit/sec

โหมด 1 และ 3

เนื่องจากสองโหมดนี้สามารถเลือกแหล่งอัตราบอดได้ 2 แหล่ง คือ จากอัตรา overflow ของ timer 1 และ 2 สำหรับอัตราบอดที่ใช้การ overflow ของ timer 1 จะต้องใช้ค่าของบิต SMOD ในรีจิสเตอร์ PCON มาพิจารณาประกอบด้วย สามารถคำนวณอัตราบอดได้จาก

อัตราบอด = (2 ยกกำลังค่าบิต SMOD / 32) \* อัตรา overflow ของ timer 1

ถ้าหากใน timer 1 ไม่ได้ Enable interrupt ไว้ สามารถคำนวณค่าอัตราบอดได้จาก

อัตราบอด = (2 ยกกำลังค่าบิต SMOD / 32) \* (ความถี่สัญญาณนาฬิกา / {12 \* [256 - (TH1)]})

ในตารางที่ 9-1 แสดงการกำหนดอัตราบอดโดยใช้ timer 1

ในกรณีที่ใช้ timer 2 ในการกำหนดอัตราบอด โดยกำหนดให้ timer 2 ทำงานในโหมดกำหนดอัตราบอด สามารถคำนวณหาอัตราบอดได้จาก

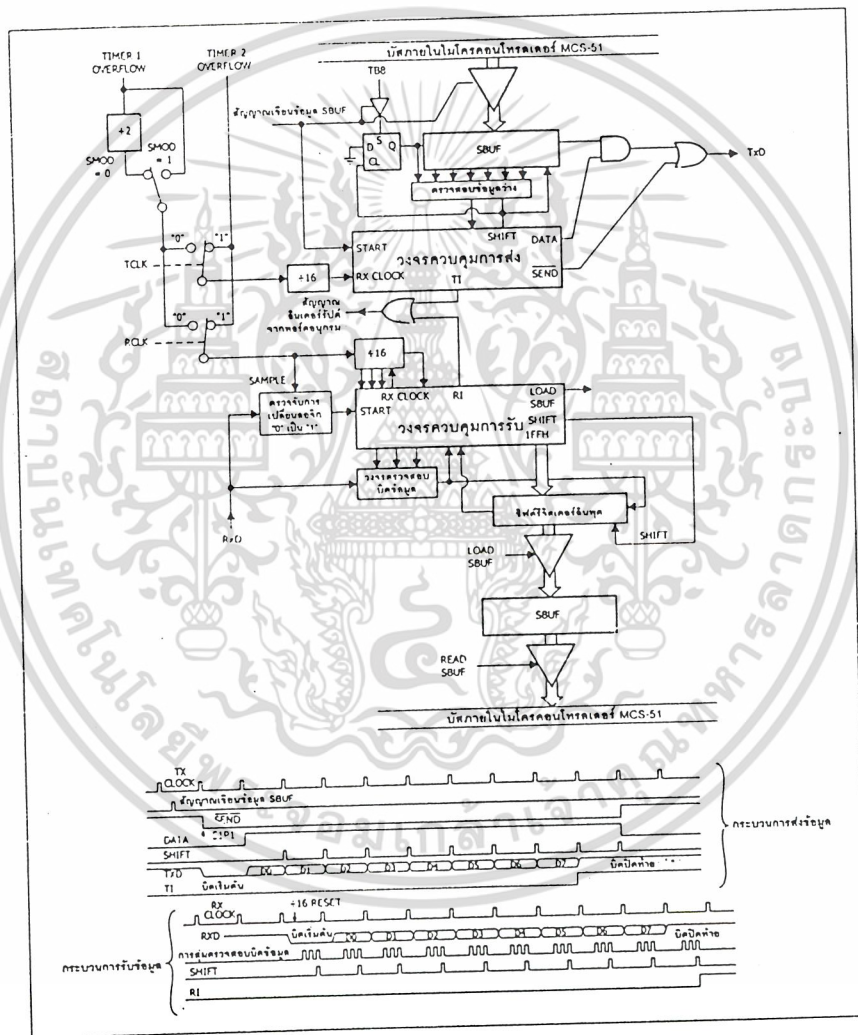
อัตราบอด = อัตรา overflow ของ timer 2/16 หน่วยเป็น bit/sec

ถ้ากำหนดให้ timer 2 ทำงานในโหมดปกติ สามารถคำนวณหาอัตราบอดได้จาก

อัตราบอด = ความถี่ของสัญญาณนาฬิกา / (32 \* (65535 - (RCAP2H, RCAP2L)))

โดยที่ (RCAP2H, RCAP2L) เป็นค่าของรีจิสเตอร์ RCAP2H และ RCAP2L มีขนาด 16 บิต

ไม่คิดเครื่องหมาย



รูปที่ 2.14 ไคอะแกรมการทำงานในโหมด 1

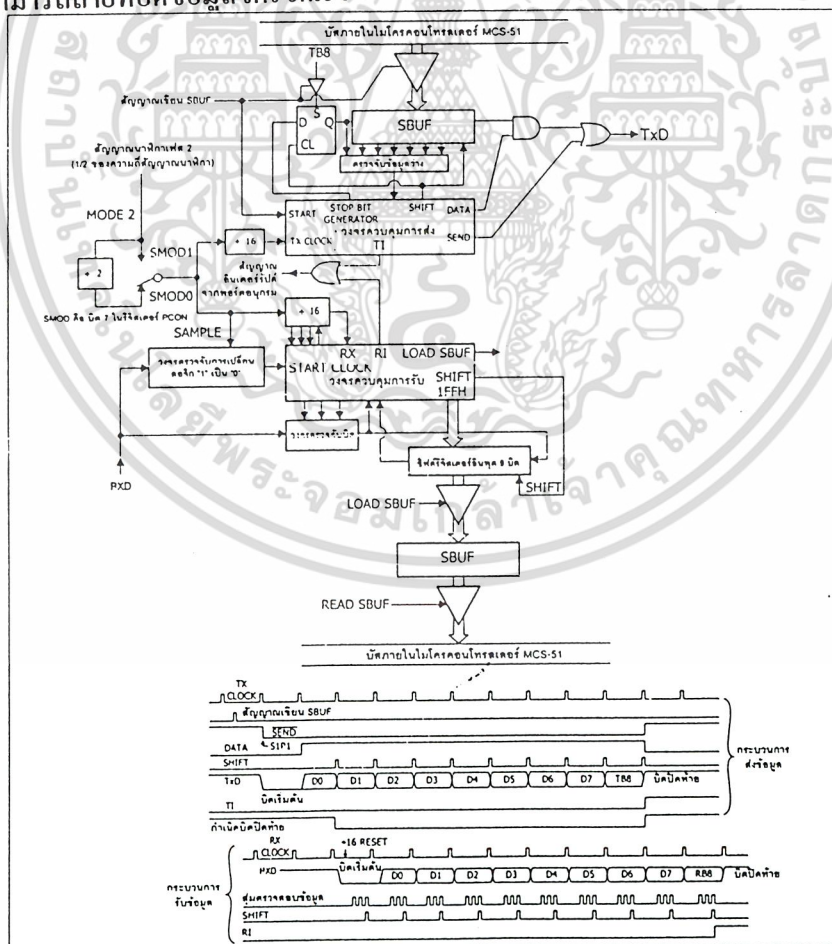
### 2.2.14 โหมด 2

ในโหมดนี้ อัตราบอดจะขึ้นอยู่กับค่าของบิต SMOD ในรีจิสเตอร์ PCON เป็น 0 อัตราบอดจะเท่ากับ 1/64 ของความถี่สัญญาณนาฬิกา ในกรณีที่ SMOD เป็น 1 อัตราบอดจะเท่ากับ 1/32 ของความถี่สัญญาณนาฬิกาสามารถแสดงเป็นสูตร คำนวณทางคณิตศาสตร์ได้ดังนี้

$$\text{อัตราบอด} = (2 \text{ ยกกำลังของบิต SMOD} / 64) * \text{ความถี่สัญญาณนาฬิกา}$$

### 2.2.15 การกำหนดค่าของ Timer เพื่อเลือกอัตราบอด

ในการใช้งานพอร์ตอนุกรมของ microcontroller MCS-51 สิ่งที่ต้องให้ความสนใจมากที่สุดประการหนึ่งคือ อัตราการถ่ายข้อมูล หรือ อัตราบอด ซึ่งการกำหนดอัตราบอดนั้นจะขึ้นอยู่กับค่าความถี่ของสัญญาณนาฬิกา เป็นหลัก สำหรับโหมดการทำงานของพอร์ตอนุกรมที่สามารถเลือกอัตราบอดได้อย่างอิสระคือ โหมด 1 และ 3 โดยกำหนดได้จากอัตราการเกิด over flow ในอัตราที่สูงมากเท่าใด อัตราบอดก็จะมีค่าสูงมากขึ้นตามไปด้วย นั่นหมายความว่า อัตราในการถ่ายทอดข้อมูลจะสูงมากสามารถถ่ายทอดข้อมูลได้รวดเร็ว



รูปที่ 2.15 ไคอะแกรมการทำงานใน โหมด 2

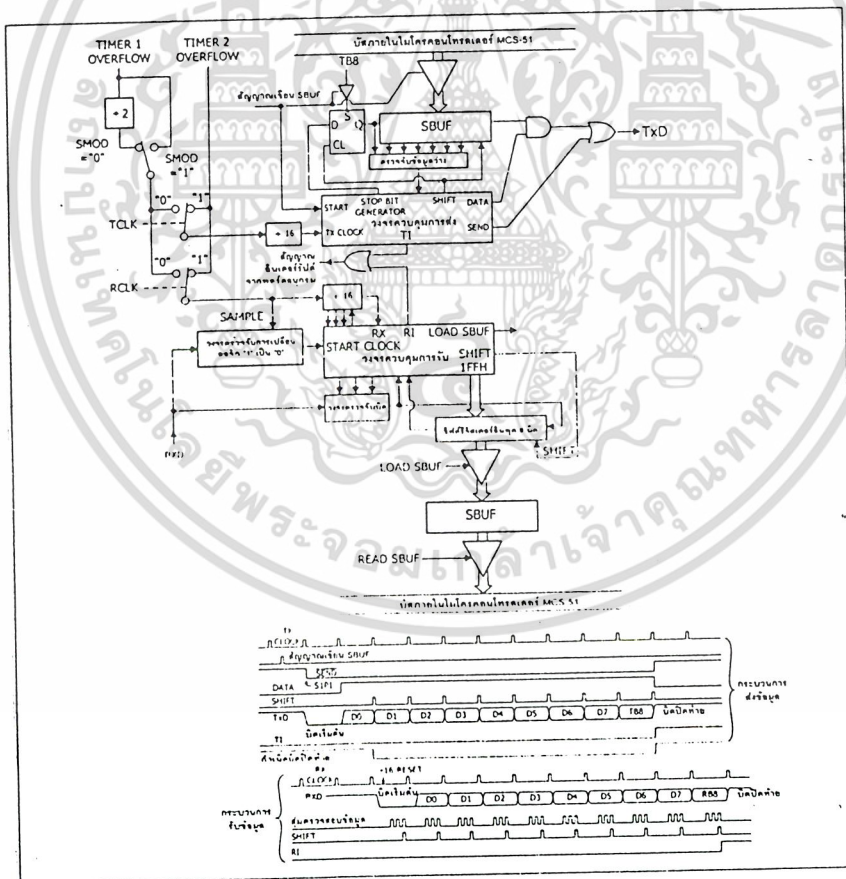
ในการใช้ timer 1 เพื่อกำหนดอัตราบอดในโหมด 1 และ 3 ของพอร์ตอนุกรมจะต้องกำหนดให้ timer 1 ทำงานในโหมด 8 บิต แบบตั้งค่าอัตโนมัติ และการกำหนดค่ารีโหลดให้แก่รีจิสเตอร์ TH1 จึงเป็นตัวแปรหลักในการกำหนดอัตราบอดให้แก่พอร์ตอนุกรมของ microcontroller MCS-51

เริ่มต้นด้วยการ clear บิต SMOD ซึ่งเป็นบิต 7 ของรีจิสเตอร์ PCON ให้เป็น 0 ค่าของการรีโหลดให้แก่ TH1 สามารถคำนวณได้จาก

$$TH1 = 256 - ((\text{ค่าความถี่ของคริสตอล}/384)/\text{อัตราบอด})$$

แต่ถ้าบิต SMOD เกิดการเซต จะเป็นการ Enable การทวีคูณของอัตราบอด ดังนั้นการกำหนดค่าให้แก่ TH1 จึงต้องคำนวณจาก

$$TH1 = 256 - ((\text{ค่าความถี่ของคริสตอล}/192)/\text{อัตราบอด})$$



รูปที่ 2.16 ไคอะแกรมการทำงานในโหมด 3

ยกตัวอย่าง ถ้าหากใน microcontroller AT89C51 ใช้คริสตอล 11.0592 MHz ต้องการกำหนดอัตราบอด ของพอร์ตอนุกรมของ microcontroller ไว้ที่ 19,200 bit/sec ในกรณีที่ไม่ Enable การทวิคูณของอัตราบอด ค่ารีโหลดของ microcontroller จะเท่ากับ

$$\begin{aligned} TH1 &= 256 - ((\text{ความถี่ของคริสตอล}/384)/\text{อัตราบอด}) \\ &= 256 - ((11059200/384)/19200) \\ &= 254.5 \end{aligned}$$

เนื่องจากผลลัพธ์ที่ได้เป็นค่าที่ไม่ใช่จำนวนเต็ม ถ้าหากกำหนดค่าของ TH1 เป็น 254 เมื่อทำการแทนค่าเพื่อคำนวณหาอัตราบอด จะได้อัตราบอดเท่ากับ 14,400 bit/sec และถ้าหากกำหนดค่าของ TH1 ของ 255 อัตราบอดจะมีค่าเท่ากับ 28,800 bit/sec ดังนั้นจะเห็นได้ว่าค่าของ TH1 ที่ไม่เป็นจำนวนเต็มจะไม่สามารถทำให้เกิดอัตราบอดตามที่ต้องการ

ทางแก้ไขคือ ให้ทำการ Enable การทวิคูณค่าอัตราบอด โดยการเซตบิต SMOD ในรีจิสเตอร์ PCON ให้เป็น 1 จากนั้นแทนค่าลงในสมการหาค่า TH1 เมื่อมีการเซตบิต SMOD ได้ผลดังนี้

$$\begin{aligned} TH1 &= 256 - ((\text{ค่าความถี่ของคริสตอล}/192)/\text{อัตราบอด}) \\ &= 256 - ((11059200/192)/19200) \\ &= 253 \end{aligned}$$

นำค่า TH1 ที่ได้ทำการแทนค่าคำนวณหาอัตราบอดจะได้เท่ากับ 19,200 bit/sec สามารถสรุปขั้นตอนในการเลือกอัตราบอดโดยการกำหนดค่าของ timer 1 ได้ดังนี้

อัตราบอด (บิตต่อวินาที : bps)	ความถี่ สัญญาณนาฬิกา	SMOD	โหมด 1		
			C/T	โหมด	ค่ารีโหลด
โหมด 0 : สูงสุด 1 MHz	12 MHz	X	X	X	X
โหมด 2 : สูงสุด 375K	12 MHz	1	X	X	X
โหมด 1,3 : 62.5K	12 MHz	1	0	2	FFH
19.2K (19,200)	11.0592 MHz	1	0	2	FDH
9.6K (9,600)	11.0592 MHz	0	0	2	FDH
4.8K (4,800)	11.0592 MHz	0	0	2	FAH
2.4K (2,400)	11.0592 MHz	0	0	2	F4H
1.2K (1,200)	11.0592 MHz	0	0	2	E8H
137.5	11.0592 MHz	0	0	2	1DH
110	6 MHz	0	0	2	72H
110	12 MHz	0	0	1	FE8H

รูปที่ 2.17 ตารางการเลือกอัตราบอดของวงจรถ่ายอนุกรม

1. กำหนดให้พอร์ตอนุกรมของ microcontroller MCS 51 ทำงานในโหมด 1 และ 3
2. กำหนดให้ timer 1 ทำงานในโหมด 2 หรือ โหมด 8 บิต ตั้งค่าอัตราโนมิตี
3. กำหนดข้อมูลให้แก่ TH1 เท่ากับ 253 เพื่อให้สามารถกำเนิดอัตราบอดได้ 19,200 bit/sec ตามต้องการ
4. ทำการเซตบิต SMOD ซึ่งเป็นบิต 7 ของรีจิสเตอร์ PCON เพื่อ Enable การทวีคูณอัตราบอด

### 2.2.16 การเขียนหรือส่งข้อมูลออกจากพอร์ตอนุกรม

ข้อมูลที่ต้องการส่งออกทุกค่าต้องนำไปเก็บไว้ใน รีจิสเตอร์บัฟเฟอร์ ของพอร์ตอนุกรม ซึ่งก็คือ รีจิสเตอร์ SBUF ดังตัวอย่าง

```
MOV SBUF,#'A'
```

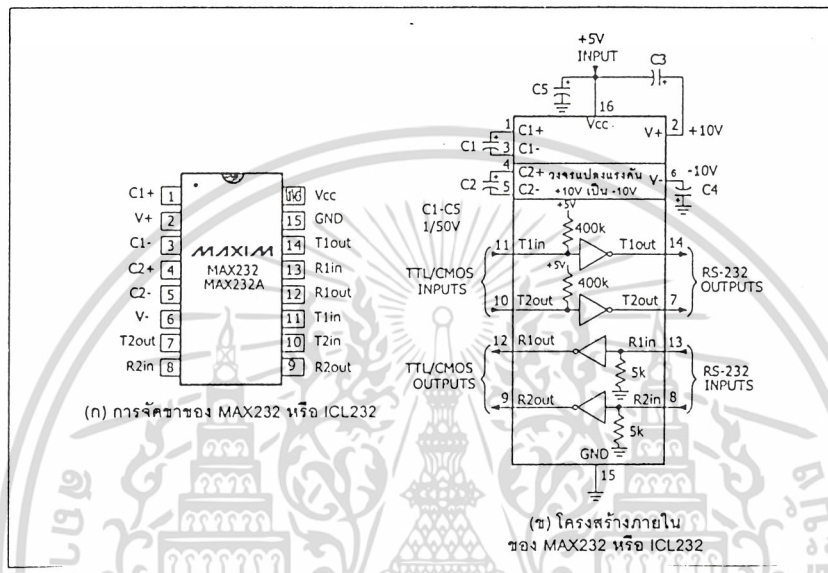
จากคำสั่งข้างต้นเป็นการส่งข้อมูลของตัวอักษร A ออกไปยังพอร์ตอนุกรมของ microcontroller อย่างไรก็ดีตามก่อนทำการส่งข้อมูลทุกครั้ง ต้องแน่ใจว่าบิต T1 clear หรือว่ามีค่า 0 และเมื่อทำการส่งข้อมูลเรียบร้อยแล้ว จะเกิดการเซตบิต T1 เพื่อแจ้งให้ทราบ ดังตัวอย่าง โปรแกรมต่อไปนี้

```
CLR RI ; clear ค่าบิต T1 เพื่อเตรียมการส่งข้อมูลออก
JNB RI,$ ; รอคอยการเซตของบิต RI อันเป็นการแจ้งให้ทราบว่า การรับ
; ข้อมูลเสร็จสมบูรณ์ และมีข้อมูลเกิดขึ้นที่รีจิสเตอร์ SBUF
MOV A,SBUF ; อ่านค่าจากรีจิสเตอร์ โดยการ โอนย้ายข้อมูลผ่านทางรีจิสเตอร์A
CLR RI ; หลังจากการทำกรอ่านข้อมูลเรียบร้อยแล้ว ต้องทำการ clear bit
; RI เสมอ
```

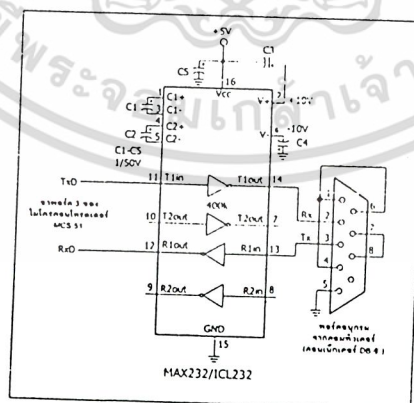
### 2.2.17 การเชื่อมต่อกับพอร์ตอนุกรมของคอมพิวเตอร์

การใช้งานวงจรพอร์ตอนุกรมของ microcontroller MCS-51 มักนิยมใช้ในการติดต่อแลกเปลี่ยนข้อมูลกับคอมพิวเตอร์ผ่านทางพอร์ตอนุกรมในมาตรฐาน RS-232 เป็นส่วนใหญ่ แต่เนื่องจากระดับสัญญาณของพอร์ตอนุกรม RS-232 มีระดับตั้งแต่ +3,-3 ถึง +12,-12 ในขณะที่ระดับ

สัญญาณของ microcontroller MCS-51 อยู่ในระดับ TTL ดังนั้นจึงไม่สามารถเชื่อมต่อกับพอร์ต  
 อนุกรม microcontroller MCS-51 เข้ากับพอร์ตอนุกรมของคอมพิวเตอร์ได้โดยตรง จึงต้องอาศัยการ  
 เชื่อมต่อผ่าน ไอซีพิเศษที่ทำหน้าที่ในการแปลงสัญญาณ



รูปที่ 2.18 รายละเอียดเบื้องต้น ของ ไอซีแปลงแปลงสัญญาณเพื่อเชื่อมกับพอร์ตอนุกรมของ  
 คอมพิวเตอร์



รูปที่ 2.19 วงจรเชื่อมต่อ MAX232 เข้ากับพอร์ตอนุกรมของคอมพิวเตอร์และ MCS-51

เอกสารนี้เป็นเอกสารที่สงวนไว้สำหรับการใช้งานเพื่อการศึกษาเท่านั้น ไม่อนุญาตให้นำไปใช้ประโยชน์ด้านการค้า  
 ไม่ว่ากรณีใดๆ ทั้งสิ้น อีกทั้งห้ามมิให้ดัดแปลงเนื้อหา และต้องอ้างอิงถึงเจ้าของเอกสารทุกครั้งที่มีการนำไปใช้

ไอซีที่ทำหน้าที่ในการแปลงระดับสัญญาณนี้ต้องการแปลงข้อมูลส่งของ microcontroller MCS-51 จากระดับ TTL ไปเป็นระดับ RS-232 และทำการแปลงข้อมูลรับจาก คอมพิวเตอร์จากระดับของ RS-232 เป็นระดับ TTL เพื่อให้สามารถถ่ายทอดไปให้ microcontroller MCS-51 ได้อย่างสมบูรณ์ ไอซีดังกล่าวมีด้วยกันหลายเบอร์จากหลายผู้ผลิต อาทิ MAX232 จาก MAXIM



### บทที่ 3

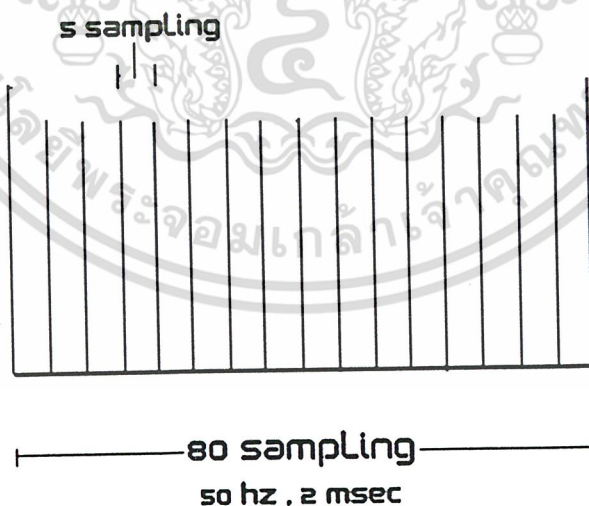
#### การออกแบบโครงงาน

##### 3.1 หุ่นยนต์

ในขั้นตอนแรกของโครงงาน เราได้ทำการออกแบบตัวหุ่น เกี่ยวกับรูปแบบการเคลื่อนที่ของหุ่น การดึงบอลเข้ามา การใช้มอเตอร์ที่เหมาะสม ต่อมาได้ทำการออกแบบวงจรที่ต้องการ เมื่อได้บทสรุปแล้ว เราก็ได้ทำการต่อวงจรขึ้นมา ต่อมาได้ทำการออกแบบตัวหุ่นยนต์เกี่ยวกับรูปทรง โดยส่วนลื้อทำจากพลาสติกและนำโรเตอร์ซึ่งเป็นล้อขนาดเล็กมาต่อซึ่งทำให้ช่วยในการเคลื่อนที่ได้ดีขึ้น และนำส่วนต่างๆมาประกอบกัน

ในส่วนของโปรแกรม แบ่งออกเป็น 2 ส่วน คือ โปรแกรมส่วนคอนโทรลเลอร์ และโปรแกรมส่วนของVB ที่ใช้ในการควบคุมผ่านเครื่องคอมพิวเตอร์ โดยจะอธิบายดังนี้

- โปรแกรมในส่วนคอนโทรลเลอร์จะใช้ภาษาCสำหรับไมโครคอนโทรลเลอร์ในการเขียน ดังรูป โดยโปรแกรมจะใช้ความถี่ 500 Hz คือเท่ากับเวลา 1 ใน 500 หรือ 2 มิลลิวินาที เราได้ทำให้ภายใน 25 microsecond จะเกิดสัญญาณ sampling ขึ้นมา 1 ครั้งดังนั้นจะเกิดสัญญาณ sampling ขึ้นมา 80 ครั้ง เราต้องการความเร็วทั้งหมด 16 ระดับ เพราะฉะนั้น ใน 1 ระดับจะมีสัญญาณ 5 sampling โดยจะแสดงดังรูปต่อไปนี้



รูปที่ 3.1รูป สัญญาณ sampling ทั้งหมดถูกแบ่งออก 16 pulse เท่าๆกัน

เมื่อได้ pulse มาแล้ว การขับเคลื่อนมอเตอร์เราได้จัดให้มีทั้งหมด 16 gears โดยจะแสดง  
รูปการขับเคลื่อน โดยแบ่งเป็นเกียร์ ต่างๆดังนี้

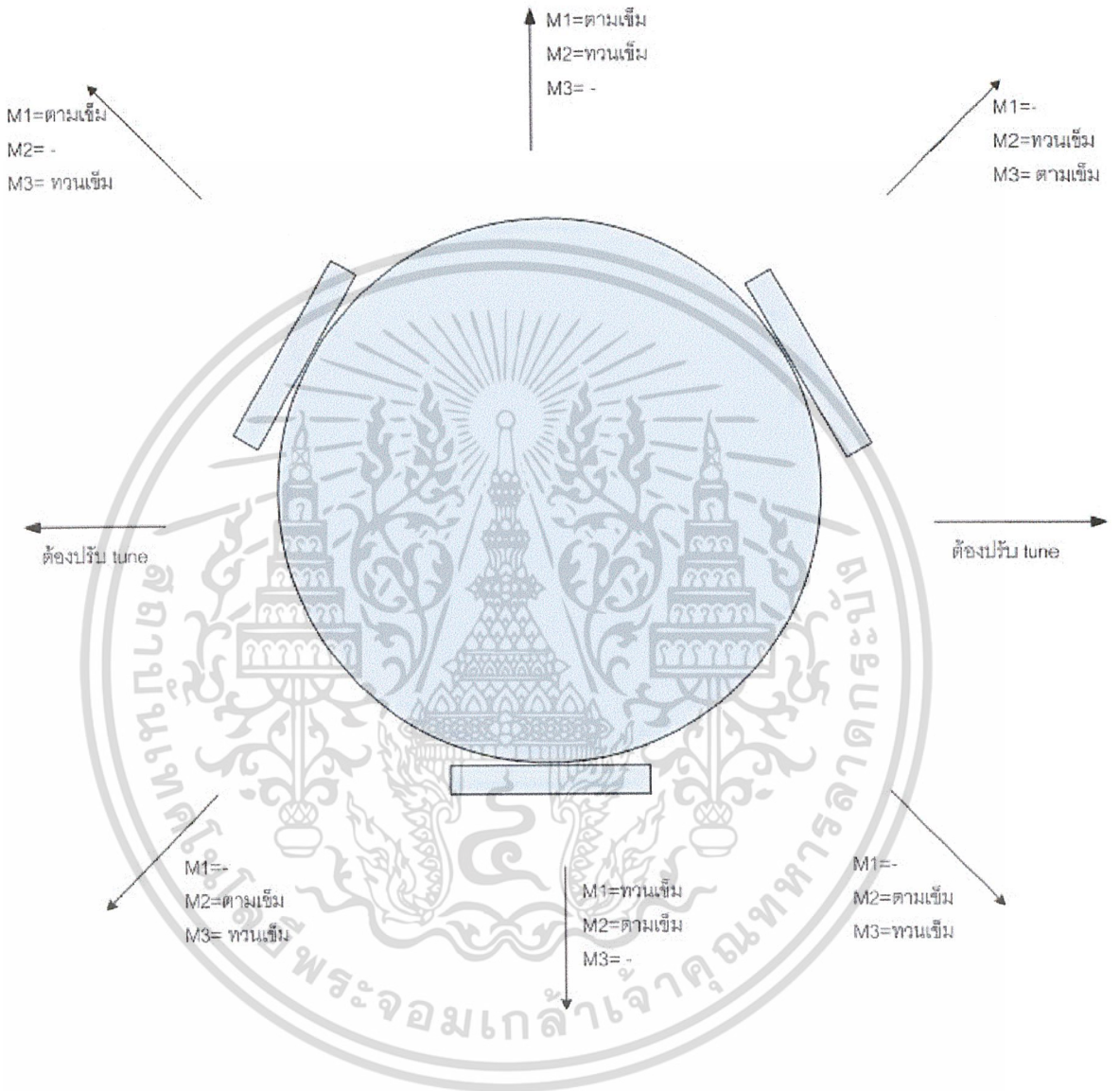


รูปที่ 3.2 รูป การขับเคลื่อน โดยใช้ pulse 1 pulse ในการขับเคลื่อน โดยให้เป็นเกียร์ 1



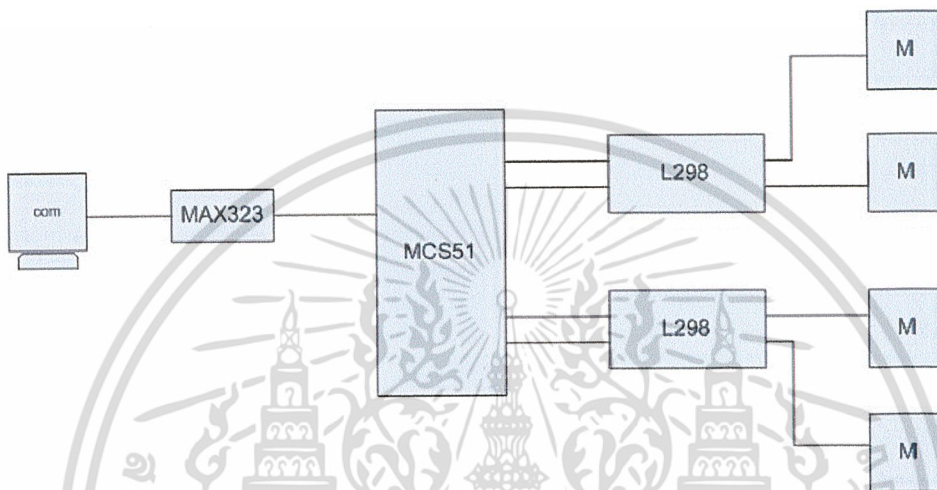
รูปที่ 3.3 รูปการใช้ pulse 5 pulse ให้เป็นเกียร์ 5

### 3.1.1 หลักการเคลื่อนที่ของหุ่นยนต์



รูปที่ 3.4 รูปการหมุนของมอเตอร์ ในทิศทางของหุ่นยนต์ทิศต่างๆ โดย m1=มอเตอร์บนขวา m2=มอเตอร์บนซ้าย m3=มอเตอร์ตัวล่าง

ลักษณะของวงจรที่ใช้ภายในตัวหุ่นยนต์มีลักษณะดังรูป โดยจะทำการติดต่อจากคอมพิวเตอร์ผ่านทาง serial port เข้ามายัง MAX323 และผ่านต่อไปยัง ไมโครคอนโทรลเลอร์ MCS51 หลังจากนั้นมันจะไปคอนโทรลมอเตอร์ผ่านทาง ไอซี L298 ตามลำดับ

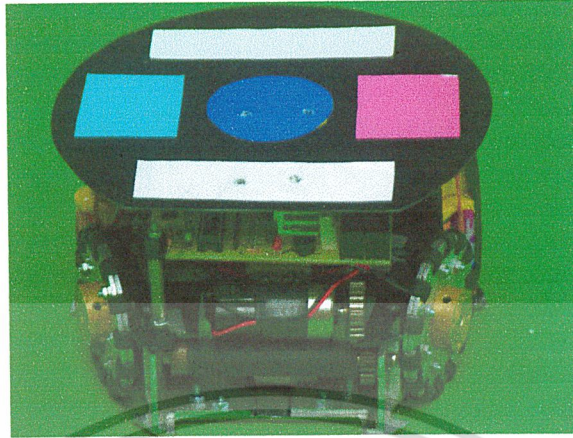


รูปที่ 3.5 ลักษณะวงจรของหุ่นยนต์

### 3.1.2 ลักษณะของหุ่นยนต์

รูปร่าง

- หุ่นยนต์ต้องสามารถบรรจุลงในทรงกระบอกขนาดเส้นผ่านศูนย์กลาง 18 เซนติเมตรได้
  - ถ้าหุ่นยนต์ไม่ได้ติดกล้องที่ตัวหุ่นยนต์ หุ่นยนต์ต้องสูงไม่เกิน 15 เซนติเมตร
- สี และ สัญลักษณ์
- การแข่งขันแบ่งออกเป็นสองฝ่าย โดยแบ่งเป็นฝ่ายสีเหลือง และ ฝ่ายสีน้ำเงิน โดยที่ฝ่ายสีเหลืองต้องยิงประตูสีเหลือง และ ฝ่ายสีน้ำเงินต้องยิงประตูสีน้ำเงิน
  - หุ่นยนต์ฝ่ายสีเหลือง และ ฝ่ายสีน้ำเงิน จะถูกติดตั้งสัญลักษณ์วงกลมขนาดเส้นผ่านศูนย์กลาง 4 เซนติเมตรที่มีสีของฝ่ายตนเอง ในตำแหน่งที่มองเห็นได้จากด้านบน
  - หุ่นยนต์สามารถใช้สีขาว สีดำ ได้ไม่จำกัด
  - หุ่นยนต์สามารถใช้สีอื่น ๆ ที่ได้รับอนุญาตจากกรรมการได้
- ตัวอย่างสีที่ได้รับอนุญาตจะพิมพ์บนกระดาษแข็งและแจกให้ผู้แข่งขันล่วงหน้า

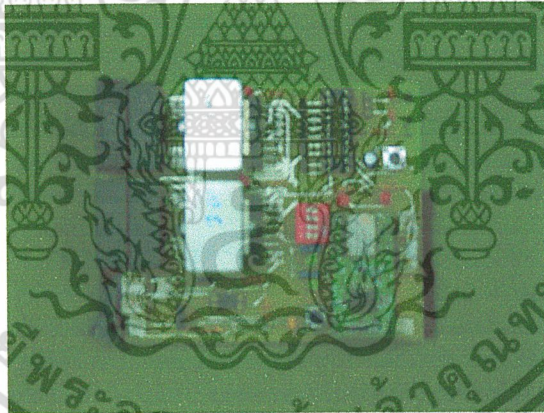


รูปที่ 3.6 แสดงส่วนประกอบทั้งหมดของหุ่น

ส่วนประกอบหลักๆของ board ประกอบด้วย

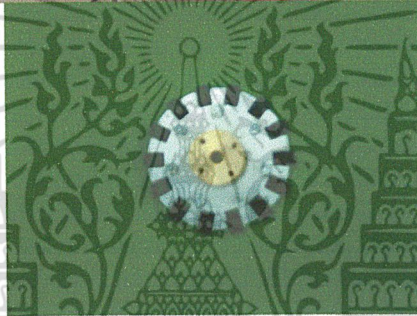
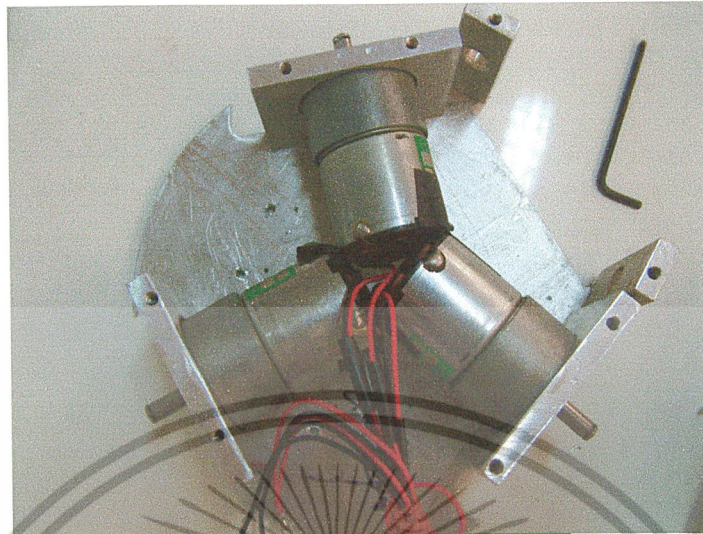
1. MCS-51
2. IC สำเร็จรูปสำหรับการส่งแบบไร้สาย

IC สำเร็จรูป L298



รูปที่ 3.7 แสดงส่วนประกอบของวงจรที่ใช้

ล้อที่ใช้จะเป็นแบบ omni-direction เพื่อการเคลื่อนที่ ที่เป็นอิสระ โดยที่หุ่น 1 ตัวมีล้อทั้งหมด 3 ล้อ โดยที่แต่ละล้อจะวางห่างกันเป็นมุม 120 องศา



รูปที่ 3.8 แสดงส่วนของล้อแบบ omni-direction และตำแหน่งการวาง motor

### 3.1.3 Protocol

Protocol ที่ใช้ส่งข้อมูลจากคอมพิวเตอร์ ไปยังตัวหุ่นยนต์นั้น มีลักษณะดังนี้

← id →

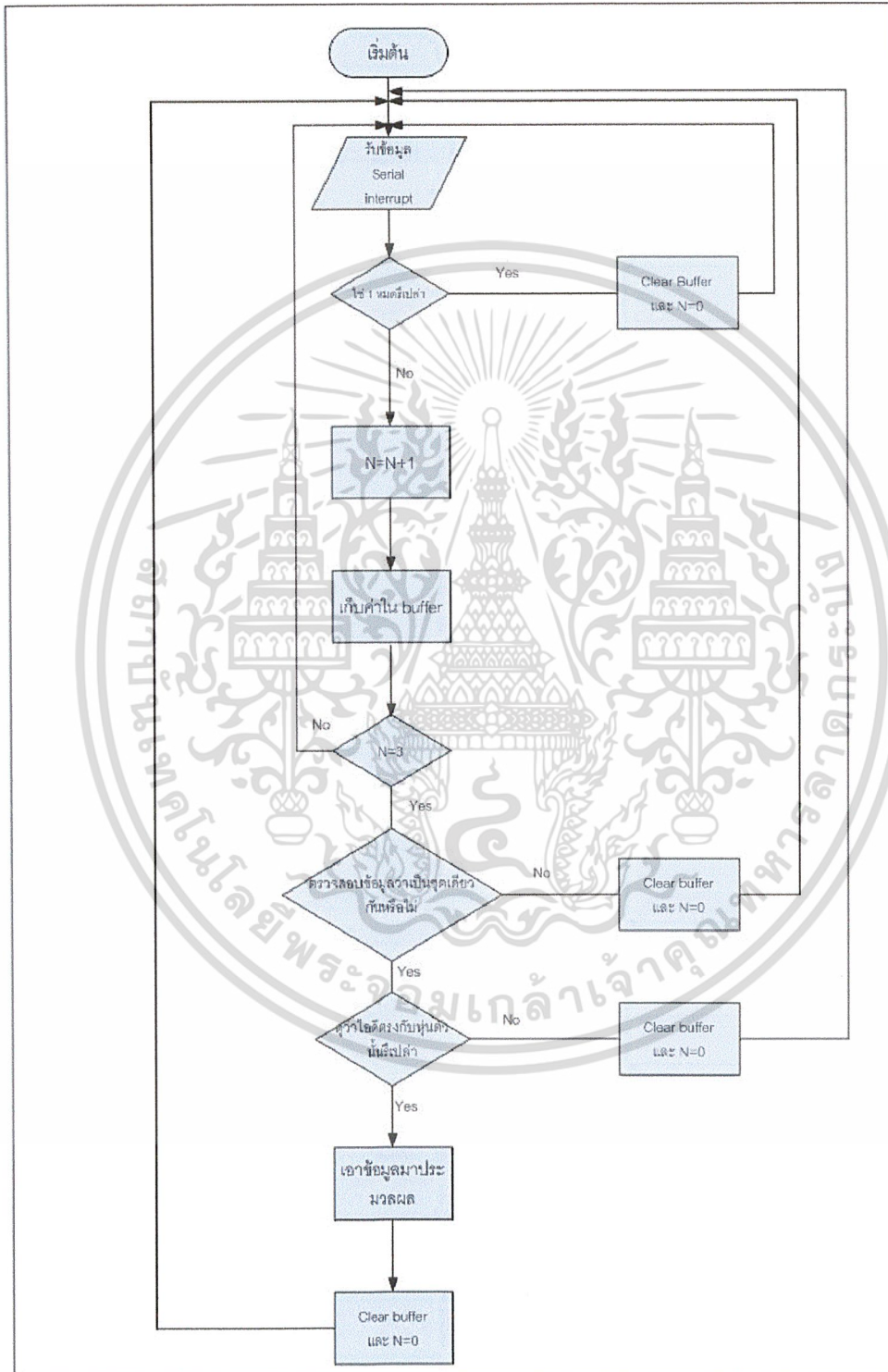
				d1	d2	d3	dribble
V1				V2			
V3				Shoot	id	id	id
1111				1111			

รูปที่ 3.9 แสดง protocol ที่ใช้ในการติดต่อหุ่นยนต์

จากรูป bit แรกจะเป็นพรีบิต ซึ่งไม่ได้นำมาใช้ ส่วน 3 bit ต่อมา จะเป็น bit ที่บ่งบอกถึงหมายเลขของหุ่นยนต์ และ 3 bit ถัดมาที่เป็น d1,d2,d3 เป็นบิตที่บอกว่าสื่อหมายเลขอะไรที่จะให้หุ่นบ้าง v1,v2,v3 คือความเร็วของล้อแต่ละล้อ bit shoot เป็น bit ที่ใช้บอกว่าจะให้ยิงรีเพล่า และทำการส่ง id ของหุ่นยนต์เพื่อยืนยันอีกครั้ง และปิดด้วย bit ที่เป็น 1 หหมด

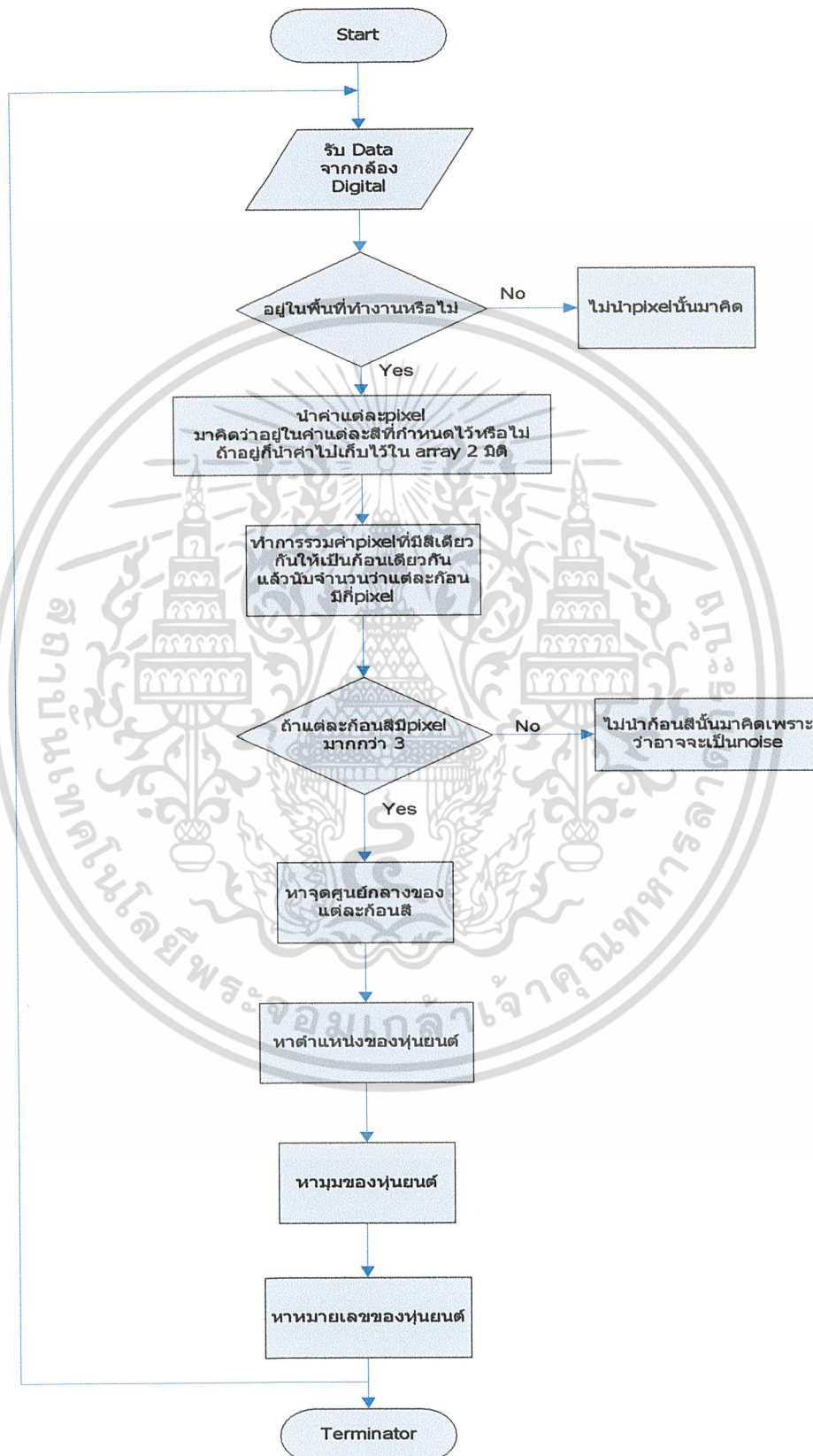


Flow Chart แสดงอัลกอริทึมในกระบวนการของ robot



เอกสารนี้เป็นเอกสารที่สงวนไว้สำหรับการใช้งานเพื่อการศึกษาเท่านั้น ไม่อนุญาตให้นำไปใช้ประโยชน์ด้านการค้า ไม่ว่าจะกรณีใดๆ ทั้งสิ้น อีกทั้งห้ามมิให้ดัดแปลงเนื้อหา และต้องอ้างอิงถึงเจ้าของเอกสารทุกครั้งที่มีการนำไปใช้

## Flow Chart แสดงอัลกอริทึมในกระบวนการ Image Processing



## บทที่ 4

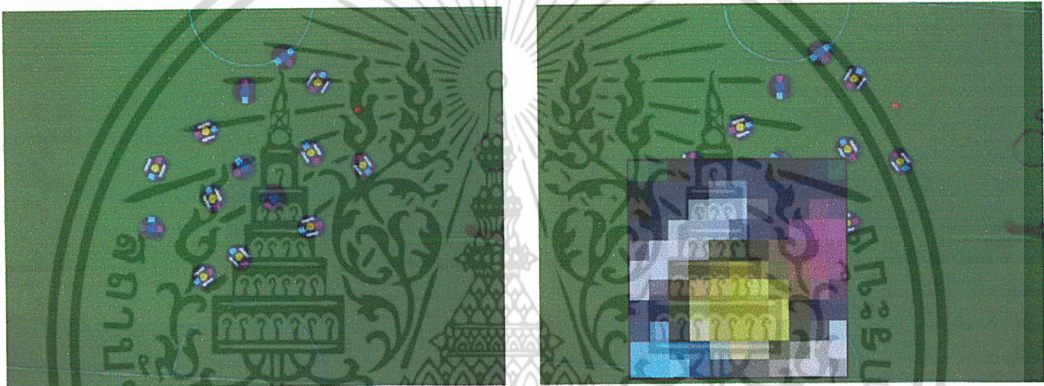
### การทดลอง

#### 4.1 Image Processing

ขั้นตอนของกระบวนการ Image Processing ประกอบด้วย

- ขั้นแรกเป็นการนำภาพที่รับมาจากกล้อง Digital มา ซึ่งภาพที่รับเข้ามาจะเป็นภาพใน RGB Model ซึ่งการต้องนำมาแปลงให้อยู่ใน HSI Model

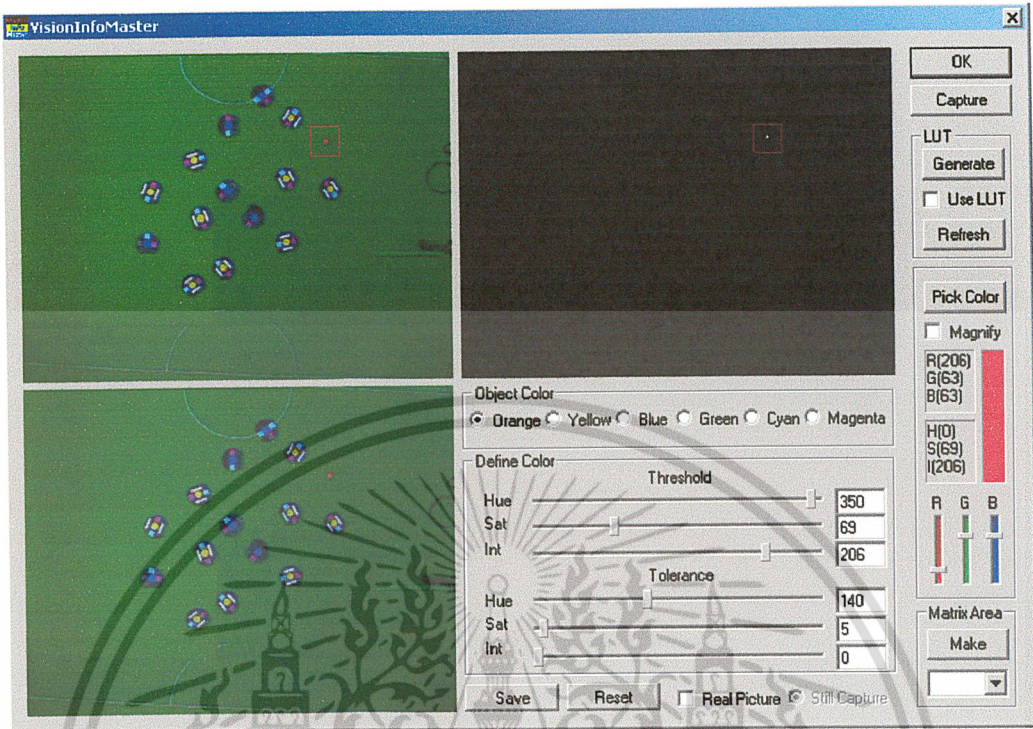
- ต่อมาในส่วนของการกำหนดค่าของแต่ละสีที่ใช้เนื่องจากว่าค่าสีที่ได้รับมาจากกล้องสีที่ "ได้ไม่ได้" เป็นสีเดียวกันต้องมีการกำหนดค่าช่วงของค่าสีที่ยอมรับได้



รูปที่ 4.1 แสดงส่วนขยาย

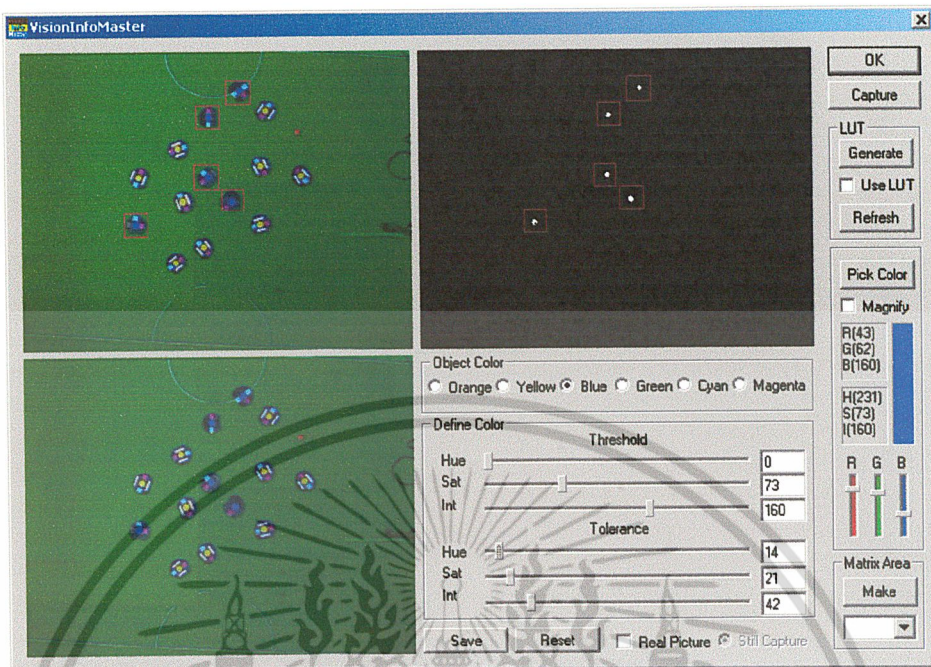
ดังรูปแสดงให้เห็นว่าเมื่อให้ขยายภาพออกมาจะเห็นว่าสีเหลืองที่เห็นจะไม่ได้เป็นสีเหลืองเดียวกันหมด และสีอื่นๆด้วย เพราะฉะนั้นการที่จะกำหนดค่าจะกำหนดแบบตายตัวไม่ได้ต้องกำหนดเป็นช่วง ส่วนสีที่ใช้ในการคำนวณมีด้วยกัน 5 สีด้วยกันคือ

1. สีส้ม เป็นสีของลูกบอล
2. สีเหลือง เป็นสีที่ใช้ในการแบ่งฝ่าย
3. สีน้ำเงิน เป็นสีที่ใช้ในการแบ่งฝ่าย
4. สีม่วง เป็นสีที่ใช้ในการหามุมของหุ่นยนต์
5. สีฟ้า เป็นสีที่ใช้ในการหาหมายเลขของหุ่นยนต์

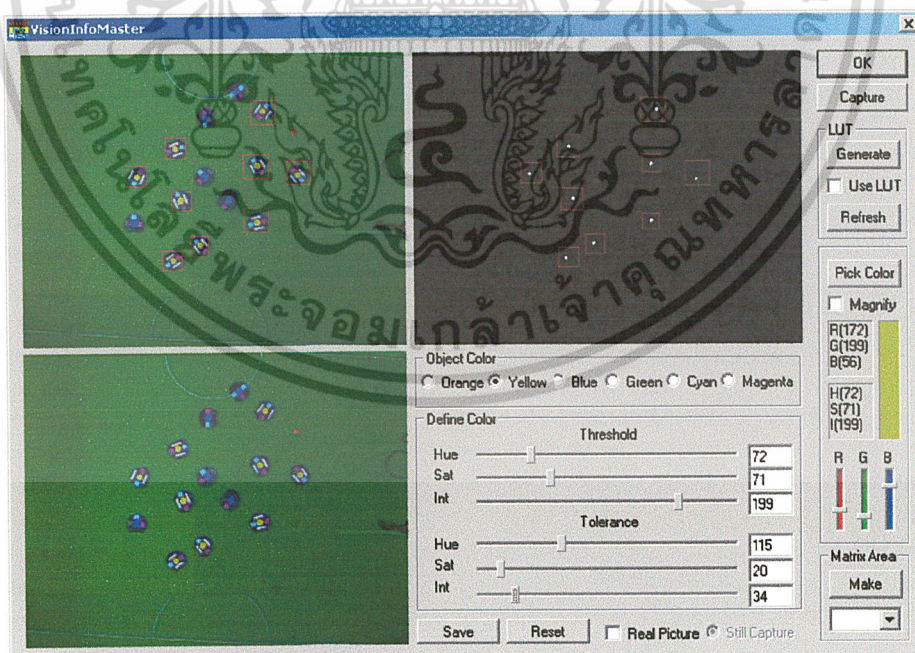


รูปที่ 4.2 การกำหนดสี

ภาพนี้เป็นารแสดงการกำหนดค่าของสีส้มซึ่งเป็นสีของลูกบอลที่ใช้ ในพื้นที่ที่เป็นสี  
 ดำแสดงให้เห็นว่าค่าที่เราเลือกมานี้ตรงกับค่า จุด 1 ในรูป จากค่าที่ได้แสดงให้เห็นค่า  
 Threshold ของสีส้ม โดยมีค่า Hue = 350, Saturation = 69, Intensity = 206 และค่า Tolerance ของสี  
 ส้ม โดยมีค่า Hue = 140, Saturation = 5, Intensity = 0 จากค่าที่ได้ทั้งหมดนี้เราสามารถสรุปได้ว่า  
 ช่วงของค่าสีส้มคือค่า Hue ที่มีค่าตั้งแต่ 210 – 490 และ ค่า Saturation ที่มีค่าตั้งแต่ 64 – 74 และค่า  
 Intensity ที่มีค่าตั้งแต่ 206 – 206

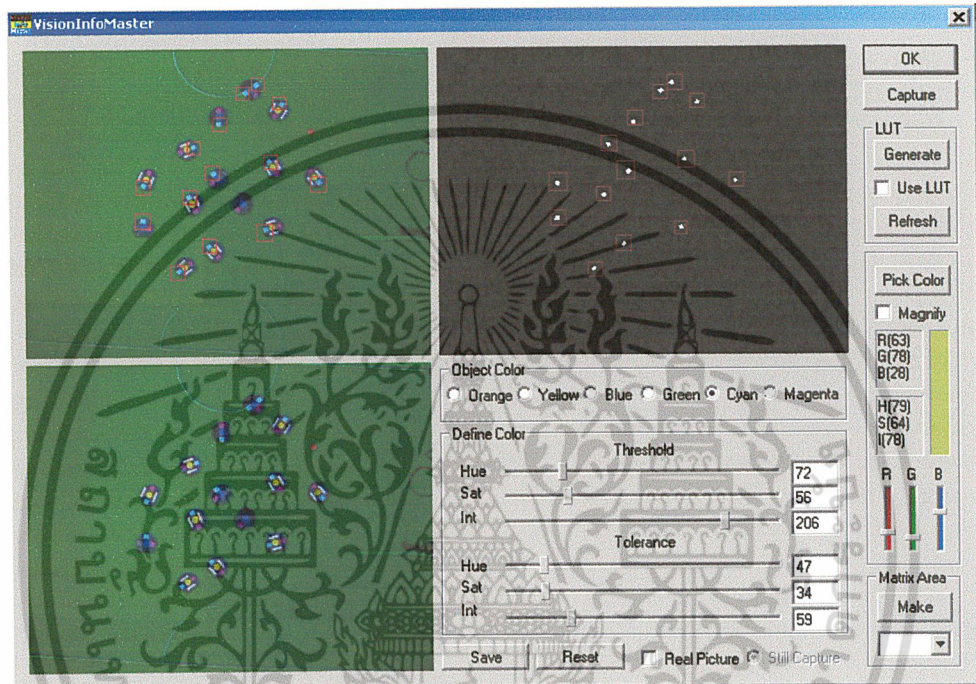


รูปที่ 4.3 แสดงการกำหนดค่าสีน้ำเงิน  
ภาพแสดงการกำหนดค่าสีน้ำเงินโดยมีค่า Hue = -14 ถึง 14, Saturation = 52 ถึง 94, Intensity = 118 ถึง 202



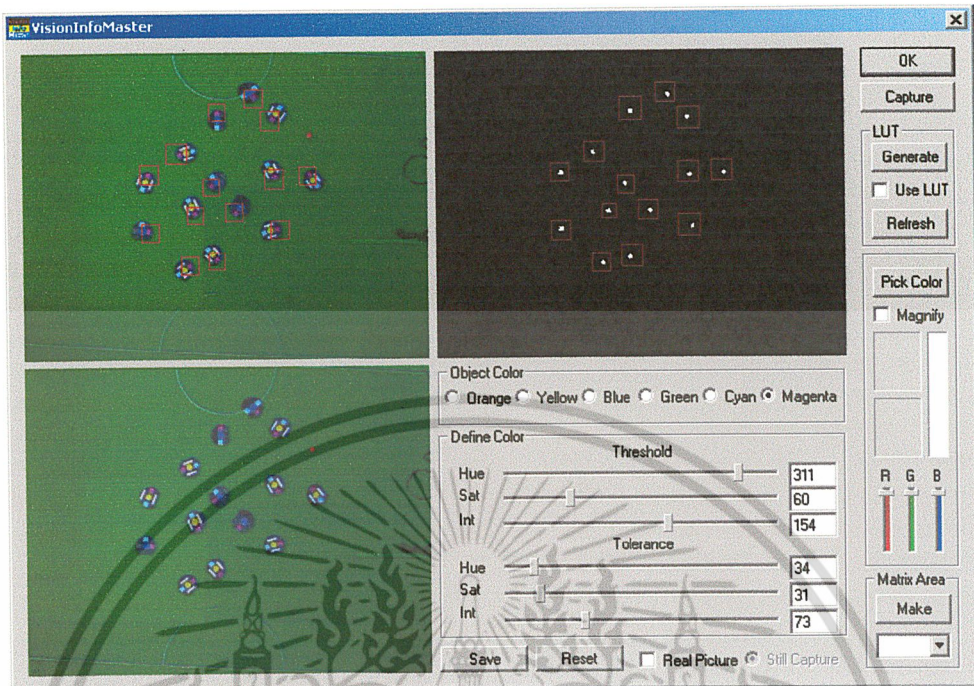
รูปที่ 4.4 แสดงการกำหนดสีเหลือง

ภาพแสดงการกำหนดค่าสีเหลือง โดยมีค่า Hue = -43 ถึง 187, Saturation = 51 ถึง 91, Intensity = 165 ถึง 233



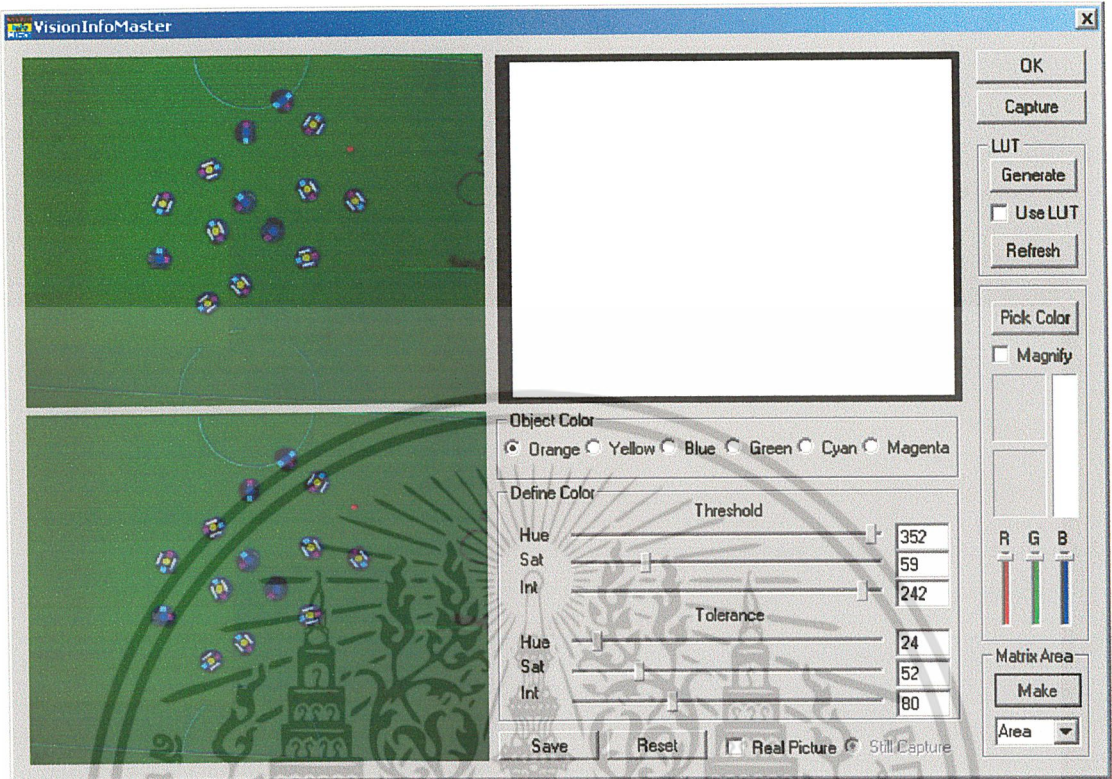
รูปที่ 4.5 ภาพแสดงการกำหนดค่าสีฟ้า โดยมีค่า Hue = 25 ถึง 119, Saturation = 32 ถึง 90, Intensity = 147 ถึง 265

เอกสารนี้เป็นเอกสารที่สงวนไว้สำหรับการใช้งานเพื่อการศึกษาเท่านั้น ไม่อนุญาตให้นำไปใช้ประโยชน์ด้านการค้า ไม่ว่าจะกรณีใดๆ ทั้งสิ้น อีกทั้งห้ามมิให้ดัดแปลงเนื้อหา และต้องอ้างอิงถึงเจ้าของเอกสารทุกครั้งที่มีการนำไปใช้



รูปที่ 4.6 ภาพแสดงการกำหนดค่าสีม่วง โดยมีค่า Hue = 277 ถึง 345, Saturation = 29 ถึง 91, Intensity = 81 ถึง 227

- ขั้นตอนที่เราต้องกำหนดพื้นที่ของการทำงานของโปรแกรมเพราะว่าในบางครั้งบริเวณขอบของภาพอาจมีสิ่งรบกวนได้ทำให้การคำนวณผิดพลาดได้

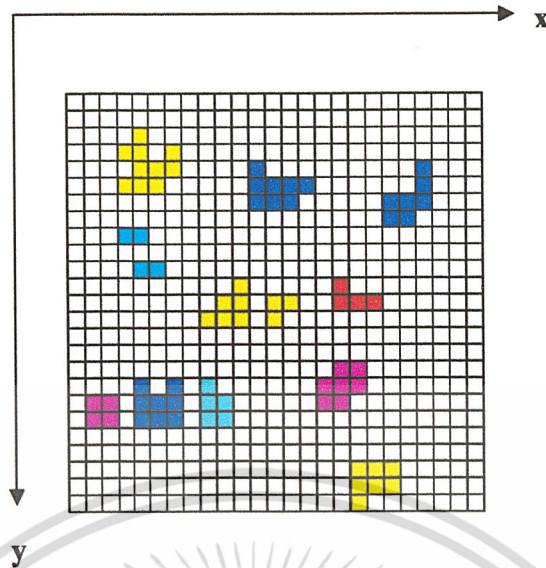


รูปที่ 4.7 แสดงส่วนที่ใช้ในการคำนวณพิกัดของภาพที่รับมา

โดยบริเวณที่เป็นสีขาวก็จะใช้ในการคำนวณ แต่ถ้าเป็นบริเวณที่เป็นสีดำก็จะไม่นำค่าจุดของบริเวณนั้นมาใช้ในการคำนวณ

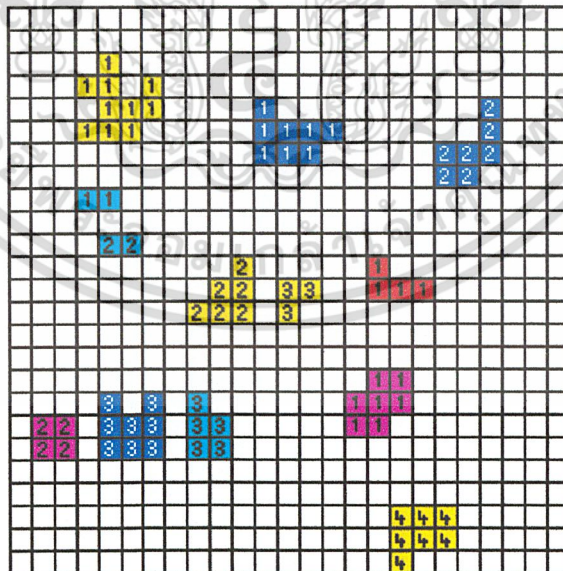
- ในส่วนของการคำนวณหลังจากที่ได้กำหนดค่าของสีและบริเวณที่จะคำนวณแล้ว คือการหาตำแหน่งของหุ่นยนต์ การหามุมของหุ่นยนต์ และการหาหมายเลขของหุ่นยนต์

วิธีการรวมก้อนของสีทำโดยต้องทำการประมวลผลทุกจุด ไล่ตั้งแต่จุดแรกไปถึงจุดสุดท้าย โดยแต่ละจุด จะตรวจดูจุดรอบข้าง 4 จุด คือ  $(x-1, y)$ ,  $(x-1, y-1)$ ,  $(x, y-1)$ ,  $(x+1, y-1)$  ว่าได้มีการกำหนดค่าให้หรือยัง ถ้ายังไม่ได้กำหนดค่าก็ต้องกำหนดให้ เช่น ถ้าจุดแรกที่พบเป็นสีเหลือง  $(5, 3)$  ยังไม่ได้กำหนดค่า เพราะฉะนั้นต้องกำหนดให้



รูปที่ 4.8 การจัดกลุ่มสี

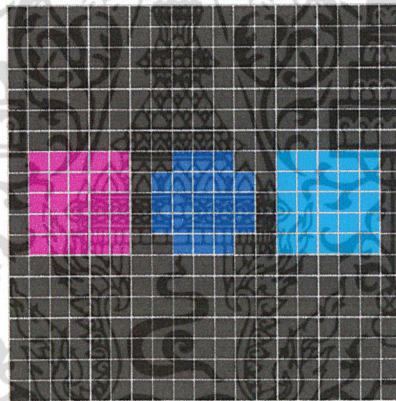
เป็น 1 หลังจากนั้นสีที่พบต่อมาก็คือสีเหลืองที่พิกัด(4, 4) แต่เมื่อได้ดูจุดรอบข้าง4จุดแล้วพบว่าที่จุด(5, 3) ซึ่งเป็นสีเหลืองเหมือนกันมีค่าเป็น 1 เพราะฉะนั้นค่าในตำแหน่งนี้มีค่าเป็น 1 ด้วย จากรูปภาพนี้ถ้าทำการประมวลผลครบจะได้ค่าดังรูป ซึ่งจะเห็นได้ว่าสามารถบอกได้ว่ามีสีเหลืองอยู่ 4 ก้อน สีน้ำเงิน 3 ก้อน สีส้ม 1 ก้อน สีฟ้า 3 ก้อน และ สีม่วง 2 ก้อน



รูปที่ 4.9 การจัดกลุ่มสี

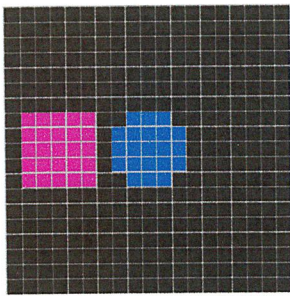
หลังจากที่ได้ทำการรวมก้อนของสีแล้วก็มาทำการหาค่าจุดศูนย์กลางของแต่ละก้อน โดยการหาผลบวกของค่าในแนวแกน x ทั้งหมดของก้อนแล้วหารด้วยจำนวนจุดทั้งหมดในก้อน และในแนวแกน y ก็ทำเหมือนกัน เช่น ตำแหน่งศูนย์กลางของสีเหลืองก้อนที่ 1 ค่า  $x = (5+4+5+7+5+6+7+4+5+6) / 10 = 5.4$  และค่า  $y = (3+4+4+4+5+5+5+6+6+6) / 10 = 5.2$  เพราะฉะนั้นตำแหน่งศูนย์กลางของสีเหลืองก้อนที่ 1 เท่ากับ (5.4, 5.2)

การหามุมของหุ่นยนต์ทำได้โดยการใช้สีม่วงกับสีน้ำเงิน ด้วยการยึดการพิจารณาจากสีน้ำเงิน(เหลือง)เป็นหลัก โดยจะพิจารณาเป็นสี่เหลี่ยมโดยวัดจากจุดศูนย์กลางสีน้ำเงิน(เหลือง)ไปเป็นรัศมี 10 หน่วย เพราะว่าเป็นบริเวณของตัวหุ่นยนต์ หลังจากที่ทำค่าจุดศูนย์กลางของทั้งสีน้ำเงินและสีม่วงแล้วโดยให้เป็นค่า  $(x_1, y_1)$  และ  $(x_2, y_2)$  ตามลำดับ นำค่าที่ได้มาทำการหามุมโดยใช้สูตร  $\text{มุม} = \arctan((y_2 - y_1) / (x_2 - x_1))$

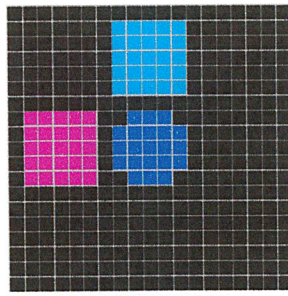


รูปที่ 4.10 แสดงหมายเลขของหุ่นยนต์

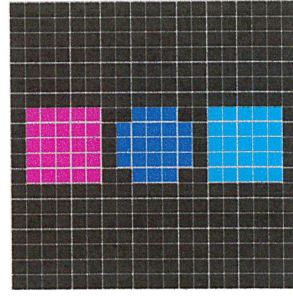
การหาหมายเลขของหุ่นยนต์เนื่องมาจากว่าหุ่นยนต์มีมากกว่า 1 ตัว เพราะฉะนั้นต้องบอกด้วยว่าหุ่นนั้นๆเป็นหุ่นหมายเลขใดเพื่อใช้ในการสั่งการ โดยสีที่ใช้ในการแบ่งแยกหมายเลขหุ่นคือสีฟ้าโดยการกำหนดตำแหน่งของสีฟ้าดังนี้



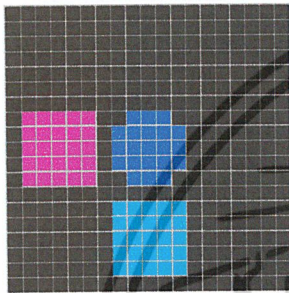
หุ่นยนต์หมายเลข 0



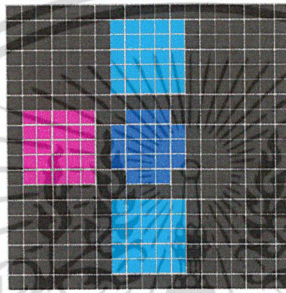
หุ่นยนต์หมายเลข 1



หุ่นยนต์หมายเลข 2



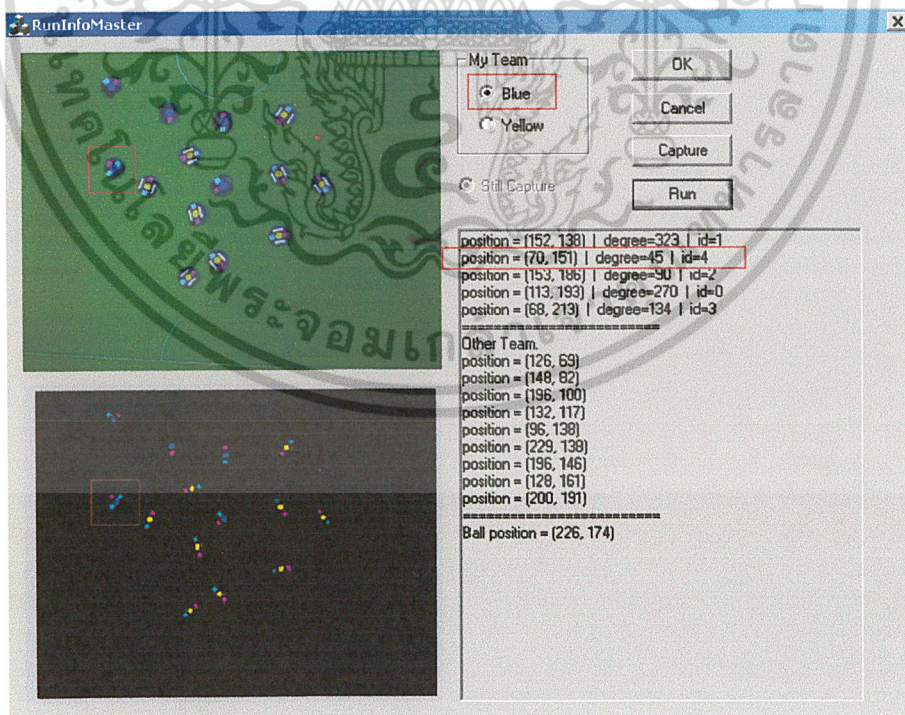
หุ่นยนต์หมายเลข 3



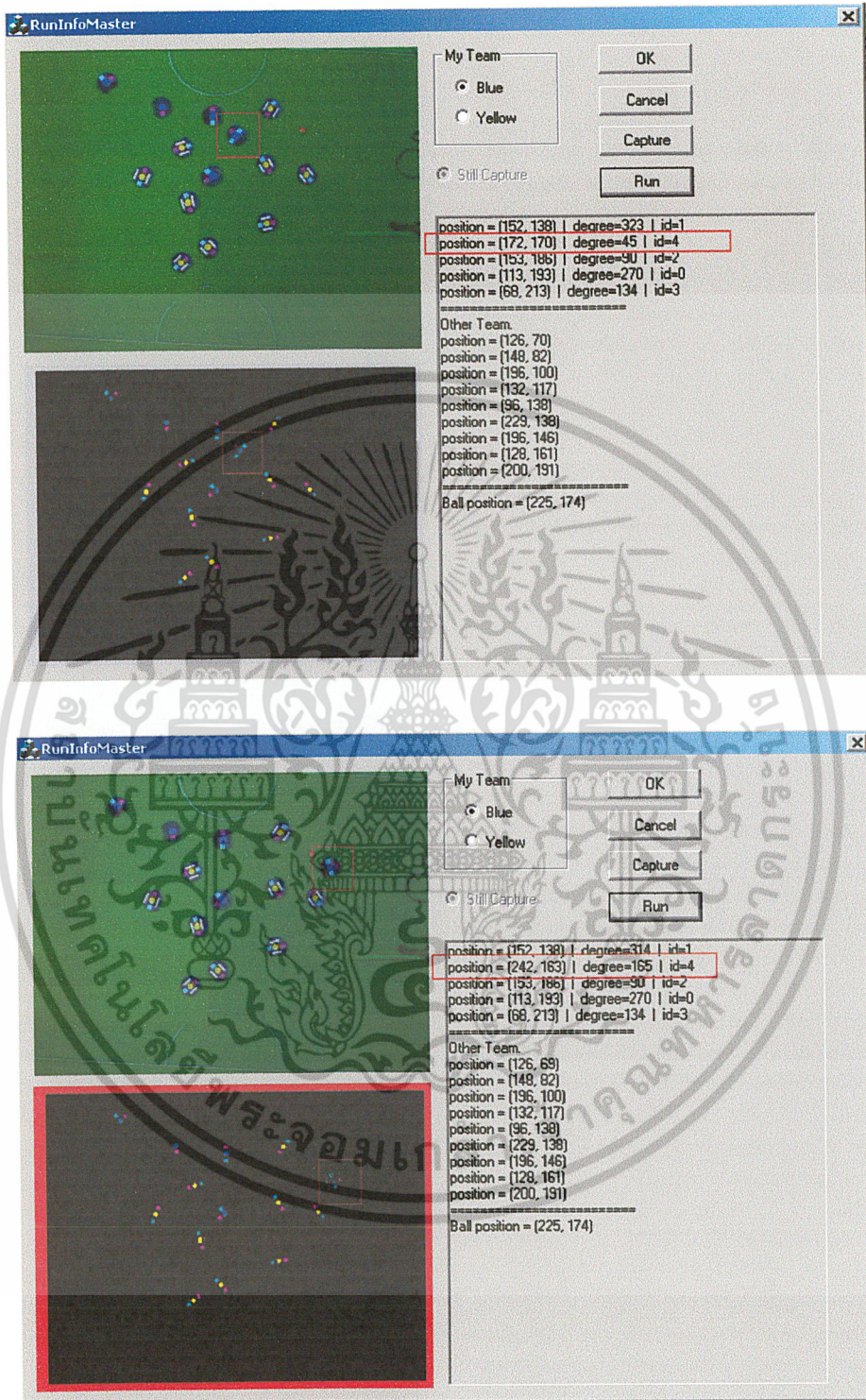
หุ่นยนต์หมายเลข 4

รูปที่ 4.11 แสดงหมายเลขต่างๆของหุ่นยนต์

### ตัวอย่างโปรแกรม



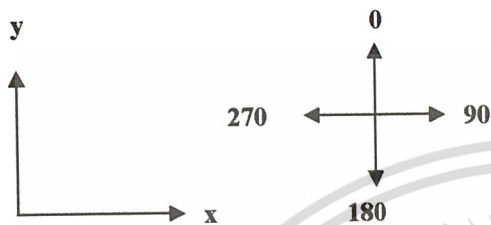
รูปที่ 4.12 ตัวอย่างโปรแกรม



รูปที่ 4.13 ตัวอย่างโปรแกรม

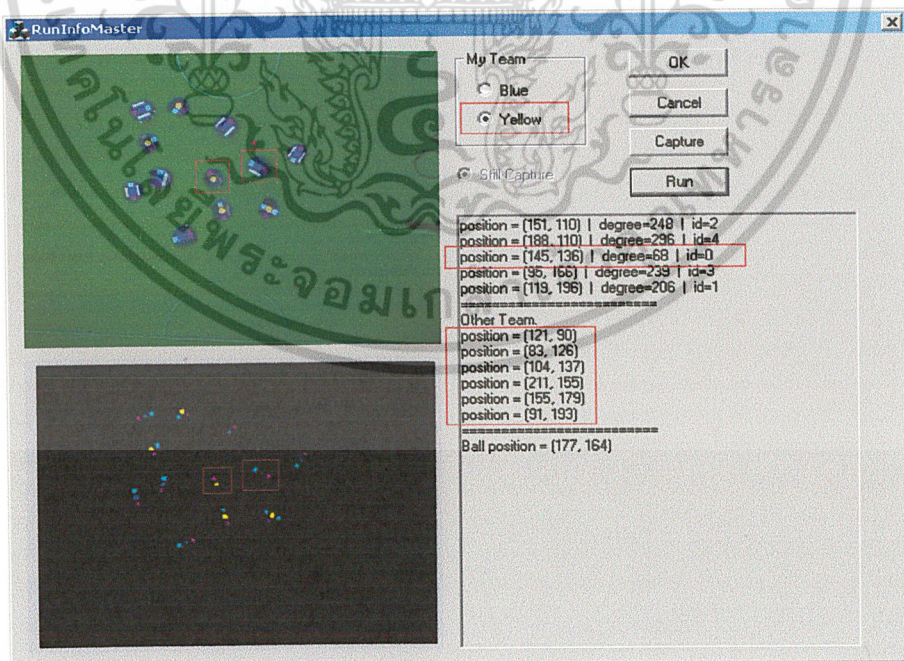
เอกสารนี้เป็นเอกสารที่สงวนไว้สำหรับการใช้งานเพื่อการศึกษาเท่านั้น ไม่อนุญาตให้นำไปใช้ประโยชน์ด้านการค้า ไม่ว่าจะกรณีใดๆ ทั้งสิ้น อีกทั้งห้ามมิให้ดัดแปลงเนื้อหา และต้องอ้างอิงถึงเจ้าของเอกสารทุกครั้งที่มีการนำไปใช้

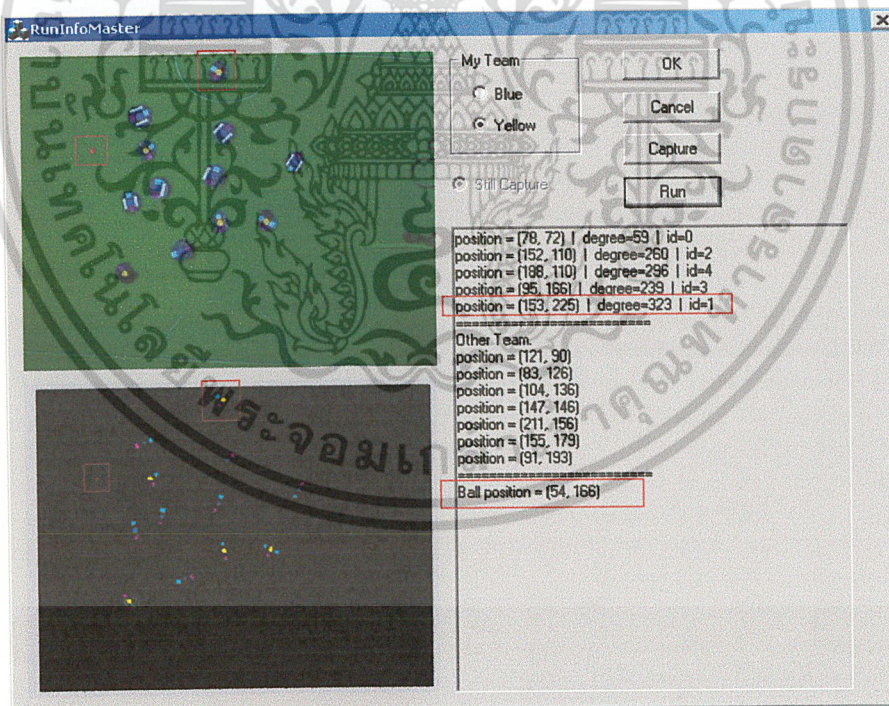
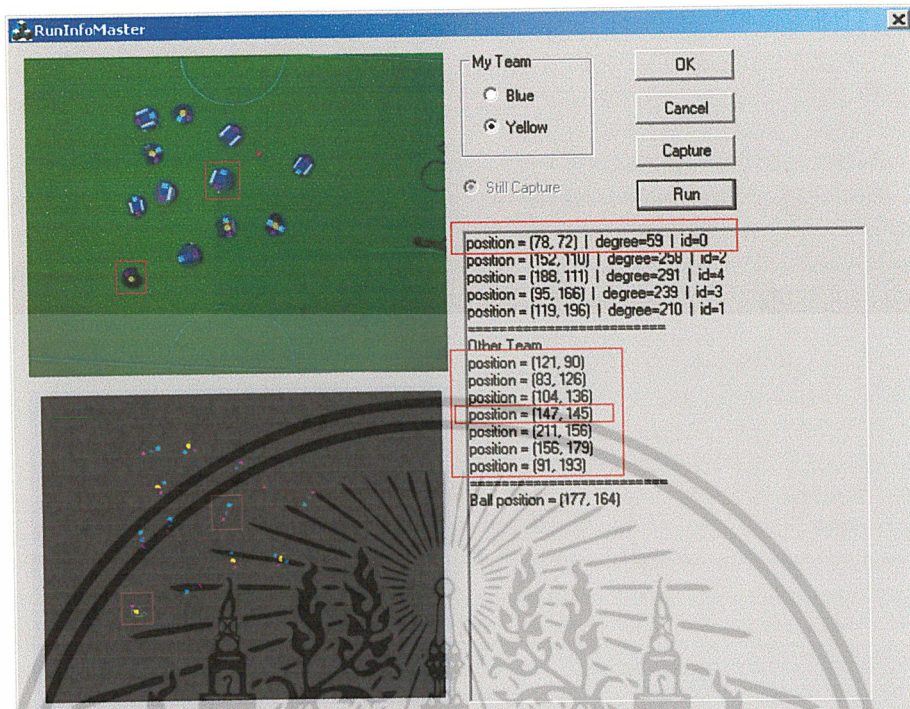
ตามภาพด้านบนแสดงให้เห็นการเปลี่ยนแปลงตำแหน่งของหุ่นยนต์โดยที่สามารถเลือกได้ว่าจะใช้สีใดระหว่างสีน้ำเงินกับสีเหลือง ในที่นี้เลือกสีน้ำเงินจะเห็นว่าภาพแรกหุ่นยนต์หมายเลข 4 มีตำแหน่งอยู่ที่



(70, 150) มุมเท่ากับ 45 องศา โดยที่ตำแหน่ง(0, 0) อยู่ที่มุมซ้ายล่าง และ มุมที่ได้จะเป็นมุมที่ทำกับแกนตั้งรูปซ้ายมือ ภาพที่สอง แสดงให้เห็นการเปลี่ยนแปลงตำแหน่งโดยหุ่นยนต์หมายเลข 4 ได้ย้ายไปอยู่ที่ตำแหน่ง (172, 170) ทำมุม 45 องศา ภาพที่สามตำแหน่งของหุ่นยนต์หมายเลข 4 อยู่ที่

(242, 163) และทำมุม 165 องศา ภาพสุดท้ายที่แสดงเป็นสีแดงเพื่อให้เห็นว่าเกิดจากตอนแรกที่ต้องกำหนดพื้นที่ของการทำกระบวนการ Image Processing พื้นที่บริเวณสีแดงเป็นพื้นที่ที่กำหนดว่าไม่ต้องทำการประมวลผลเพราะฉะนั้นพื้นที่บริเวณนี้จะไม่ได้รับการประมวลผลเลยเห็นได้จากภาพที่ 1 และ ภาพที่ 2 ส่วนที่แสดงตำแหน่งของสีจะเล็กกว่าขนาดภาพจริงที่ได้รับมาจากกล้อง เพราะฉะนั้นไม่ว่าบริเวณนั้นจะมีการเกิด noise มากเท่าไรก็ไม่มีผลกับการประมวลผล





รูปที่ 4.14 ตัวอย่าง โปรแกรม

สามภาพถัดมาแสดงถึงกรณีที่เราเปลี่ยนมาใช้สีเหลืองเป็นสีของทีมจะเห็นว่า หุ่นยนต์หมายเลข 0 จะอยู่ในตำแหน่ง (145,136) มุม 68 องศา และจะเห็นว่า ตรงตำแหน่งของ other team เราจะเห็นหุ่นยนต์ฝ่ายตรงข้าม มี 6 ตัว ซึ่งจากหุ่นยนต์ที่มีจริง ๆ นั้น จะมีหุ่นยนต์ฝ่ายสีน้ำเงินอยู่ 7 ตัว

ซึ่งเกิดจากปัญหาบางประการของกล้อง เช่นการที่แสงไม่เพียงพอ ทำให้กล้องจับภาพได้ไม่ดีเท่าที่ควร และเมื่อเราลองย้ายหุ่นยนต์สีน้ำเงินที่ตอนแรก ไม่สามารถจับภาพได้ ไปไว้ในตำแหน่งอื่น จะเห็น ได้ดังรูปที่ 2 คือ other team จะมีหุ่นยนต์ฝ่ายตรงข้ามเพิ่มขึ้นมาอีก 1 ตัว เป็น 7 ตัว และรูปที่ 3 แสดง การเปลี่ยนตำแหน่งของลูกบอล จะเห็นว่าตำแหน่งลูกบอลมีการเปลี่ยนแปลง

#### 4.2 การทดลองในส่วนของหุ่นยนต์

วิธีการทดลองนั้นเราจะนำโปรแกรมที่เขียนจาก VB ซึ่งเป็นโปรแกรมควบคุมหุ่นยนต์ผ่านทาง keyboard ติดต่อทาง serial port และใช้สัญญาณ wireless ในการส่งสัญญาณ ไปยังตัวหุ่นให้ทำงาน การทดลองนี้จะทำการจับเวลาการเคลื่อนที่ของหุ่นยนต์ในระยะทาง 1 เมตร โดยจะเปลี่ยนไปที่ละเกียร์ จากเกียร์ 1 ถึง 14

ผลการทดลองออกมาดังนี้

เกียร์ 1 ไม่สามารถเคลื่อนที่ได้

เกียร์ 2 ไม่สามารถเคลื่อนที่ได้

เกียร์ 3 ใช้เวลา 9.27 วินาที

เกียร์ 4 ใช้เวลา 6.57 วินาที

เกียร์ 5 ใช้เวลา 4.95 วินาที

เกียร์ 6 ใช้เวลา 4.1 วินาที

เกียร์ 7 ใช้เวลา 3.65 วินาที

เกียร์ 8 ใช้เวลา 3.14 วินาที

เกียร์ 9 ใช้เวลา 2.87 วินาที

เกียร์ 10 ใช้เวลา 2.43 วินาที

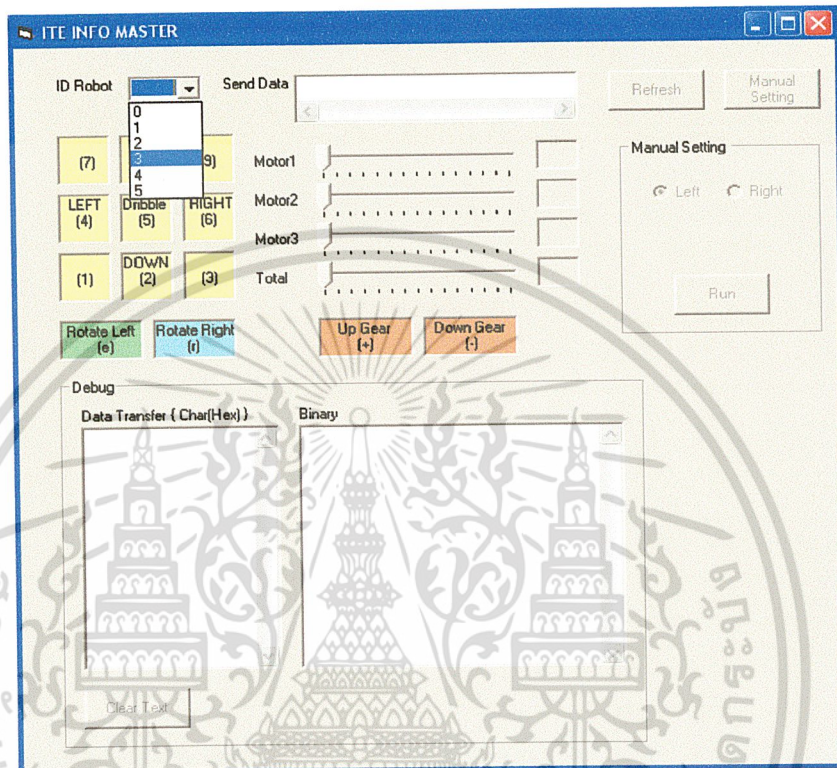
เกียร์ 11 ใช้เวลา 2.21 วินาที

เกียร์ 12 ใช้เวลา 1.89 วินาที

เกียร์ 13 ใช้เวลา 1.72 วินาที

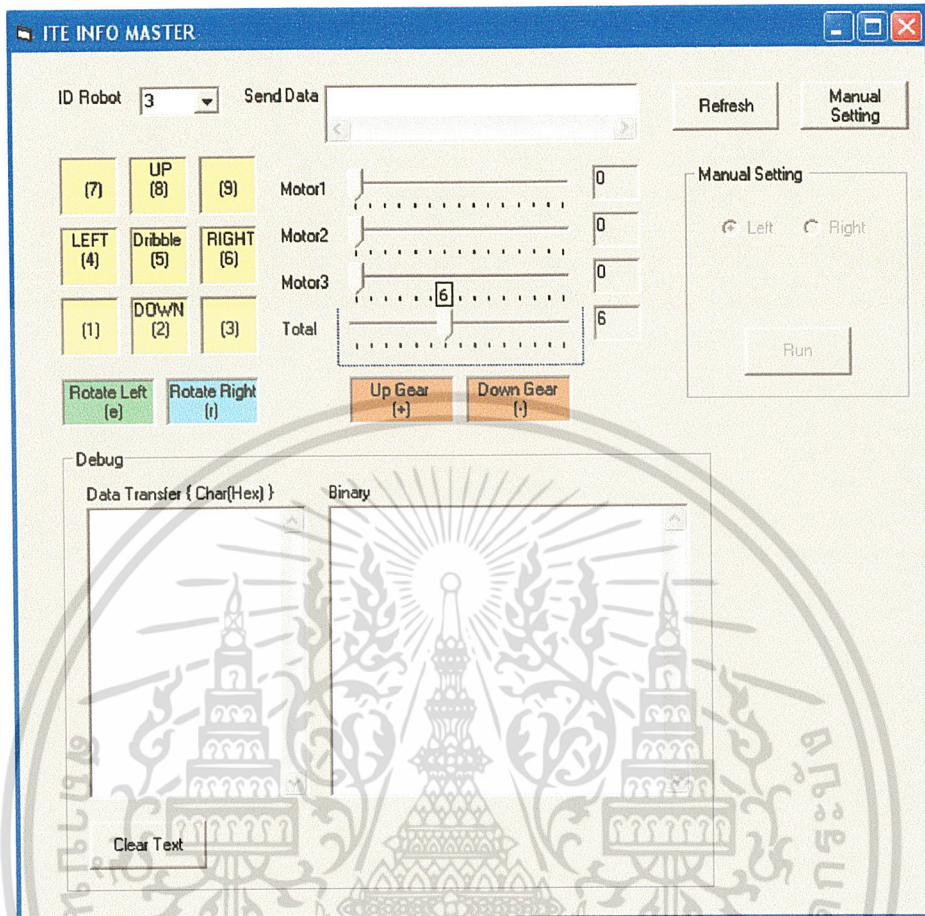
เกียร์ 14 ใช้เวลา 1.58 วินาที

โปรแกรม VB ที่ใช้ในการควบคุมในคอมพิวเตอร์นั้นใช้ในการควบคุมหุ่นโดยใช้ Keyboard ในการบังคับหุ่นยนต์ โดยตัวโปรแกรมจะติดต่อผ่านทาง serial port ดังรูป



รูปที่ 4.15 ตัวอย่างโปรแกรม

- ขั้นแรก เราต้องเลือก ID robot ว่าเราจะควบคุมหุ่นตัวไหน



รูปที่ 4.16 ตัวอย่างโปรแกรม

- ต่อมาเลือกเกียร์ที่ต้องการที่ตำแหน่ง total หรือเราอาจจะเปลี่ยนโดยทาง keyboard ก็ได้โดยกดปุ่ม + เพื่อเพิ่มเกียร์ ปุ่ม - เพื่อลดเกียร์



## บทที่ 5

### สรุปผลการทดลอง

#### 5.1 สรุปผลการทดลอง

การทดลองการทำงานของหุ่นยนต์เบื้องต้นเพื่อใช้เป็นพื้นฐานที่สำคัญ ในการทำหุ่นยนต์เตะฟุตบอล(Soccer Robot) ต่อไปซึ่งการทำงานของหุ่นดีขึ้นกว่าครั้งแรกที่ได้ทำการทดสอบแต่การส่งสัญญาณ wireless ที่ยังมีการส่งที่ผิดพลาดเล็กน้อย ทั้งยังมีปัญหาในการเคลื่อนที่ของหุ่นยนต์ที่จำเป็นจะต้องมีการ tune การเคลื่อนที่ที่เหวี่ยงซึ่งในบางครั้งการที่เราสวมล้อไม่แน่นจะทำให้หุ่นเคลื่อนที่ผิดไปจากที่เคย tune ไว้

ในส่วนของโปรแกรม VB นั้นได้มีการพัฒนาจากการควบคุมโดย keyboard เราได้พัฒนาให้ใช้งานได้กับ joystick ซึ่งจะทำให้การเคลื่อนที่ของหุ่นยนต์สามารถควบคุมได้ง่ายขึ้น

ในส่วนของโปรแกรม Image Processing นั้น จากการทดลองจะเห็นได้ว่าปัญหาเดียวที่เกิดขึ้นคือปัญหาเรื่องแสงสว่าง ที่มีแสงสว่างไม่ทั่วทั้งสนามซึ่งในการแข่งขันจริงๆ การที่แสงไม่มีความสม่ำเสมอทั้งสนามนั้น จะทำให้การจับภาพของ โปรแกรม เกิดการผิดพลาดขึ้นได้ ซึ่งถ้า Image Processing ทำงานผิดพลาด จะทำให้ระบบของ robocup ถึงกับทำงานไม่ได้เลยทีเดียว แต่ถ้าแสงมีความสม่ำเสมอ จะเห็นได้ว่า การรับภาพจากกล้องเข้ามาประมวลผล โปรแกรมก็สามารถทำงานได้ในเวลาที่ค่อนข้างจะดีเลยทีเดียวนั่นคือ 20 frame/sec ซึ่งถือว่าเพียงพอที่จะบอกว่าเป็นการจับภาพแบบ real time

#### 5.2 ปัญหาที่พบในการดำเนินการทดลอง

1. ช่วงแรกของการเขียน โปรแกรม Image Processing ซึ่งต้องมีการศึกษาภาษา C++ กันใหม่ ทำให้ต้องใช้เวลาในการศึกษานานพอสมควร
2. ปัญหาที่เกิดจากเครื่องส่งสัญญาณวิทยุ (RF) ซึ่งเครื่องส่งมักมีปัญหาในการส่งทำให้ข้อมูลที่ส่งไปให้หุ่นยนต์เกิดความผิดพลาด
3. แสงสว่างที่ใช้ในการทดลอง Image Processing กับในการแข่งขันจริงมีความสม่ำเสมอไม่เท่ากัน ซึ่งแน่นอนว่า การที่แสงสว่างไม่สม่ำเสมอทำให้การจับภาพของ Image Processing จะมีความผิดพลาดเกิดขึ้นได้

4. หุ่นยนต์ที่ใช้มีความแตกต่างของมอเตอร์แต่ละตัวที่แตกต่างกันในด้านความเร็ว ทำให้เวลาที่จะกำหนดความเร็วของหุ่นยนต์จะต้องทำการมากำหนดความเร็วของหุ่นยนต์แต่ละตัวซึ่งทำให้เกิดการเสียเวลา และมีความไม่แน่นอนสูง

### 5.3 แนวทางในการพัฒนาโครงการ

1. จะต้องมีการปรับเปลี่ยนตัวส่งสัญญาณวิทยุที่มีคุณภาพกว่านี้
2. จะต้องมีการปรับปรุงโปรแกรม Image Processing ให้มีความยืดหยุ่นในการจับภาพที่ดีกว่านี้ ซึ่งก็เป็นการยากอีกเช่นกัน ดังนั้นจะต้องมีการควบคุม ความเข้มของแสงในสนามให้มีความคงที่
3. จะต้องทำการปรับปรุงตัวหุ่นยนต์ ให้มีคุณภาพที่ดีขึ้น



## บรรณานุกรม

1. Maher .A.SidAhmed, "Image Processing theory algorithms&architecture", McGraw-Hill International , 1992
2. <http://www.st.com>
3. <http://www.geocities.com/phoj2002/microcontroller.pdf>
4. Omni-drive dynamics <http://www.cs.oz.au>





เอกสารนี้เป็นเอกสารที่สงวนไว้สำหรับการใช้งานเพื่อการศึกษาเท่านั้น ไม่อนุญาตให้นำไปใช้ประโยชน์ด้านการค้า  
ไม่ว่ากรณีใดๆ ทั้งสิ้น อีกทั้งห้ามมิให้ดัดแปลงเนื้อหา และต้องอ้างอิงถึงเจ้าของเอกสารทุกครั้งที่มีการนำไปใช้

```

1 //*****
2 //*****
3
4 // modify use sync fac "1111 1111" and use buffer 4 buffer
5 // if buffer3 = "1111 1111" => if buffer0 != "0000 0000" (empty buffer) => if id = IDROBOT =
6 // by surachai date 5/01/48 time 14.41 P.M.
7 // use new ic AT89C4051 (20 Pin) output port0
8
9 // new edit because direction motor change( motor 1, motor direction convert) for new robot
10 // by surachai date 16/1/48 time 2.56 A.M.
11
12 // new edit because use old direction for old robot and id change from 0 to 2
13 // by surachai date 3/2/48 time 23.25 P.M.
14 //*****
15 //*****
16 #include <reg52.h>
17
18 #define COUNTER_CLOCKWISE 0 // define direction motor counter clockwise = 0
19 #define CLOCKWISE 1 // define direction motor clockwise = 1
20
21 #define STOP 0 // define event for motor shoot and dribble and stop
22 #define DRIBBLE 1 // define event for motor shoot and dribble and stop
23 #define SHOOT 2 // define event for motor shoot and dribble and stop
24
25 #define TIME_INVERT_M_1 2 // 1 gear = 2 pulse sampling (15 gear)
26 #define TIME_INVERT_M_2 2 // 1 gear = 2 pulse sampling (15 gear)
27 #define TIME_INVERT_M_3 2 // 1 gear = 2 pulse sampling (15 gear)
28 #define TIME_INVERT_M_4 2 // 1 gear = 2 pulse sampling (15 gear)
29 #define ALL_PULSE 30 // all have 30 pulse sampling
30
31 #define ID_ROBOT 2 // define this robot is id = 1
32 // #define DEFAULTDRIBBLE 13
33 // motor1 = port0.0 - 0.1 ** motor2 = port 0.2 - 0.3 **
34 // motor3 = port 0.4 - 0.5 ** motordribble = port 0.6 - 0.7
35 sbit MOTOR_1_1 = P1^0;
36 sbit MOTOR_1_2 = P1^1;
37 sbit MOTOR_2_1 = P1^2;
38 sbit MOTOR_2_2 = P1^3;
39 sbit MOTOR_3_1 = P1^4;
40 sbit MOTOR_3_2 = P1^5;
41 sbit MOTOR_4_1 = P1^6;
42 sbit MOTOR_4_2 = P1^7;
43 unsigned int ts_counter=0; //The counter for time sampling (0.01sec)
44 //***** initial *****
45 unsigned int gear_m_1 = 0;
46 unsigned int gear_m_2 = 0;
47 unsigned int gear_m_3 = 0;
48 unsigned int gear_m_4 = 0; // default speed motor dribble
49
50 unsigned char di_m_1 = CLOCKWISE;
51 unsigned char di_m_2 = CLOCKWISE;
52 unsigned char di_m_3 = CLOCKWISE;
53 unsigned char di_m_4 = STOP; // motor dribble
54 // *****
55 unsigned char BufferData[4]; // buffer for data from serial port
56 //unsigned char n_Buffer = 0; // number buffer
57
58 void open_intr_service(void)
59 {
60 IE=0x93; //open Series,Timer0 and INT0 interrupt
61 IP=0x02; //define high priority level is Timer0 interrupt
62 }
63 void open_timer_service(void)
64 {
65 TMOD=0x22; //Timer0 mode2 and Timer1 mode2
66 TCON=0x01; //Active INT0 interrput at down time
67 //TH0=0x1; //47 microsec of one sampling and 42 pulse sampling in pwm(500Hz)
68 //TH0 = 0x9c; // 50 microsec of one sampling and 40 pulse sampling in pwn(500Hz)
69 //TH0 = 0xc; // 25 microsec of one sampling and 80 pulse sampling in pwn(500Hz)
70 TH0 = 0x79; // 67 microsec of one sampling and 30 pulse sampling ing pwn(500Hz)
71 }
72 void open_series_service(void)
73 {
74 SCON=0x50; //Mode1 8 bit
75 PCON=0x00;
76 TH1=0xf3; //74800 bps 24 MHz

```

```

77     TR1=1;        //Strat timer1
78   }
79   void timer0_int() interrupt 1
80   {
81     if(ts_counter <= ALL_PULSE)
82     {
83       ts_counter++;        //counter for time sampling
84     }
85     else
86     {
87       ts_counter = 1;
88     }
89   }
90
91   void controlmotor(unsigned int n_motor, unsigned int gear, unsigned char direction)
92   {
93     switch(n_motor)
94     {
95     case 1:
96     {
97       if(direction == COUNTER_CLOCKWISE)
98       {
99         if(ts_counter <= TIME_INVERT_M_1*gear)
100        {
101          MOTOR_1_1 = 1;
102          MOTOR_1_2 = 0;
103        }
104        else
105        {
106          MOTOR_1_1 = 0;
107          MOTOR_1_2 = 0;
108        }
109      }
110      else
111      {
112        if(ts_counter <= TIME_INVERT_M_1*gear)
113        {
114          MOTOR_1_1 = 0;
115          MOTOR_1_2 = 1;
116        }
117        else
118        {
119          MOTOR_1_1 = 0;
120          MOTOR_1_2 = 0;
121        }
122      }
123      break;
124    }
125
126     case 2:
127     {
128       if(direction == COUNTER_CLOCKWISE)
129       {
130         if(ts_counter <= TIME_INVERT_M_2*gear)
131         {
132           MOTOR_2_1 = 0;
133           MOTOR_2_2 = 1;
134         }
135         else
136         {
137           MOTOR_2_1 = 0;
138           MOTOR_2_2 = 0;
139         }
140       }
141       else
142       {
143         if(ts_counter <= TIME_INVERT_M_2*gear)
144         {
145           MOTOR_2_1 = 1;
146           MOTOR_2_2 = 0;
147         }
148         else
149         {
150           MOTOR_2_1 = 0;
151           MOTOR_2_2 = 0;
152

```

เอกสารนี้เป็นเอกสารที่สงวนเวลาสำหรับการใช้งานเพื่อการศึกษาเท่านั้น ไม่อนุญาตให้นำไปใช้ประโยชน์ด้านการค้า

```

153     }
154     break;
155 }
156
157 case 3:
158 {
159     if(direction == COUNTER_CLOCKWISE)
160     {
161         if(ts_counter <= TIME_INVERT_M_3*gear)
162         {
163             MOTOR_3_1 = 1;
164             MOTOR_3_2 = 0;
165         }
166         else
167         {
168             MOTOR_3_1 = 0;
169             MOTOR_3_2 = 0;
170         }
171     }
172     else
173     {
174         if(ts_counter <= TIME_INVERT_M_3*gear)
175         {
176             MOTOR_3_1 = 0;
177             MOTOR_3_2 = 1;
178         }
179         else
180         {
181             MOTOR_3_1 = 0;
182             MOTOR_3_2 = 0;
183         }
184     }
185     break;
186 }
187
188 case 4: // out no pulse
189 {
190     switch (direction)
191     {
192     case 0:
193     {
194         MOTOR_4_1 = 0;
195         MOTOR_4_2 = 0;
196         break;
197     }
198     case 1:
199     {
200         MOTOR_4_1 = 1;
201         MOTOR_4_2 = 0;
202         break;
203     }
204     case 2:
205     {
206         MOTOR_4_1 = 0;
207         MOTOR_4_2 = 1;
208         break;
209     }
210     }
211     break;
212 }
213 }
214 }
215 }
216 void OperateData()
217 {
218     // ***** id *****
219     unsigned char Id_e = BufferData[2] & 0x07;
220     unsigned char Id_s = (BufferData[0] & 0x70) >> 4;
221     // ***** dribble *****
222     unsigned char Dribble = BufferData[0] & 0x01;
223     // ***** shoot *****
224     unsigned char Shoot = (BufferData[2] & 0x08) >> 3;
225     if(Id_s == Id_e)
226     {
227         // ***** direction all motor *****
228         di_m_1 = (BufferData[0] & 0x08) >> 3;

```

เอกสารนี้เป็นเอกสารที่สงวนลิขสิทธิ์และห้ามมิให้ทำซ้ำโดยไม่ได้รับอนุญาตจากเจ้าของเอกสารทุกครั้งที่มีการนำไปใช้

```

229     di_m_2 = (BufferData[0] & 0x04) >> 2;
230     di_m_3 = (BufferData[0] & 0x02) >> 1;
231
232     if((Dribble == 0) && (Shoot == 0))
233         di_m_4 = STOP;
234     else
235     {
236         if((Shoot == 1) && (Dribble ==0))
237             di_m_4 = SHOOT;
238         else
239             di_m_4 = DRIBBLE;
240     }
241     //di_m_4 = BufferData[0] & 0x01; // dribble = '1' , if not = '0'
242
243     // ***** velocity all motor *****
244     gear_m_1 = (BufferData[1] & 0xF0) >> 4;
245     gear_m_2 = BufferData[1] & 0x0F;
246     gear_m_3 = (BufferData[2] & 0xF0) >> 4;
247     //gear_m_4 = 14;
248
249     // ***** clear buffer *****
250     BufferData[0] = 0;
251     BufferData[1] = 0;
252     BufferData[2] = 0;
253     BufferData[3] = 0;
254 }
255 }
256 void VarifyData(unsigned char InData)
257 {
258     unsigned char id = (BufferData[0] & 0x70) >> 4;
259     if(InData == 255)
260     {
261         if(BufferData[0] != 0)
262         {
263             if (id == ID_ROBOT)
264             {
265                 OperateData();
266             }
267         }
268     }
269 }
270 void series_int() interrupt 4
271 {
272     BufferData[0] = BufferData[1];
273     BufferData[1] = BufferData[2];
274     BufferData[2] = BufferData[3];
275     BufferData[3] = SBUF;
276     VarifyData(BufferData[3]);
277     RI=0;
278 }
279 void main(void)
280 {
281     open_intr_service();
282     open_timer_service();
283     open_series_service();
284     TR0 = 1;
285     // clear buffer
286     BufferData[0] = 0;
287     BufferData[1] = 0;
288     BufferData[2] = 0;
289     BufferData[3] = 0;
290     while(1)
291     {
292         controlmotor(1, gear_m_1, di_m_1);
293         controlmotor(2, gear_m_2, di_m_2);
294         controlmotor(3, gear_m_3, di_m_3);
295         controlmotor(4, gear_m_4, di_m_4); // if direction clockwise = dribble ** if counter
296     }
297 }

```

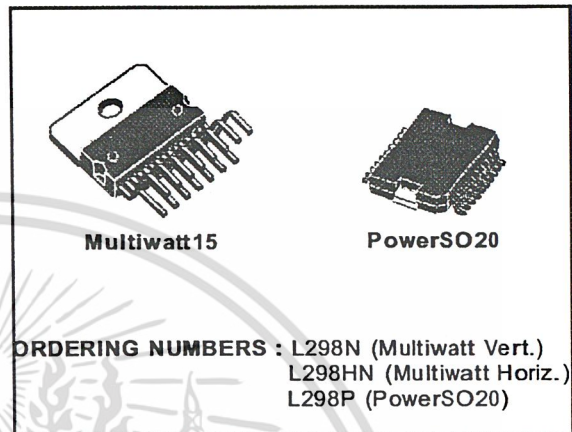
เอกสารนี้เป็นเอกสารที่สงวนไว้สำหรับการใช้งานเพื่อการศึกษาเท่านั้น ไม่อนุญาตให้นำไปใช้ประโยชน์ด้านการค้า

## DUAL FULL-BRIDGE DRIVER

- OPERATING SUPPLY VOLTAGE UP TO 46 V
- TOTAL DC CURRENT UP TO 4 A
- LOW SATURATION VOLTAGE
- OVERTEMPERATURE PROTECTION
- LOGICAL "0" INPUT VOLTAGE UP TO 1.5 V (HIGH NOISE IMMUNITY)

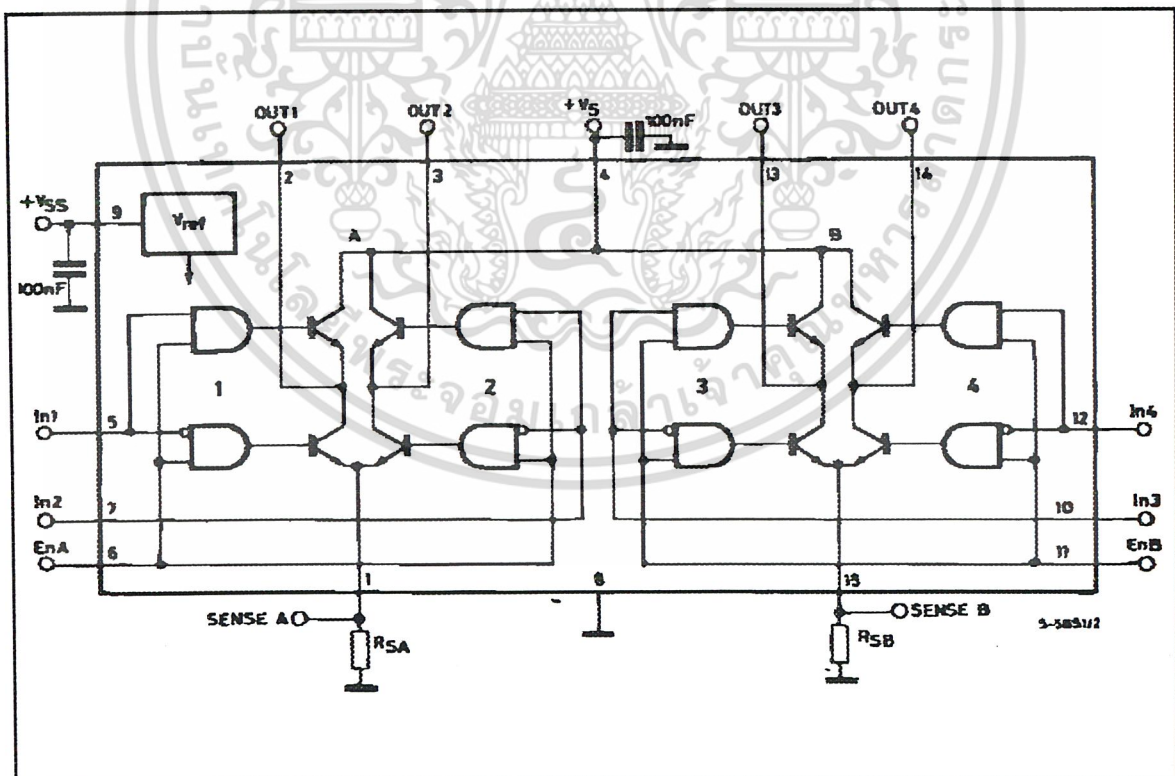
### DESCRIPTION

The L298 is an integrated monolithic circuit in a 15-lead Multiwatt and PowerSO20 packages. It is a high voltage, high current dual full-bridge driver designed to accept standard TTL logic levels and drive inductive loads such as relays, solenoids, DC and stepping motors. Two enable inputs are provided to enable or disable the device independently of the input signals. The emitters of the lower transistors of each bridge are connected together and the corresponding external terminal can be used for the con-



nection of an external sensing resistor. An additional supply input is provided so that the logic works at a lower voltage.

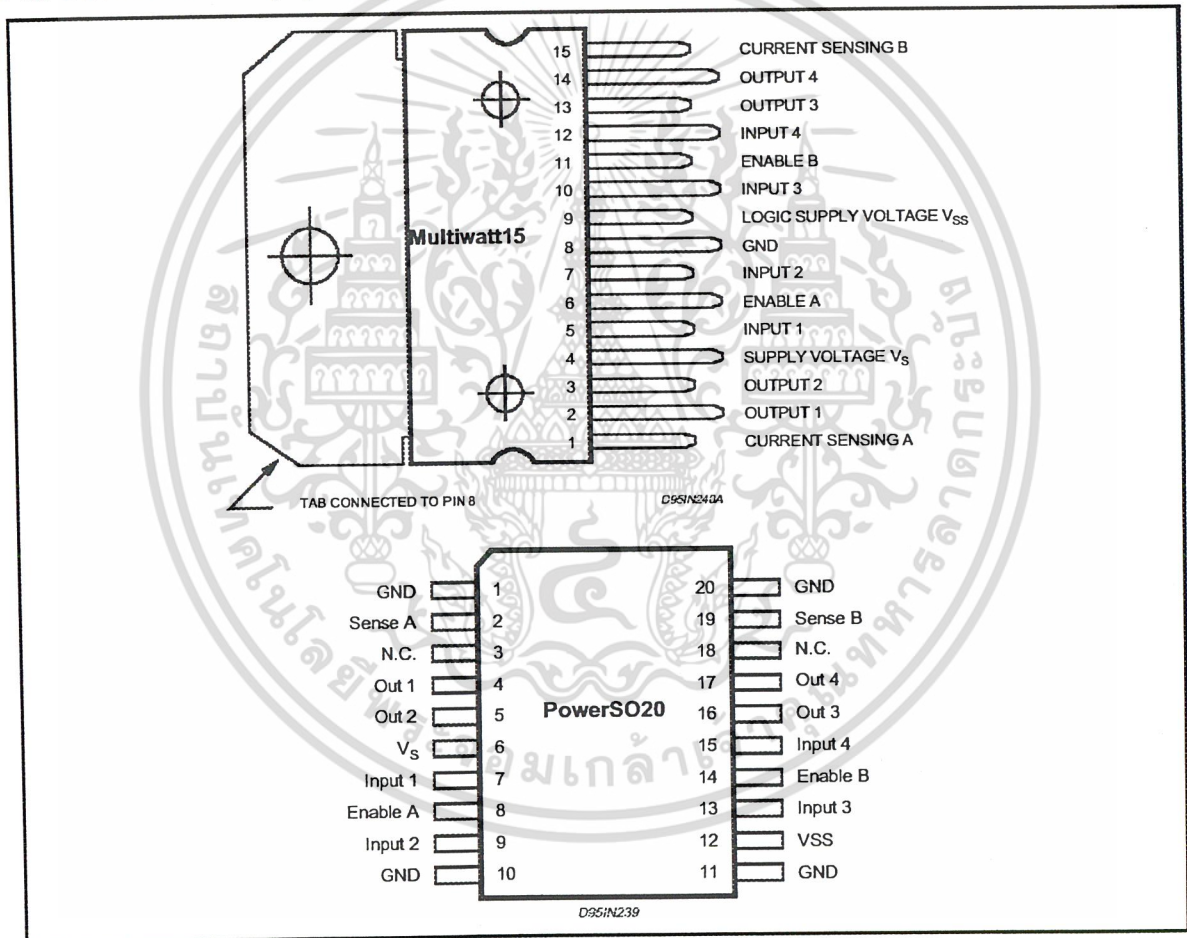
### BLOCK DIAGRAM



**ABSOLUTE MAXIMUM RATINGS**

Symbol	Parameter	Value	Unit
V <sub>S</sub>	Power Supply	50	V
V <sub>SS</sub>	Logic Supply Voltage	7	V
V <sub>I</sub> , V <sub>en</sub>	Input and Enable Voltage	-0.3 to 7	V
I <sub>O</sub>	Peak Output Current (each Channel)		
	- Non Repetitive (t = 100μs)	3	A
	- Repetitive (80% on -20% off; t <sub>on</sub> = 10ms)	2.5	A
	-DC Operation	2	A
V <sub>sens</sub>	Sensing Voltage	-1 to 2.3	V
P <sub>tot</sub>	Total Power Dissipation (T <sub>case</sub> = 75°C)	25	W
T <sub>op</sub>	Junction Operating Temperature	-25 to 130	°C
T <sub>stg</sub> , T <sub>j</sub>	Storage and Junction Temperature	-40 to 150	°C

**PIN CONNECTIONS (top view)**



**THERMAL DATA**

Symbol	Parameter		PowerSO20	Multiwatt15	Unit
R <sub>th j-case</sub>	Thermal Resistance Junction-case	Max.	-	3	°C/W
R <sub>th j-amb</sub>	Thermal Resistance Junction-ambient	Max.	13 (*)	35	°C/W

(\*) Mounted on aluminum substrate



เอกสารนี้เป็นเอกสารที่สงวนไว้สำหรับการใช้งานเพื่อการศึกษาเท่านั้น ไม่อนุญาตให้นำไปใช้ประโยชน์ด้านการค้า  
ไม่ว่ากรณีใดๆ ทั้งสิ้น อีกทั้งห้ามมิให้ดัดแปลงเนื้อหา และต้องอ้างอิงถึงเจ้าของเอกสารทุกครั้งที่มีการนำไปใช้

## PIN FUNCTIONS (refer to the block diagram)

MW.15	PowerSO	Name	Function
1;15	2;19	Sense A; Sense B	Between this pin and ground is connected the sense resistor to control the current of the load.
2;3	4;5	Out 1; Out 2	Outputs of the Bridge A; the current that flows through the load connected between these two pins is monitored at pin 1.
4	6	V <sub>S</sub>	Supply Voltage for the Power Output Stages. A non-inductive 100nF capacitor must be connected between this pin and ground.
5;7	7;9	Input 1; Input 2	TTL Compatible Inputs of the Bridge A.
6;11	8;14	Enable A; Enable B	TTL Compatible Enable Input: the L state disables the bridge A (enable A) and/or the bridge B (enable B).
8	1,10,11,20	GND	Ground.
9	12	V <sub>SS</sub>	Supply Voltage for the Logic Blocks. A 100nF capacitor must be connected between this pin and ground.
10; 12	13;15	Input 3; Input 4	TTL Compatible Inputs of the Bridge B.
13; 14	16;17	Out 3; Out 4	Outputs of the Bridge B. The current that flows through the load connected between these two pins is monitored at pin 15.
-	3;18	N.C.	Not Connected

ELECTRICAL CHARACTERISTICS (V<sub>S</sub> = 42V; V<sub>SS</sub> = 5V, T<sub>J</sub> = 25°C; unless otherwise specified)

Symbol	Parameter	Test Conditions	Min.	Typ.	Max.	Unit
V <sub>S</sub>	Supply Voltage (pin 4)	Operative Condition	V <sub>IH</sub> +2.5		46	V
V <sub>SS</sub>	Logic Supply Voltage (pin 9)		4.5	5	7	V
I <sub>S</sub>	Quiescent Supply Current (pin 4)	V <sub>en</sub> = H; I <sub>L</sub> = 0 V <sub>i</sub> = L V <sub>i</sub> = H		13 50	22 70	mA mA
		V <sub>en</sub> = L V <sub>i</sub> = X			4	mA
I <sub>SS</sub>	Quiescent Current from V <sub>SS</sub> (pin 9)	V <sub>en</sub> = H; I <sub>L</sub> = 0 V <sub>i</sub> = L V <sub>i</sub> = H		24 7	36 12	mA mA
		V <sub>en</sub> = L V <sub>i</sub> = X			6	mA
V <sub>IL</sub>	Input Low Voltage (pins 5, 7, 10, 12)		-0.3		1.5	V
V <sub>IH</sub>	Input High Voltage (pins 5, 7, 10, 12)		2.3		V <sub>SS</sub>	V
I <sub>IL</sub>	Low Voltage Input Current (pins 5, 7, 10, 12)	V <sub>i</sub> = L			-10	μA
I <sub>IH</sub>	High Voltage Input Current (pins 5, 7, 10, 12)	V <sub>i</sub> = H ≤ V <sub>SS</sub> - 0.6V		30	100	μA
V <sub>en</sub> = L	Enable Low Voltage (pins 6, 11)		-0.3		1.5	V
V <sub>en</sub> = H	Enable High Voltage (pins 6, 11)		2.3		V <sub>SS</sub>	V
I <sub>en</sub> = L	Low Voltage Enable Current (pins 6, 11)	V <sub>en</sub> = L			-10	μA
I <sub>en</sub> = H	High Voltage Enable Current (pins 6, 11)	V <sub>en</sub> = H ≤ V <sub>SS</sub> - 0.6V		30	100	μA
V <sub>CEsat(H)</sub>	Source Saturation Voltage	I <sub>L</sub> = 1A I <sub>L</sub> = 2A	0.95	1.35 2	1.7 2.7	V V
V <sub>CEsat(L)</sub>	Sink Saturation Voltage	I <sub>L</sub> = 1A (5) I <sub>L</sub> = 2A (5)	0.85	1.2 1.7	1.6 2.3	V V
V <sub>CEsat</sub>	Total Drop	I <sub>L</sub> = 1A (5) I <sub>L</sub> = 2A (5)	1.80		3.2 4.9	V V
V <sub>sens</sub>	Sensing Voltage (pins 1, 15)		-1 (1)		2	V



เอกสารนี้เป็นเอกสารที่สงวนไว้สำหรับการใช้งานเพื่อการศึกษาเท่านั้น ไม่อนุญาตให้นำไปใช้ประโยชน์ด้านการค้า  
ไม่ว่ากรณีใดๆ ทั้งสิ้น อีกทั้งห้ามมิให้ดัดแปลงเนื้อหา และต้องอ้างอิงถึงเจ้าของเอกสารทุกครั้งที่มีการนำไปใช้

ELECTRICAL CHARACTERISTICS (continued)

Symbol	Parameter	Test Conditions	Min.	Typ.	Max.	Unit
T <sub>1</sub> (V <sub>i</sub> )	Source Current Turn-off Delay	0.5 V <sub>i</sub> to 0.9 I <sub>L</sub> (2); (4)		1.5		μs
T <sub>2</sub> (V <sub>i</sub> )	Source Current Fall Time	0.9 I <sub>L</sub> to 0.1 I <sub>L</sub> (2); (4)		0.2		μs
T <sub>3</sub> (V <sub>i</sub> )	Source Current Turn-on Delay	0.5 V <sub>i</sub> to 0.1 I <sub>L</sub> (2); (4)		2		μs
T <sub>4</sub> (V <sub>i</sub> )	Source Current Rise Time	0.1 I <sub>L</sub> to 0.9 I <sub>L</sub> (2); (4)		0.7		μs
T <sub>5</sub> (V <sub>i</sub> )	Sink Current Turn-off Delay	0.5 V <sub>i</sub> to 0.9 I <sub>L</sub> (3); (4)		0.7		μs
T <sub>6</sub> (V <sub>i</sub> )	Sink Current Fall Time	0.9 I <sub>L</sub> to 0.1 I <sub>L</sub> (3); (4)		0.25		μs
T <sub>7</sub> (V <sub>i</sub> )	Sink Current Turn-on Delay	0.5 V <sub>i</sub> to 0.9 I <sub>L</sub> (3); (4)		1.6		μs
T <sub>8</sub> (V <sub>i</sub> )	Sink Current Rise Time	0.1 I <sub>L</sub> to 0.9 I <sub>L</sub> (3); (4)		0.2		μs
f <sub>c</sub> (V <sub>i</sub> )	Commutation Frequency	I <sub>L</sub> = 2A		25	40	KHz
T <sub>1</sub> (V <sub>en</sub> )	Source Current Turn-off Delay	0.5 V <sub>en</sub> to 0.9 I <sub>L</sub> (2); (4)		3		μs
T <sub>2</sub> (V <sub>en</sub> )	Source Current Fall Time	0.9 I <sub>L</sub> to 0.1 I <sub>L</sub> (2); (4)		1		μs
T <sub>3</sub> (V <sub>en</sub> )	Source Current Turn-on Delay	0.5 V <sub>en</sub> to 0.1 I <sub>L</sub> (2); (4)		0.3		μs
T <sub>4</sub> (V <sub>en</sub> )	Source Current Rise Time	0.1 I <sub>L</sub> to 0.9 I <sub>L</sub> (2); (4)		0.4		μs
T <sub>5</sub> (V <sub>en</sub> )	Sink Current Turn-off Delay	0.5 V <sub>en</sub> to 0.9 I <sub>L</sub> (3); (4)		2.2		μs
T <sub>6</sub> (V <sub>en</sub> )	Sink Current Fall Time	0.9 I <sub>L</sub> to 0.1 I <sub>L</sub> (3); (4)		0.35		μs
T <sub>7</sub> (V <sub>en</sub> )	Sink Current Turn-on Delay	0.5 V <sub>en</sub> to 0.9 I <sub>L</sub> (3); (4)		0.25		μs
T <sub>8</sub> (V <sub>en</sub> )	Sink Current Rise Time	0.1 I <sub>L</sub> to 0.9 I <sub>L</sub> (3); (4)		0.1		μs

- 1) Sensing voltage can be -1V for t ≤ 50 μsec; in steady state V<sub>sens</sub> min ≥ -0.5 V.
- 2) See fig. 2.
- 3) See fig. 4.
- 4) The load must be a pure resistor.

Figure 1 : Typical Saturation Voltage vs. Output Current.

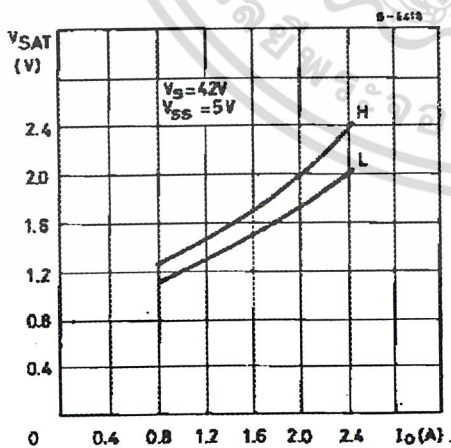
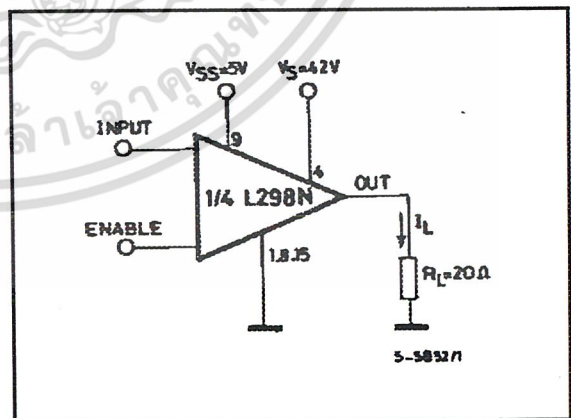


Figure 2 : Switching Times Test Circuits.



Note : For INPUT Switching, set EN = H  
For ENABLE Switching, set IN = H



เอกสารนี้เป็นเอกสารที่สงวนไว้สำหรับการใช้งานเพื่อการศึกษาเท่านั้น ไม่อนุญาตให้นำไปใช้ประโยชน์ด้านการค้า  
ไม่ว่ากรณีใดๆ ทั้งสิ้น อีกทั้งห้ามมิให้ดัดแปลงเนื้อหา และต้องอ้างอิงถึงเจ้าของเอกสารทุกครั้งที่มีการนำไปใช้

Figure 3 : Source Current Delay Times vs. Input or Enable Switching.

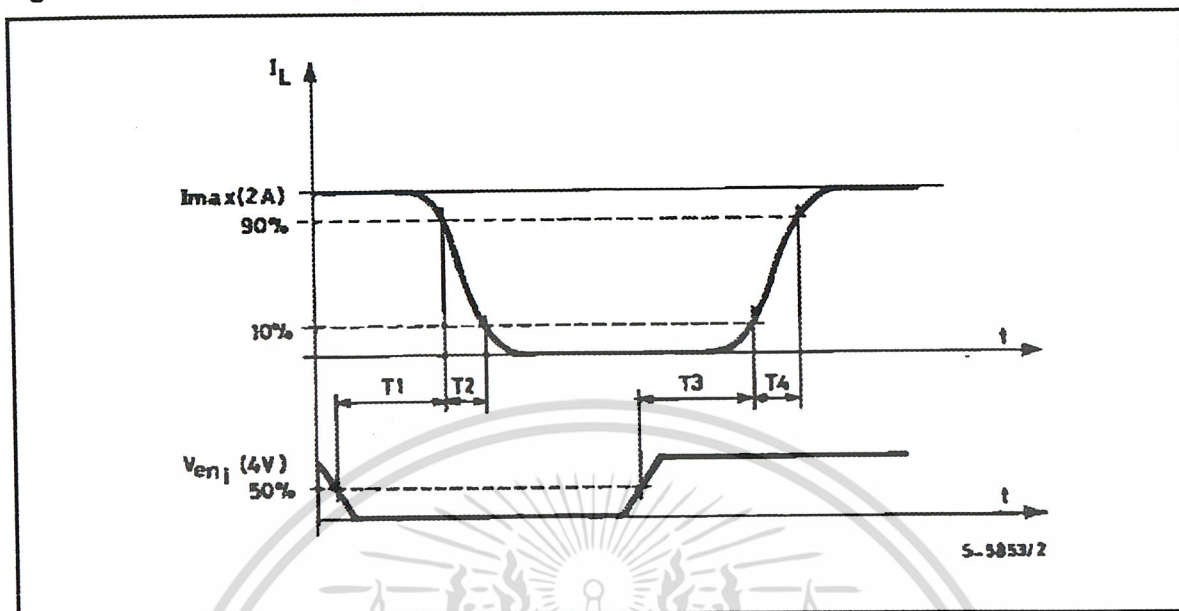
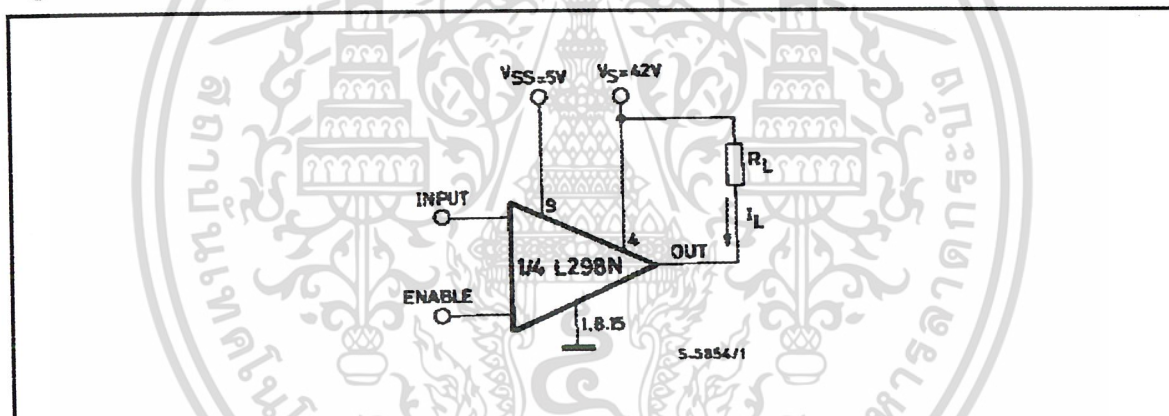


Figure 4 : Switching Times Test Circuits.



Note : For INPUT Switching, set EN = H  
For ENABLE Switching, set IN = L

Figure 5 : Sink Current Delay Times vs. Input 0 V Enable Switching.

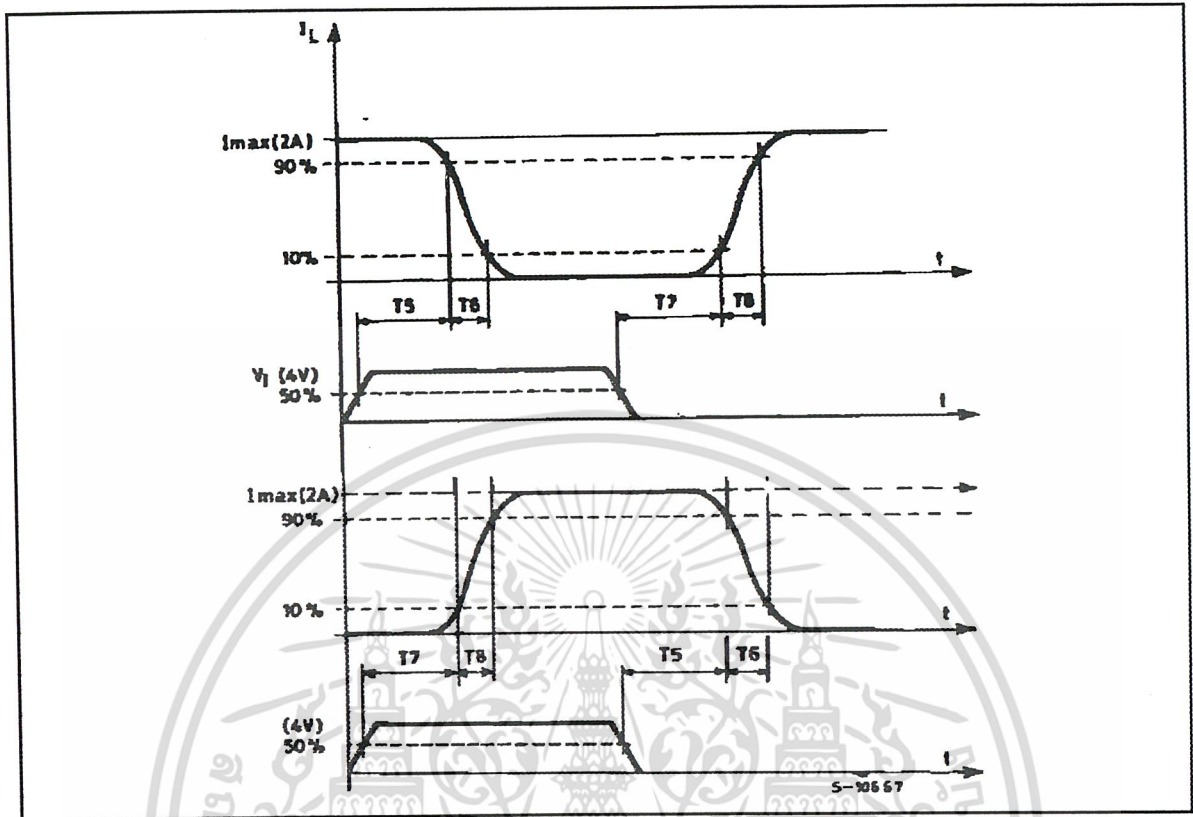
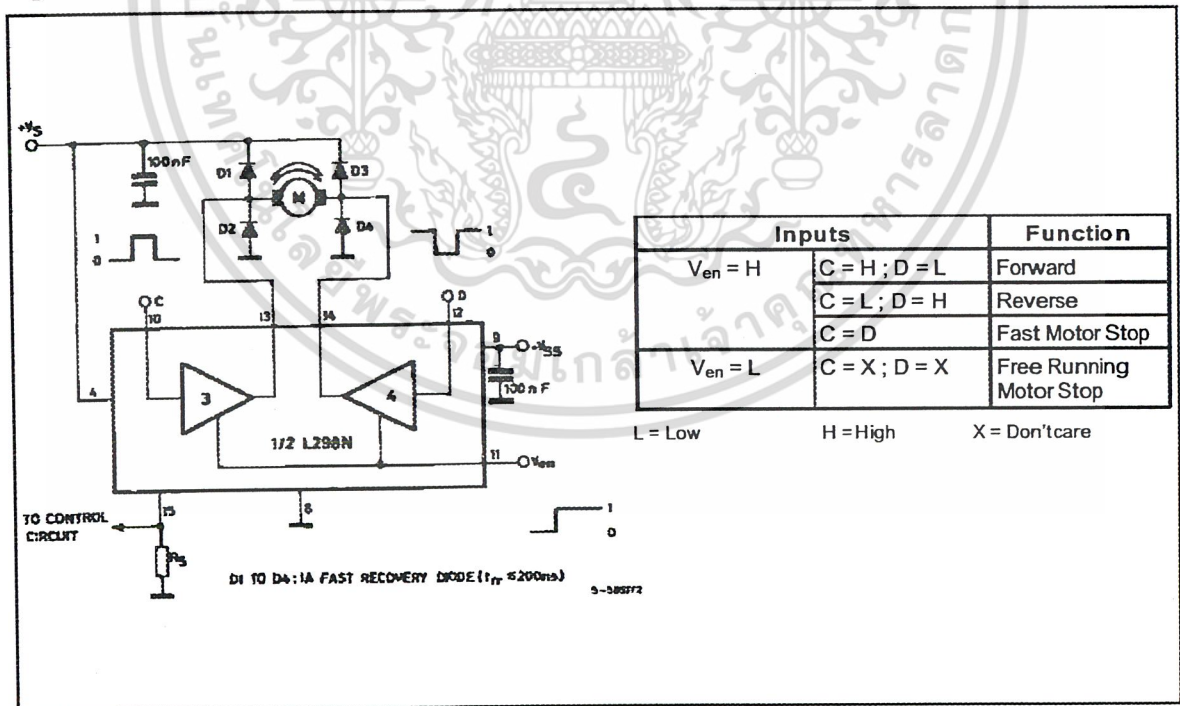
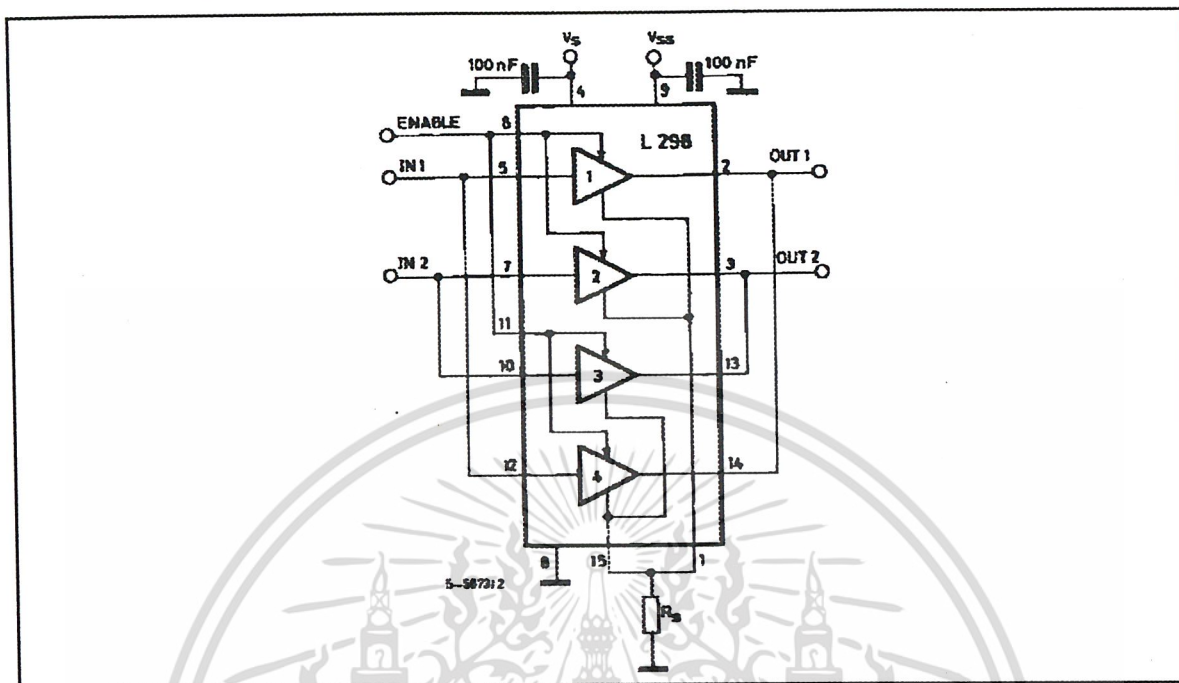


Figure 6 : Bidirectional DC Motor Control.



เอกสารนี้เป็นเอกสารที่สงวนไว้สำหรับการใช้งานเพื่อการศึกษาเท่านั้น ไม่อนุญาตให้นำไปใช้ประโยชน์ด้านการค้า  
ไม่ว่ากรณีใดๆ ทั้งสิ้น อีกทั้งห้ามมิให้ดัดแปลงเนื้อหา และต้องอ้างอิงถึงเจ้าของเอกสารทุกครั้งที่มีการนำไปใช้

**Figure 7** : For higher currents, outputs can be paralleled. Take care to parallel channel 1 with channel 4 and channel 2 with channel 3.



## APPLICATION INFORMATION (Refer to the block diagram)

### 1.1. POWER OUTPUT STAGE

The L298 integrates two power output stages (A; B). The power output stage is a bridge configuration and its outputs can drive an inductive load in common or differential mode, depending on the state of the inputs. The current that flows through the load comes out from the bridge at the sense output: an external resistor ( $R_{SA}$ ;  $R_{SB}$ ) allows to detect the intensity of this current.

### 1.2. INPUT STAGE

Each bridge is driven by means of four gates the input of which are  $In1$ ;  $In2$ ;  $EnA$  and  $In3$ ;  $In4$ ;  $EnB$ . The  $In$  inputs set the bridge state when The  $En$  input is high; a low state of the  $En$  input inhibits the bridge. All the inputs are TTL compatible.

## 2. SUGGESTIONS

A non inductive capacitor, usually of 100 nF, must be foreseen between both  $V_S$  and  $V_{SS}$ , to ground, as near as possible to GND pin. When the large capacitor of the power supply is too far from the IC, a second smaller one must be foreseen near the L298.

The sense resistor, not of a wire wound type, must be grounded near the negative pole of  $V_S$  that must be near the GND pin of the I.C.

Each input must be connected to the source of the driving signals by means of a very short path.

Turn-On and Turn-Off : Before to Turn-ON the Supply Voltage and before to Turn it OFF, the Enable input must be driven to the Low state.

## 3. APPLICATIONS

Fig 6 shows a bidirectional DC motor control Schematic Diagram for which only one bridge is needed. The external bridge of diodes  $D1$  to  $D4$  is made by four fast recovery elements ( $t_{tr} \leq 200$  nsec) that must be chosen of a  $V_F$  as low as possible at the worst case of the load current.

The sense output voltage can be used to control the current amplitude by chopping the inputs, or to provide overcurrent protection by switching low the enable input.

The brake function (Fast motor stop) requires that the Absolute Maximum Rating of 2 Amps must never be overcome.

When the repetitive peak current needed from the load is higher than 2 Amps, a paralleled configuration can be chosen (See Fig.7).

An external bridge of diodes are required when inductive loads are driven and when the inputs of the IC are chopped; Schottky diodes would be preferred.

This solution can drive until 3 Amps In DC operation and until 3.5 Amps of a repetitive peak current.

On Fig 8 it is shown the driving of a two phase bipolar stepper motor ; the needed signals to drive the inputs of the L298 are generated, in this example, from the IC L297.

Fig 9 shows an example of P.C.B. designed for the application of Fig 8.

Figure 8 : Two Phase Bipolar Stepper Motor Circuit

This circuit drives bipolar stepper motors with winding currents up to 2 A. The diodes are fast 2 A types.

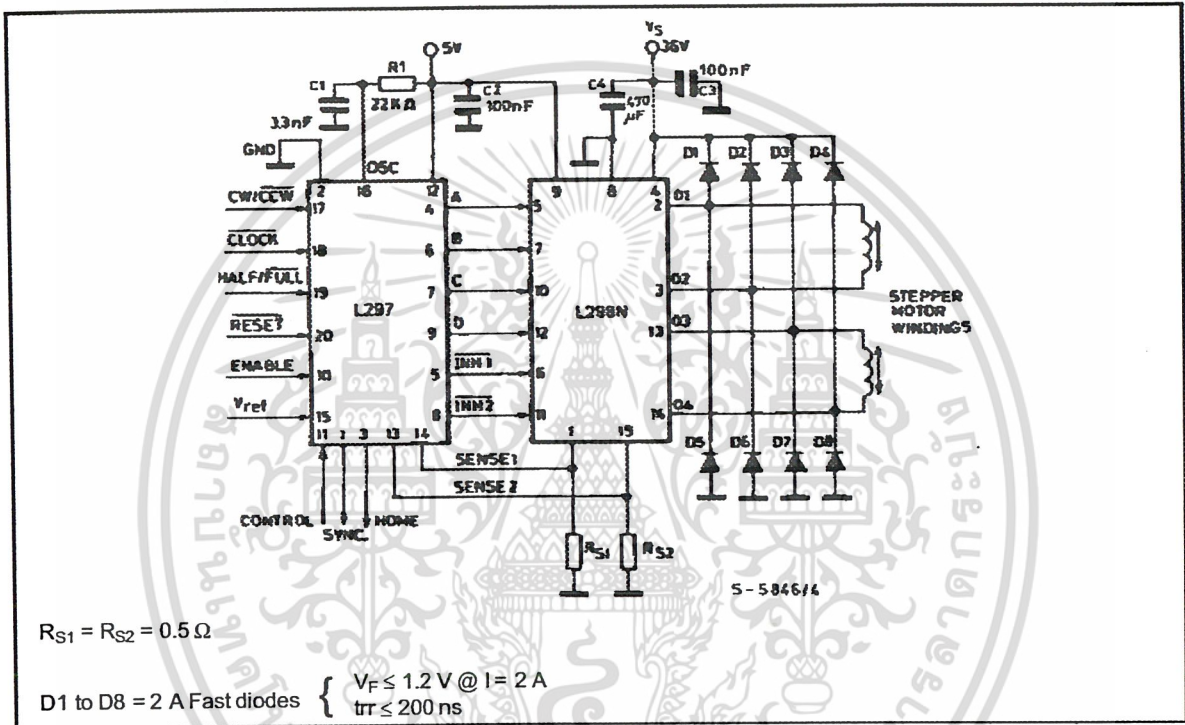


Fig 10 shows a second two phase bipolar stepper motor control circuit where the current is controlled by the I.C. L6506.

Figure 9 : Suggested Printed Circuit Board Layout for the Circuit of fig. 8 (1:1 scale).

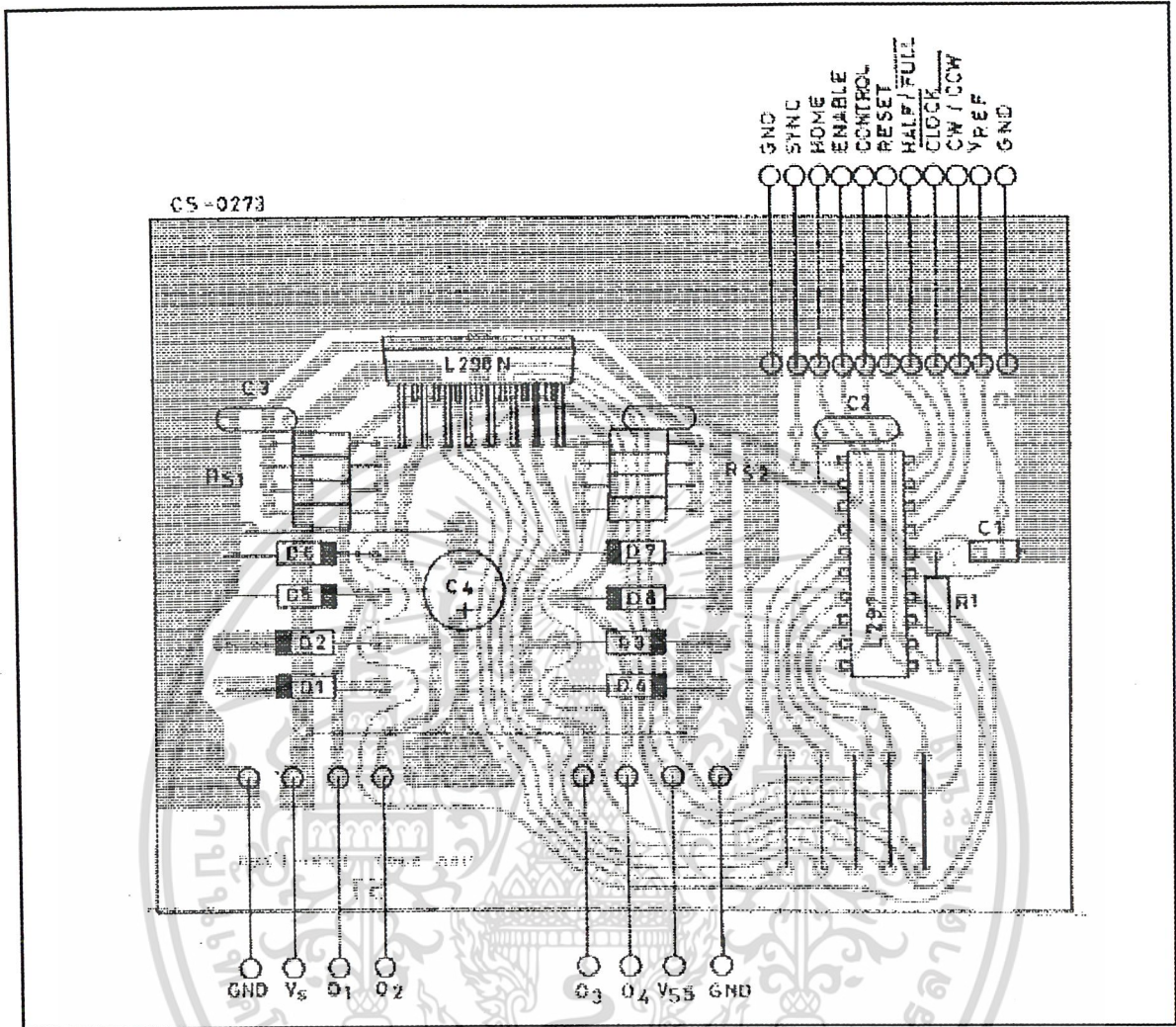
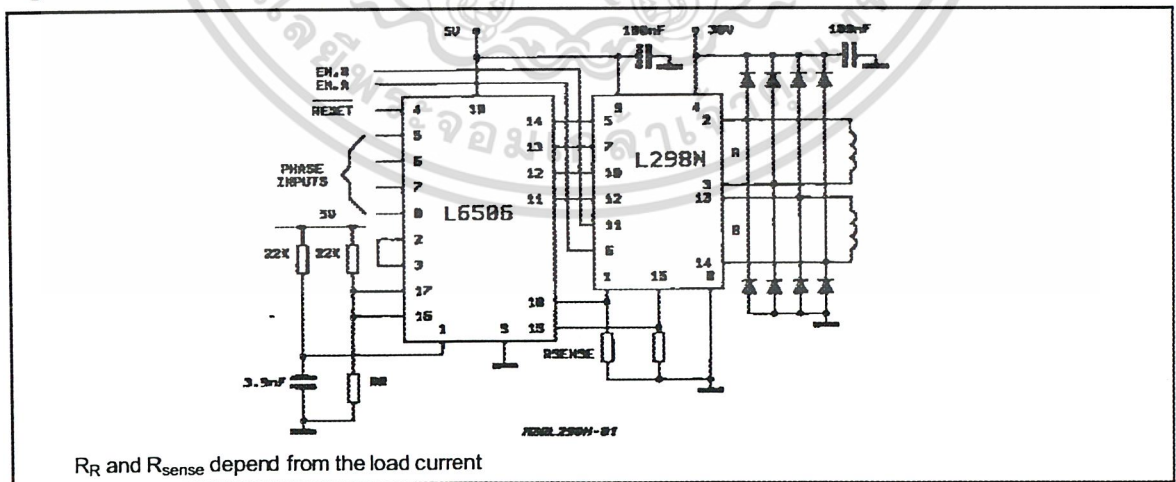


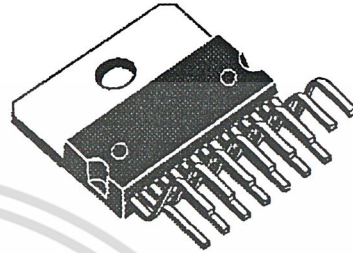
Figure 10 : Two Phase Bipolar Stepper Motor Control Circuit by Using the Current Controller L6506.



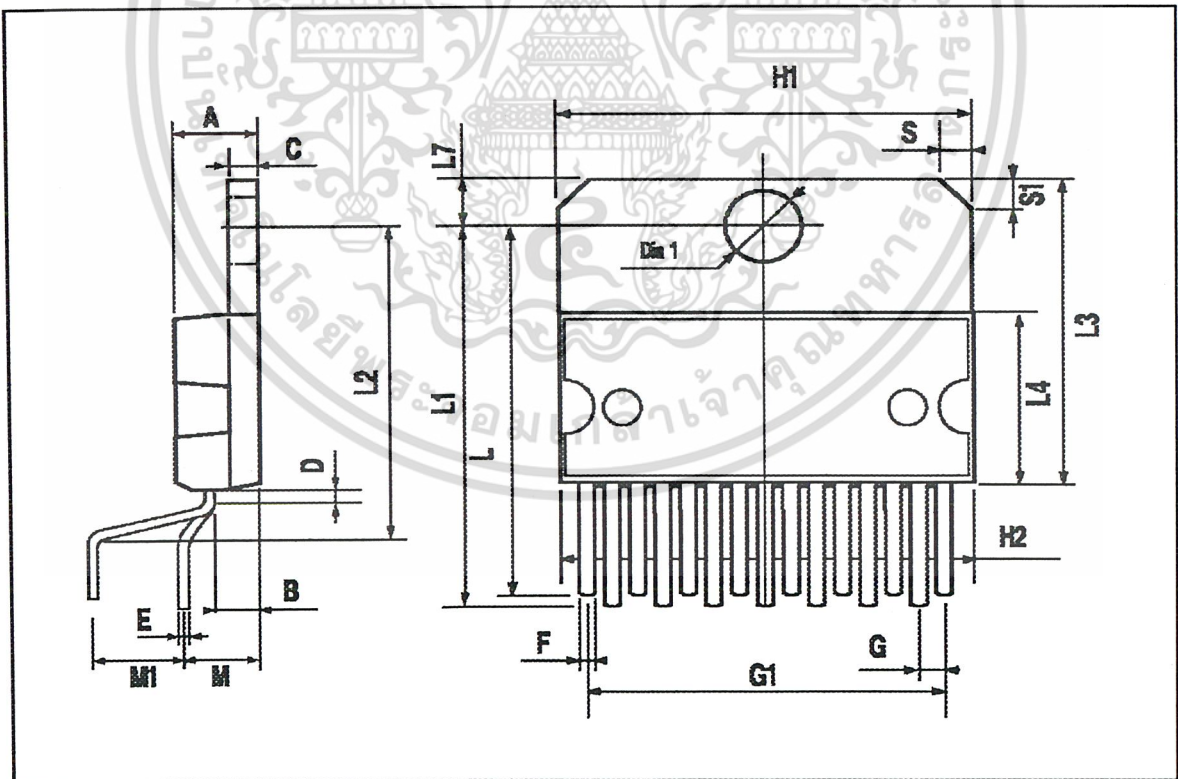
เอกสารนี้เป็นเอกสารที่สงวนไว้สำหรับการใช้งานเพื่อการศึกษาเท่านั้น ไม่อนุญาตให้นำไปใช้ประโยชน์ด้านการค้า  
ไม่ว่ากรณีใดๆ ทั้งสิ้น อีกทั้งห้ามมิให้ดัดแปลงเนื้อหา และต้องอ้างอิงถึงเจ้าของเอกสารทุกครั้งที่มีการนำไปใช้

DIM.	mm			inch		
	MIN.	TYP.	MAX.	MIN.	TYP.	MAX.
A			5			0.197
B			2.65			0.104
C			1.6			0.063
D		1			0.039	
E	0.49		0.55	0.019		0.022
F	0.66		0.75	0.026		0.030
G	1.02	1.27	1.52	0.040	0.050	0.060
G1	17.53	17.78	18.03	0.690	0.700	0.710
H1	19.6			0.772		
H2			20.2			0.795
L	21.9	22.2	22.5	0.862	0.874	0.886
L1	21.7	22.1	22.5	0.854	0.870	0.886
L2	17.65		18.1	0.695		0.713
L3	17.25	17.5	17.75	0.679	0.689	0.699
L4	10.3	10.7	10.9	0.406	0.421	0.429
L7	2.65		2.9	0.104		0.114
M	4.25	4.55	4.85	0.167	0.179	0.191
M1	4.63	5.08	5.53	0.182	0.200	0.218
S	1.9		2.6	0.075		0.102
S1	1.9		2.6	0.075		0.102
Dia1	3.65		3.85	0.144		0.152

**OUTLINE AND MECHANICAL DATA**

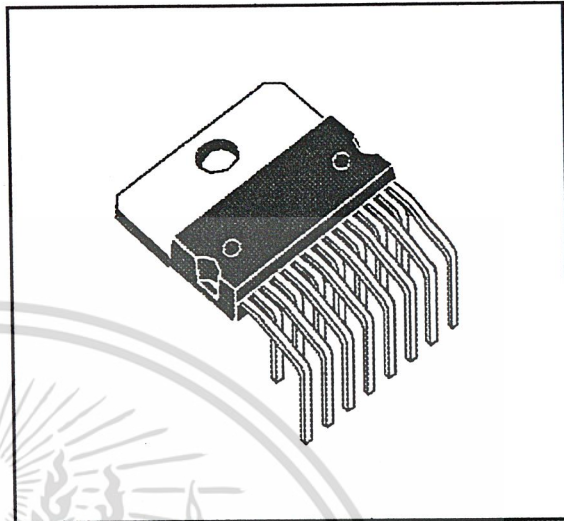


**Multiwatt15 V**

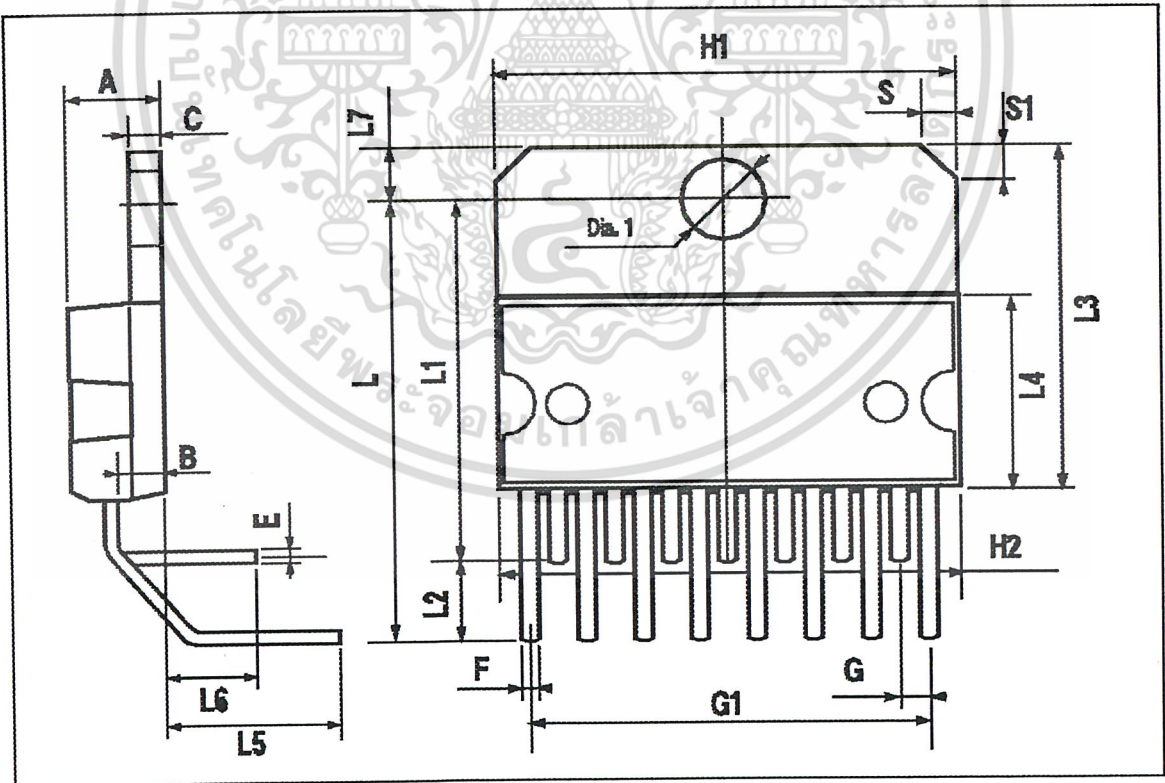


DIM.	mm			inch		
	MIN.	TYP.	MAX.	MIN.	TYP.	MAX.
A			5			0.197
B			2.65			0.104
C			1.6			0.063
E	0.49		0.55	0.019		0.022
F	0.66		0.75	0.026		0.030
G	1.14	1.27	1.4	0.045	0.050	0.055
G1	17.57	17.78	17.91	0.692	0.700	0.705
H1	19.6			0.772		
H2			20.2			0.795
L		20.57			0.810	
L1		18.03			0.710	
L2		2.54			0.100	
L3	17.25	17.5	17.75	0.679	0.689	0.699
L4	10.3	10.7	10.9	0.406	0.421	0.429
L5		5.28			0.208	
L6		2.38			0.094	
L7	2.65		2.9	0.104		0.114
S	1.9		2.6	0.075		0.102
S1	1.9		2.6	0.075		0.102
Dia1	3.65		3.85	0.144		0.152

**OUTLINE AND MECHANICAL DATA**



**Multiwatt15 H**

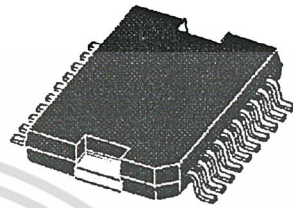


เอกสารนี้เป็นเอกสารที่สงวนไว้สำหรับการใช้งานเพื่อการศึกษาเท่านั้น ไม่อนุญาตให้นำไปใช้ประโยชน์ด้านการค้า  
ไม่ว่ากรณีใดๆ ทั้งสิ้น อีกทั้งห้ามมิให้ดัดแปลงเนื้อหา และต้องอ้างอิงถึงเจ้าของเอกสารทุกครั้งที่มีการนำไปใช้

DIM.	mm			inch		
	MIN.	TYP.	MAX.	MIN.	TYP.	MAX.
A			3.6			0.142
a1	0.1		0.3	0.004		0.012
a2			3.3			0.130
a3	0		0.1	0.000		0.004
b	0.4		0.53	0.016		0.021
c	0.23		0.32	0.009		0.013
D (1)	15.8		16	0.622		0.630
D1	9.4		9.8	0.370		0.386
E	13.9		14.5	0.547		0.570
e		1.27			0.050	
e3		11.43			0.450	
E1 (1)	10.9		11.1	0.429		0.437
E2			2.9			0.114
E3	5.8		6.2	0.228		0.244
G	0		0.1	0.000		0.004
H	15.5		15.9	0.610		0.626
h			1.1			0.043
L	0.8		1.1	0.031		0.043
N	10° (max.)					
S	8° (max.)					
T		10			0.394	

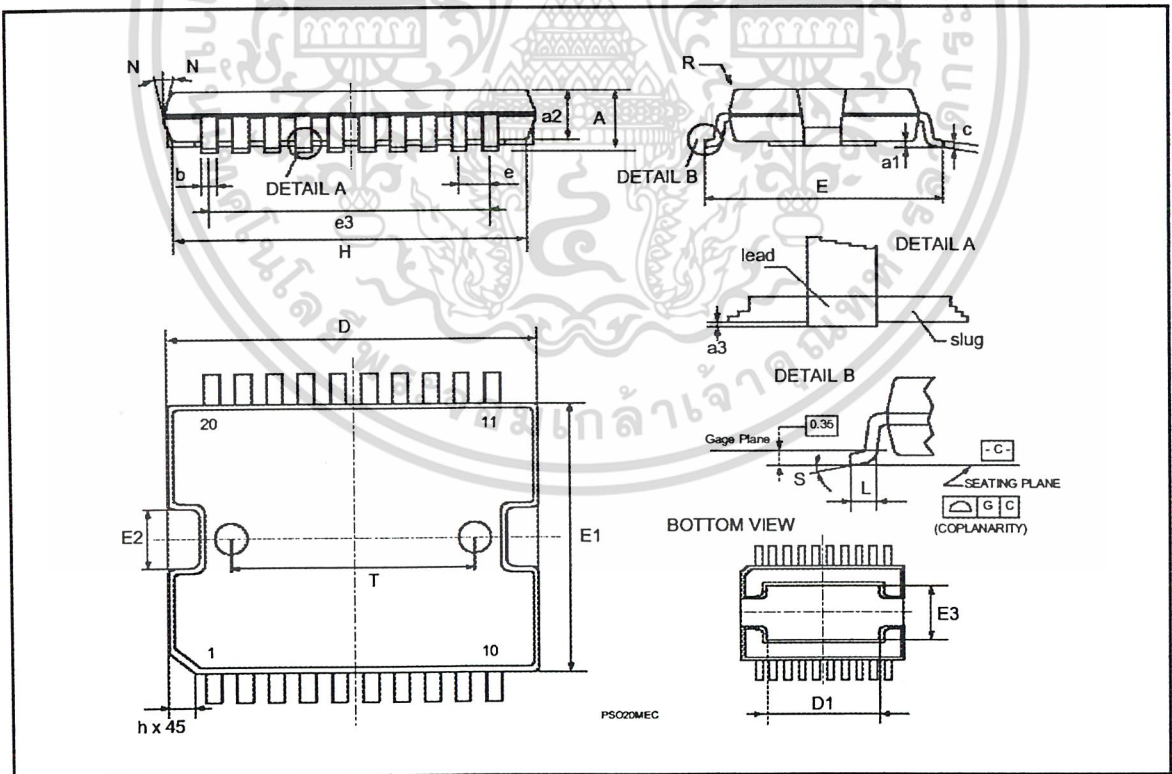
(1) "D and F" do not include mold flash or protrusions.  
 - Mold flash or protrusions shall not exceed 0.15 mm (0.006").  
 - Critical dimensions: "E", "G" and "a3"

**OUTLINE AND MECHANICAL DATA**



**JEDEC MO-166**

**PowerSO20**



เอกสารนี้เป็นเอกสารที่สงวนไว้สำหรับการใช้งานเพื่อการศึกษาเท่านั้น ไม่อนุญาตให้นำไปใช้ประโยชน์ด้านการค้า  
 ไม่ว่าจะกรณีใดๆ ทั้งสิ้น อีกทั้งห้ามมิให้ดัดแปลงเนื้อหา และต้องอ้างอิงถึงเจ้าของเอกสารทุกครั้งที่มีการนำไปใช้



Information furnished is believed to be accurate and reliable. However, STMicroelectronics assumes no responsibility for the consequences of use of such information nor for any infringement of patents or other rights of third parties which may result from its use. No license is granted by implication or otherwise under any patent or patent rights of STMicroelectronics. Specification mentioned in this publication are subject to change without notice. This publication supersedes and replaces all information previously supplied. STMicroelectronics products are not authorized for use as critical components in life support devices or systems without express written approval of STMicroelectronics.

The ST logo is a registered trademark of STMicroelectronics  
 © 2000 STMicroelectronics – Printed in Italy – All Rights Reserved  
 STMicroelectronics GROUP OF COMPANIES

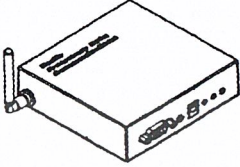




Australia - Brazil - China - Finland - France - Germany - Hong Kong - India - Italy - Japan - Malaysia - Malta - Morocco -  
 Singapore - Spain - Sweden - Switzerland - United Kingdom - U.S.A.

<http://www.st.com>

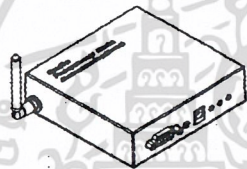


เอกสารนี้เป็นเอกสารที่สงวนไว้สำหรับการใช้งานเพื่อการศึกษาเท่านั้น ไม่อนุญาตให้นำไปใช้ประโยชน์ด้านการค้า  
 ไม่ว่ากรณีใดๆ ทั้งสิ้น อีกทั้งห้ามมิให้ดัดแปลงเนื้อหา และต้องอ้างอิงถึงเจ้าของเอกสารทุกครั้งที่มีการนำไปใช้

# Information

Machine type	Function
 <p>RDL401A</p>	<div style="display: flex; flex-wrap: wrap;"> <div style="border: 1px solid black; padding: 5px; margin: 5px;"> <p>AUTO SWITCH</p>  </div> <div style="border: 1px solid black; padding: 5px; margin: 5px;"> <p>DISPLAY</p>  </div> <div style="border: 1px solid black; padding: 5px; margin: 5px;"> <p>RS232</p>  </div> <div style="border: 1px solid black; padding: 5px; margin: 5px;"> <p>CHANNEL SELECT</p>  </div> </div>

**Standard Package**



RDL401A

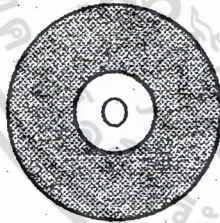


WAS-1297

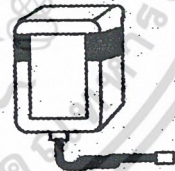


CN5-OTT0006

**Optional**



DISK5146



DC9V/120VAC  
DC9V/230VAC

เอกสารนี้เป็นเอกสารที่สงวนไว้สำหรับการใช้งานเพื่อการศึกษาเท่านั้น ไม่อนุญาตให้นำไปใช้ประโยชน์ด้านการค้า  
ไม่ว่ากรณีใดๆ ทั้งสิ้น อีกทั้งห้ามมิให้ดัดแปลงเนื้อหา และต้องอ้างอิงถึงเจ้าของเอกสารทุกครั้งที่มีการนำไปใช้

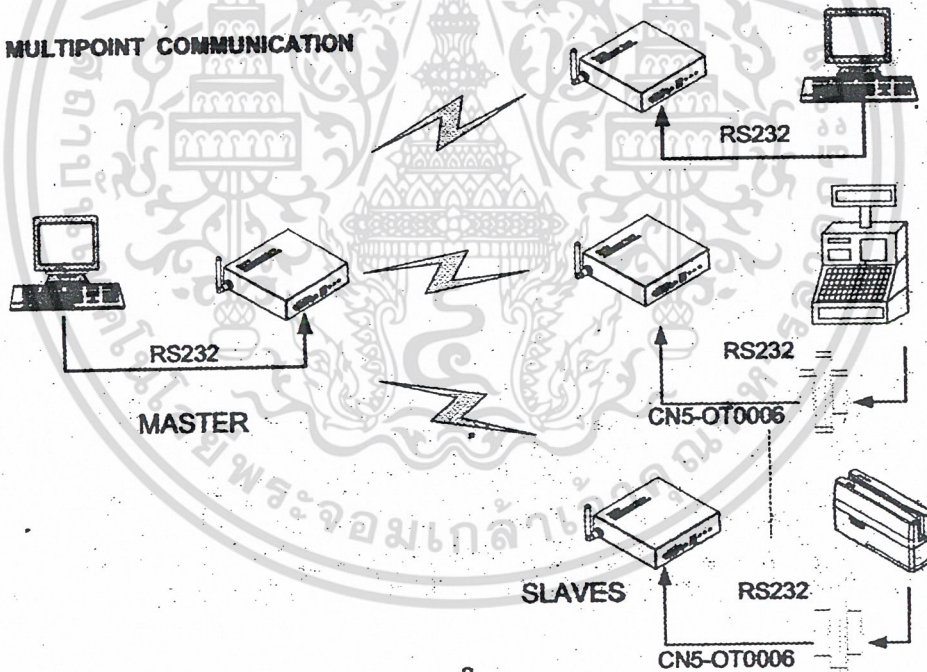
# Application

- To replace the RS-232 cable between Computer and Computer ( Terminal ) .
- Remote control
- Remote monitoring
- Data acquisition
- Computer aided integrated manufacturing
- Point-of-sale system
- Data transmission of movable station

## POINT TO POINT COMMUNICATION

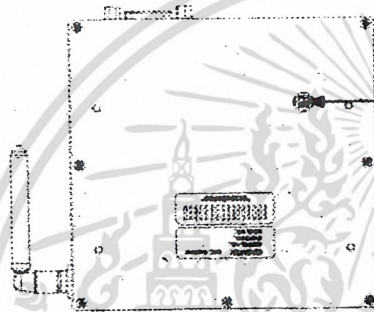
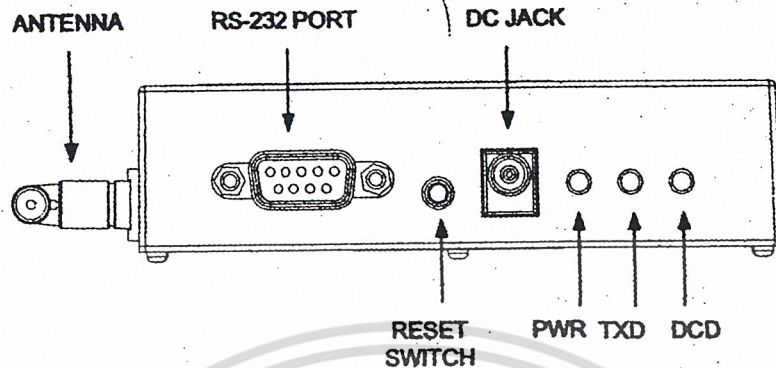


## MULTIPOINT COMMUNICATION



เอกสารนี้เป็นเอกสารที่สงวนไว้สำหรับการใช้งานเพื่อการศึกษาเท่านั้น ไม่อนุญาตให้นำไปใช้ประโยชน์ด้านการค้า  
ไม่ว่ากรณีใดๆ ทั้งสิ้น อีกทั้งห้ามมิให้ดัดแปลงเนื้อหา และต้องอ้างอิงถึงเจ้าของเอกสารทุกครั้งที่มีการนำไปใช้

# Configuration



## CHANNEL Select Switch :

- Switch 1 : ON : 433.92MHz  
OFF : 434.33MHz
- Switch 2 : ON : 4800 BPS Disable  
OFF : 4800 BPS Enable
- Switch 3 : ON : 9600 BPS Enable  
OFF : 19200 BPS Enable
- Switch 4 : Reserved

**RS-232 Port** – To be connected with the Computer ( Terminal ) .

**REST Switch** – Press this REST switch to reset radio Channel to the new setting .  
Before pressing this switch , the radio Channel will not change although the CHANNEL Select Switch has been changed . ( The CHANNEL Select Switch is located on the bottom of the RDL401A unit )

**Power Jack** – For DC 9V power input .

**PWR Power indicator** – Turn on when the power is applied .

**TXD Indicator** – Green LED turns on when the data is sent from the connected Computer ( Terminal ) to RDL401A unit .

**DCD Indicator** – Green LED turns on when it detects a radio transmission from the air ( Data Carrier Detect ) .

**CHANNEL Select Switch** – DIP switch located on the bottom of the RDL401A unit is for changing radio channel 433.92MHz or 434.33MHz . After you make Channel change , you must press RESET switch or power off and then reboot power . Then the RDL401A will be reset to the new radio Channel .

# Installation

1. Install the RS-232 cable between the RDL401A and Computer or Terminal .  
( The pin connection is as PIN ASSIGNMENT )
2. Set up one pair of RDL401 , one for Master Computer (terminal) and the other for Remote Computer ( terminal ) . Set both RDL401A units at the same channel .
3. Connect the DC power supply to the DC Power Jack on RDL401A unit , the PWR LED will turn on.
4. The DCD LED must light green constantly for the receiving unit when detecting a radio transmission from the other unit . If not ,reinstall them to have a constant green DCD light for the receiving unit .  
Please note that you must not have both units become transmitting at the same time because RDL401A is for half-duplex communication only . At one time you must have one unit become transmitting and the other unit become receiving .

## Note :

To get connection with RDL401A , you must set Computer (terminal) as the following parameters under the operation software you are using :

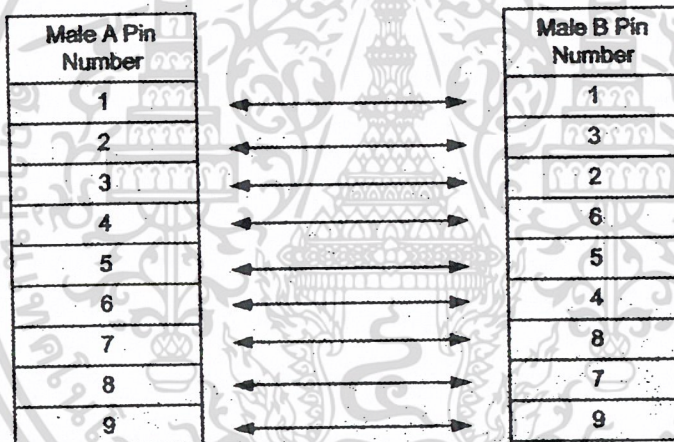
Standard : Standard RS-232  
Baud Rate : 4800/9600/19200 bps  
Parity : None  
Data Bits : 8  
Stop BIT : 1  
Flow control : None

# PIN ASSIGNMENT

## 9 Pin D Female Connect

Pin Number	Signal
1	X
2	TXD ( Out )
3	RXD ( In )
4	X
5	Ground
6	X
7	X
8	RTS ( Out )
9	X

## CN5-OTT0006 Connect



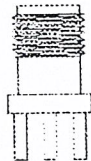
# Specification

Frequency :	433.92/434.33MHz
Antenna Impedance :	50 Ohms , unbalanced
Number of Channels :	2 (Frequency Synthesized)
Frequency Stability :	+/- 10 ppm ( at 0~60 Deg. C )
Data Rate :	4800/9600/19200 Baud
Data format :	None Parity , 8 Data Bits , 1 Stop Bit , Half-duplex over a single channel Asynchronous , Serial
Communication Distance :	Approx. 50~150 meters ( prospective )
Power Supply :	9 VDC
Environment :	Operating Temperature 0 ~+60 Deg. C Storage Temperature -10 ~+70 Deg. C Humidity : 10 % ~ 95 % , non-condensing
Dimensions :	W 107 * D 102 * H 28 mm
Weight :	APPROX. 0.38 KGs
Transmitter Output Power :	5mW maximum
Modulation Deviation :	35 +/- 5 KHz
PLL Programming Time :	5 m sec , maximum
Current Drain :	60 mA maximum at 9 VDC nominal
Sensitivity :	- 102 dBm
Selectivity :	85 KHz maximum
Receiver Current :	Typical 27 mA

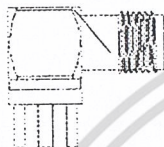
OPTIONAL ANTENNA SOCKET AND ANTENNA

1. Antenna Socket

P/N: CN5-OTG0007 (Angle 180)

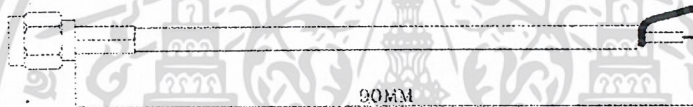


P/N: CN5-OTG0008 (Angle 90)



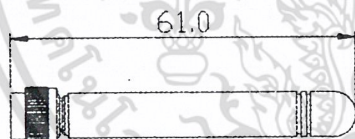
2. Antenna Extension Cable

P/N: WAS-1529

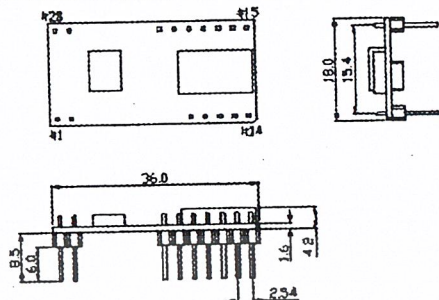


3. Antenna

P/N: ANT-T001 (50 ohms, 434+5 MHz)



### PACKAGE OUTLINE (DIP28)



Unit: mm

### PIN ASSIGNMENT

PIN	FUNCTION	I/O	DESCRIPTION
1	ANT	I	*Antenna
2	ANTG	I	*Antenna Signal GND
3, 4, 5, 6, 7, 8, 9	NC		No Connect
10	/RST	I	Active Low Reset
11	RXD	I	UART Data Input
12	TXD	O	UART Data Output
13	GND	I	GND
14	TRD/CMD		Reserved
15	BPS0		4800bps 0:disable 1:enable
16	BPS1		0:9600bps 1:19200bps(*short data pack)
17	CH	I	0:433.92MHz 1:434.33MHz
18	RLED	O	RXD Status LED
19	TLED	O	TXD Status LED
20	GND		GND
21	VCC		Power Input +3.3Vdc~2.7Vdc
22, 23, 24, 25, 26	NC		No Connect
27	GND		GND
28	GND		GND

\*Antenna Signal GND: Connect to antenna cable GND.

\*Antenna : 50 ohm / 430~435MHz / ~25db.

\*19200bps for short data pack (max 70 bytes) only.

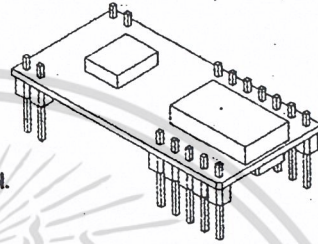
Radio Data Link RF Module with UART Interface

INTRODUCTIONS:

RDL200T (Radio Data Link) RF Module is designed for wireless RS232 serial data communication. It is suitable for most of your wireless data link applications. RDL200T RF Module can be built into your equipment through RS232 interface to replace the cable to become wireless communication. It is a low cost and high quality radio data communication solution.

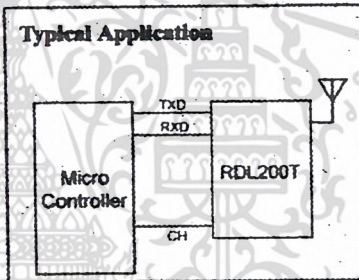
FEATURES:

1. ISM frequency 433.92MHz / 434.33MHz
2. Two channel selectable.
3. Low power consumption with 3.3Vdc
4. RS232 interface (Serial TTL level)
5. Speed up to 9600bps with automatic flow control.
6. Half-duplex with automatic Receiving/Transmitting control.
7. Small package size.
8. Distance: 50~150 meters with appropriate antenna



APPLICATION:

1. Hand-held terminals
2. Computer to computer
3. Computer to terminal
4. Data collection terminal
5. Mobile-around data communications
6. Remote control
7. Remote monitoring
8. POS systems.



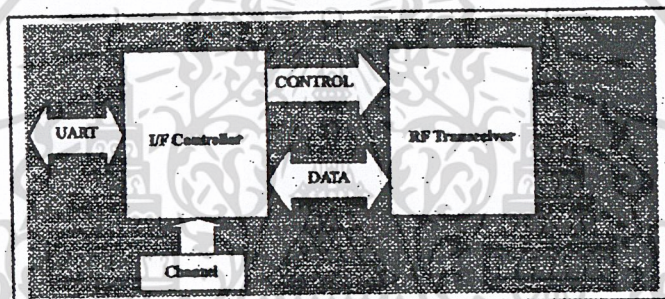
SPECIFICATIONS:

1. Frequency: CH1 433.92MHz / CH2 434.33MHz
2. Modulation: FSK
3. Output power: 7dbm (5mw)
4. Receiving Sensibility: -102dbm
5. Operating voltages: 2.7Vdc~3.3Vdc
6. Power consumption: Tx:60mA / Rc:30mA
7. Interface : RS232 (TTL Level: TXD/RXD)
8. Data Rate : 19200bps/9600bps / 4800bps , Half-duplex
9. Operating temperature: 0°C~55°C (Storage Temperature: -10°C ~60°C)

QUICK REFERENCE DATA

Parameter	Value	Unit
Frequency, Channel#1/Channel#2	433.92/434.33	MHz
Modulation	FSK	
Frequency deviation	+/-30	KHz
Max. RF output power	7	dBm
Sensitivity	-102	dBm
UART Baudrate	19200/9600/4800	bps
Supply voltage	2.7 - 3.3	Vdc
Max. Receive current	30	mA
Max. Transmit current	60	mA

BLOCK DIAGRAM



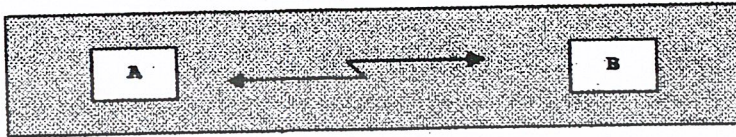
I/F Controller: UART and Radio interface unit

RF Transceiver: A long-range radio transceiver for wireless links operating in the globally available ISM band.

RDL200T APPLICATION

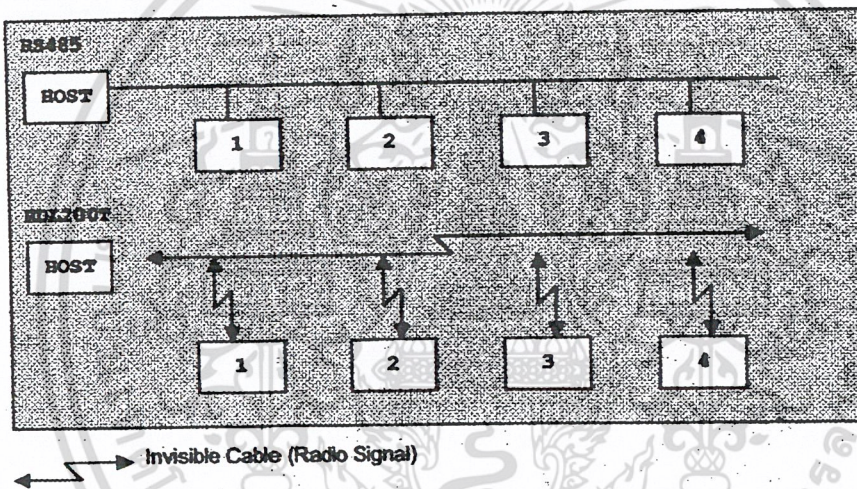
1. Point to Point Radio Data Link

For point to point radio data link, just change your RS232 transceiver IC to RDL200T in your RS232 product. You don't need to change any firmware. RDL200T serves as a invisible RS232 cable in your product.

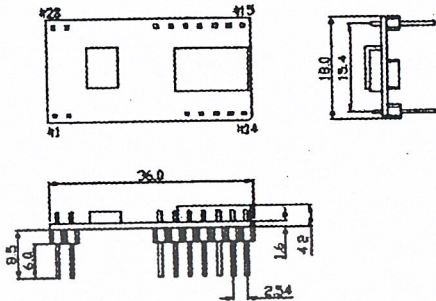


2. Multi-Station Radio Data Link

For Multi-Station radio data link, you have to build a protocol for Multi-Station that's similar to RS485 to assign machine ID for each station.



PACKAGE OUTLINE (DIP28)



Unit: mm

PIN ASSIGNMENT

PIN	Symbol	Type	Description
1	ANT	I	*Antenna
2	ANTG	I	*Antenna Signal GND
3, 4, 5, 6, 7, 8, 9	NC		No Connect
10	/RST	I	Active Low Reset
11	RXD	I	UART Data Input
12	TXD	O	UART Data Output
13	GND	I	GND
14	TRD/CMD		Reserved
15	BPS0		4800bps 0:disable 1:enable
16	BPS1		0:9600bps 1:19200bps(*short data pack)
17	CH	I	0:433.92MHz 1:434.33MHz
18	RLED	O	RXD Status LED
19	TLED	O	TXD Status LED
20	GND		GND
21	VCC		Power Input +3.3Vdc~2.7Vdc
22, 23, 24, 25, 26	NC		No Connect
27	GND		GND
28	GND		GND

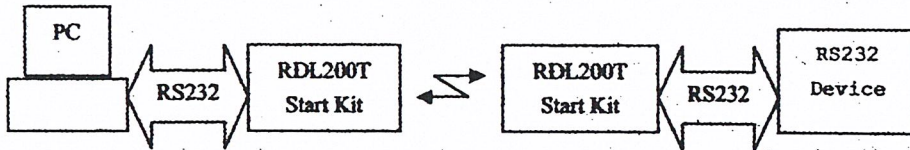
\*Antenna Signal GND: Connect to antenna cable GND.

\*Antenna : 50 ohm / 430~435MHz / -25db.

\*19200bps for short data pack (max 70 bytes) only.

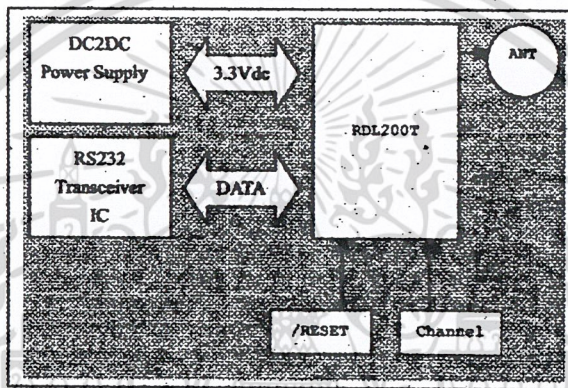
### START KIT PACKAGE APPLICATION

Example: Point to Point radio data link

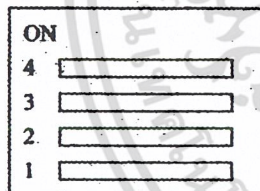


Keep your communication way and easy to upgrade your product to become wireless product with RDL200T.

### ASY-RDL200TSK BLOCK DIAGRAM



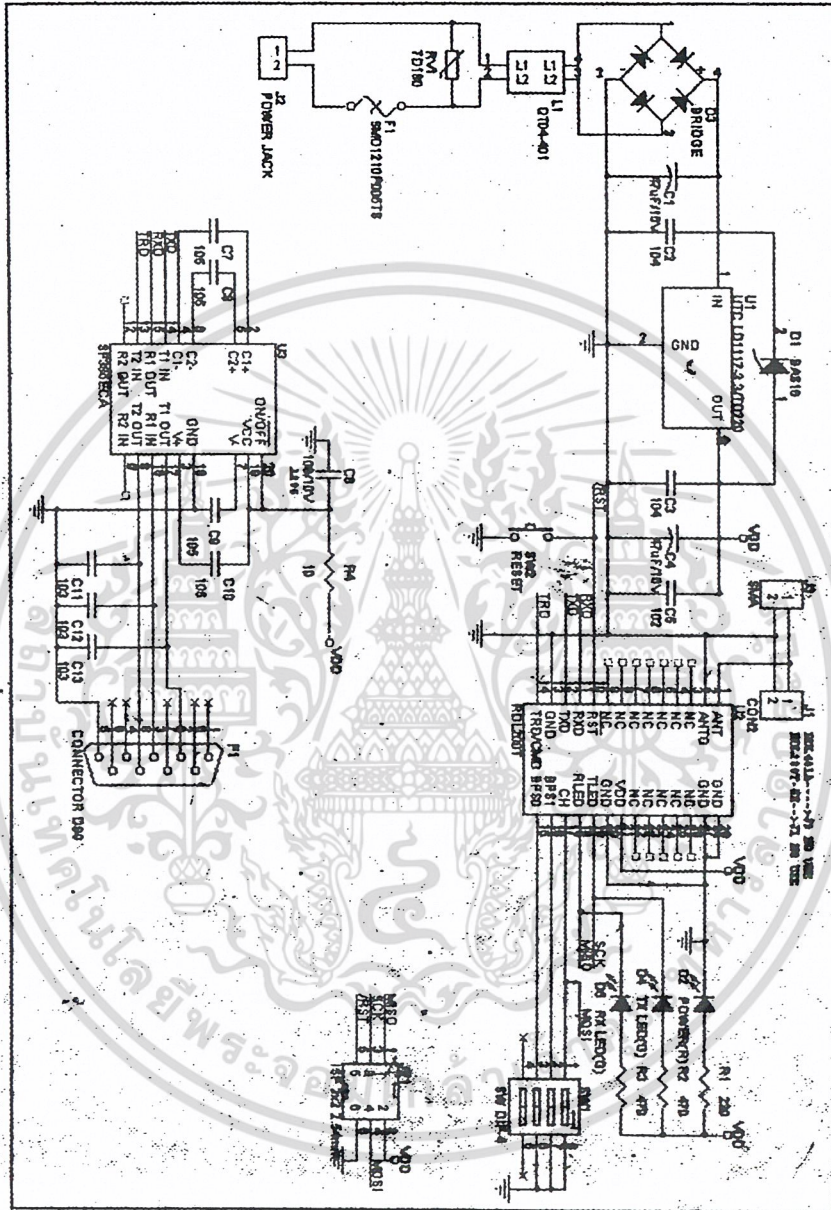
### DIP SWITCH



1. ON : CH1 (433.92MHz) / OFF:CH2 (434.33MHz)
2. ON : 4800 bps DISABLE / OFF : 4800 bps ENABLE
3. ON : 9600 bps ENABLE / OFF : 19200 bps ENABLE
4. Reserved

เอกสารนี้เป็นเอกสารที่สงวนไว้สำหรับการใช้งานเพื่อการศึกษาเท่านั้น ไม่อนุญาตให้นำไปใช้ประโยชน์ด้านการค้า  
ไม่ว่ากรณีใดๆ ทั้งสิ้น อีกทั้งห้ามมิให้ดัดแปลงเนื้อหา และต้องอ้างอิงถึงเจ้าของเอกสารทุกครั้งที่มีการนำไปใช้

ASY-RDL200TSK CIRCUIT DIAGRAM



เอกสารนี้เป็นเอกสารที่สงวนไว้สำหรับการใช้งานเพื่อการศึกษาเท่านั้น ไม่อนุญาตให้นำไปใช้ประโยชน์ด้านการค้า  
ไม่ว่ากรณีใดๆ ทั้งสิ้น อีกทั้งห้ามมิให้ดัดแปลงเนื้อหา และต้องอ้างอิงถึงเจ้าของเอกสารทุกครั้งที่มีการนำไปใช้

ASY-RDL200TSK BILL OF MATERIALS

UTCLD1117-3.3J	3.3Vdc DC2DC Power supply	U1	1
*RDL200T-00	Radio Data Link Module	U2	1
SP385ACA	RS232 Transceiver IC	U3	1
BAS16	DIODE	D1	1
DBS104G	DIODE BRIDGE SMT DBS104G	D3	
7D180	Variable Resister	RV1	1
CEC45-476016W	47UF/16V	C1,C4	2
CMC5X102K50	1000PF/50V	C5	1
CMC5X103K50	0.01UF/50V	C11,C12,C13	3
C2012X7R1H104K	0.1UF/50V	C2,C3	2
CMC5X105KCH	1UF/25V	C7,C8,C9,C10	4
CMC6Y106Z16	10UF/25V	C6	1
0805-5-470R	470 ohm	R2,R3	2
0805-5-220R	220 ohm	R1	1
0805-5-10R	10 ohm	R4	1
*CN5-OTG007	Antenna Socket (Angle 180)	J3	1
*ANT-T001	Antenna 50 ohms, 434+-5 MHz		1

\*PROVIDED BY GIGA-TMS INC.

เอกสารนี้เป็นเอกสารที่สงวนไว้สำหรับการใช้งานเพื่อการศึกษาเท่านั้น ไม่อนุญาตให้นำไปใช้ประโยชน์ด้านการค้า  
ไม่ว่ากรณีใดๆ ทั้งสิ้น อีกทั้งห้ามมิให้ดัดแปลงเนื้อหา และต้องอ้างอิงถึงเจ้าของเอกสารทุกครั้งที่มีการนำไปใช้

### ORDERING INFORMATION

**RDL200T-00: (Radio Data Link Module)**

P/N: RDL200T-00

**RDL200T Start Kit Package: (ASY-RDL200TSK x 2PCS)**

P/N: RDL200T-SKE

E: Include 230VAC/9VDC Adaptor

U: Include 120VAC/9VDC Adaptor

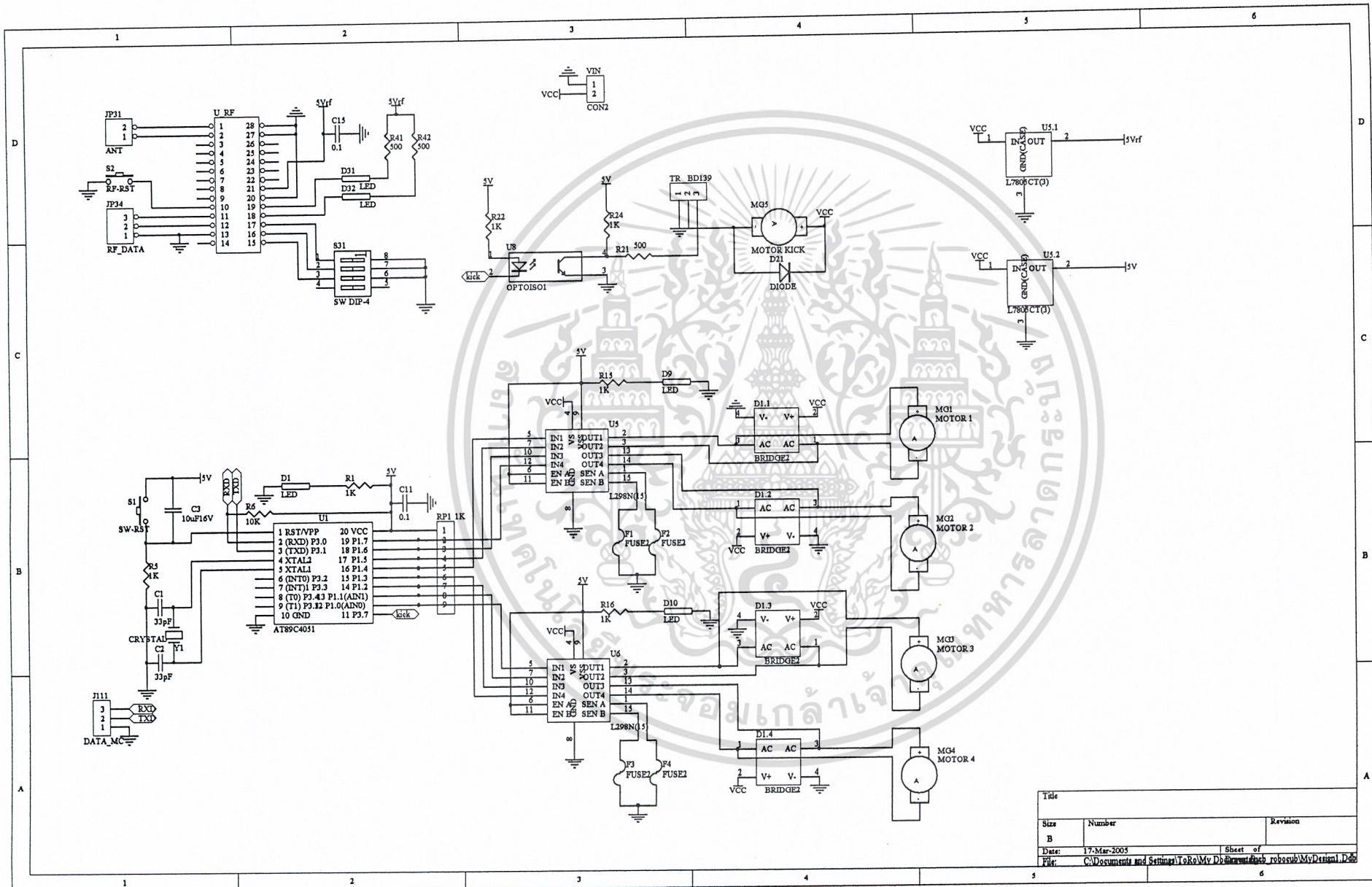
**RDL401A-00 (Stand-Alone Radio Data Link)**

P/N: RDL401AE

E: Include 230VAC/9VDC Adaptor

U: Include 120VAC/9VDC Adaptor





Title		
Size	Number	Revision
B		
Date:	17-Mar-2005	Sheet of
File:	C:\Documents and Settings\ToRo\My Documents\robotub\MyDesign1.Ddb	